



การศึกษาปัจจัยที่มีผลต่อความคงตัวต่อการแข่งขัน-ละลายของกะทิ

โดย
นางสาวกิตติมา ชวาตรดิถุล

การค้นคว้าอิสระนี้เป็นส่วนหนึ่งของการศึกษาตามหลักสูตรปริญญาวิทยาศาสตรมหาบัณฑิต
สาขาวิชาเทคโนโลยีอาหาร
ภาควิชาเทคโนโลยีอาหาร
บัณฑิตวิทยาลัย มหาวิทยาลัยศิลปากร
ปีการศึกษา 2552
อิษิติกธิ์ของบัณฑิตวิทยาลัย มหาวิทยาลัยศิลปากร

การศึกษาปัจจัยที่มีผลต่อความคงตัวต่อการแข่งขัน-ละลายของกะทิ

โดย

นางสาวกิตติมา ชวาลรติกุล

การค้นคว้าอิสระนี้เป็นส่วนหนึ่งของการศึกษาตามหลักสูตรปริญญาวิทยาศาสตร์มหาบัณฑิต

สาขาวิชาเทคโนโลยีอาหาร

ภาควิชาเทคโนโลยีอาหาร

บัณฑิตวิทยาลัย มหาวิทยาลัยศิลปากร

ปีการศึกษา 2552

ลิขสิทธิ์ของบัณฑิตวิทยาลัย มหาวิทยาลัยศิลปากร

**STUDY OF FACTORS AFFECTING FREEZE-THAW STABILITY
OF COCONUT MILK**

**By
Kittima Chavalratikul**

**An Independent Study Submitted in Partial Fulfillment of the Requirements for the Degree
MASTER OF SCIENCE
Department of Food Technology
Graduate School
SILPAKORN UNIVERSITY
2009**

บัณฑิตวิทยาลัย มหาวิทยาลัยศิลปากร อนุมัติให้การค้นคว้าอิสระเรื่อง “การศึกษาปัจจัยที่มีผลต่อความคงตัวต่อการแχ่แข็ง-ละลายของกะทิ” เสนอโดย นางสาวกิตติมา ชวาตรติกุล เป็นส่วนหนึ่งของการศึกษาตามหลักสูตรปริญญาวิทยาศาสตรมหาบัณฑิต สาขาวิชาเทคโนโลยีอาหาร

.....
(รองศาสตราจารย์ ดร. ศิริชัย ชินะตั้งกุร)

คณบดีบัณฑิตวิทยาลัย
วันที่.....เดือน..... พ.ศ.....

อาจารย์ที่ปรึกษาการค้นคว้าอิสระ¹
ผู้ช่วยศาสตราจารย์ ดร. เอกพันธ์ แก้วมณีชัย

คณะกรรมการตรวจสอบการค้นคว้าอิสระ

..... ประธานกรรมการ
(ผู้ช่วยศาสตราจารย์ ดร. ประسنศ ศิริวงศ์ไลชาติ)
...../...../.....

..... กรรมการ
(ผู้ช่วยศาสตราจารย์ ดร. โสภาค สอนไว)
...../...../.....

..... กรรมการ
(ผู้ช่วยศาสตราจารย์ ดร. เอกพันธ์ แก้วมณีชัย)
...../...../.....

51403302 : สาขาวิชาเทคโนโลยีอาหาร

คำสำคัญ : กะทิ/ การแข่ร์แข็ง-ละลาย/ ความคงตัว/ ซูโคโรส/ โซเดียมคลอไรด์/ โซเดียม酇ิเนท/ Tween 60/ ระดับการให้ความร้อน

กิตติมา ชาวครติกุล: การศึกษาปัจจัยที่มีผลต่อความคงตัวต่อการแข่ร์แข็ง-ละลายของกะทิ

อาจารย์ที่ปรึกษาการค้นคว้าอิสระ: ผศ.ดร. เอกพันธ์ แก้วภิชัย. 100 หน้า.

งานวิจัยนี้มีวัตถุประสงค์เพื่อศึกษาถึงปัจจัยที่มีผลต่อความคงตัวต่อการแข่ร์แข็ง-ละลายของกะทิที่มีไขมัน 18%v/v ได้แก่ 1) ความเข้มข้นของน้ำตาลซูโคโรส 2) ความเข้มข้นของโซเดียมคลอไรด์ 3) ชนิดและความเข้มข้นของอินมัลซิไฟเออร์ และ 4) ระดับการให้ความร้อนก่อนการแข่ร์แข็ง จึงได้ทำการศึกษาผลของน้ำตาลซูโคโรสและโซเดียมคลอไรด์ โดยนำตัวอย่างกะทิไปผ่านการพาสเจอร์ที่อุณหภูมิ 74 °C เป็นเวลา 15 วินาทีและโซโนจีไนซ์ที่ความดัน (ขั้นที่ 1/ ขั้นที่ 2) 1500/500 psi เติมน้ำตาลซูโคโรส (10, 20, 30 และ 40%w/v) หรือโซเดียมคลอไรด์ (1, 2, 3 และ 4%w/v) ลงในตัวอย่างกะทิ ทำการศึกษาผลของอินมัลซิไฟเออร์ โดยนำตัวอย่างกะทิไปผ่านการพาสเจอร์ที่อุณหภูมิ 74 °C เป็นเวลา 15 วินาที บีบผสมกับโซเดียม酇ิเนท (0.3, 0.5 และ 0.7%w/v) หรือ Tween 60 (0.1, 0.3 และ 0.5%w/v) จากนั้นนำไปโซโนจีไนซ์ที่ความดัน 1500/500 psi และทำการศึกษาผลของระดับการให้ความร้อนก่อนการแข่ร์แข็ง โดยนำตัวอย่างกะทิไปให้ความร้อนที่อุณหภูมิ 70, 80 และ 90 °C เป็นเวลา 1 นาที โดยไม่มีการเติมสารผสมอาหารใดๆลงในตัวอย่างกะทิ จากนั้นนำไปโซโนจีไนซ์ที่ความดัน 1500/500 psi นำตัวอย่างกะทิทึบหมุดไปแข่ร์แข็งที่อุณหภูมิ -18 °C เป็นเวลา 45 ชั่วโมง และนำมาระลายในอ่างน้ำที่อุณหภูมิ 40 °C เป็นเวลา 3 ชั่วโมง นำไปปฏิเคราะห์ค่า creaming index ความหนืด ขนาดอนุภาคเฉลี่ย ความถ่วงจำเพาะ และลักษณะทางจุลภาคของครีอปเล็ท

ผลการวิจัยพบว่า ความเข้มข้นของน้ำตาลซูโคโรส โซเดียมคลอไรด์ โซเดียม酇ิเนท และ Tween 60 ที่สูงขึ้นจะส่งผลให้กะทิมีแนวโน้มที่จะคงตัวต่อการแข่ร์แข็ง-ละลายมากขึ้น การเติมน้ำตาลซูโคโรสความเข้มข้น 40%w/v โซเดียมคลอไรด์ความเข้มข้น 4%w/v โซเดียม酇ิเนทความเข้มข้น 0.5%w/v และ Tween 60 ความเข้มข้น 0.1%w/v ลงในตัวอย่างกะทิจะทำให้กะทิมีค่า creaming index ต่ำที่สุด มีความหนืดมากที่สุด และมีขนาดอนุภาคเฉลี่ยเล็กที่สุด เมื่อเทียบกับการเติมที่ความเข้มข้นต่ำกว่า เมื่ออุณหภูมิในการให้ความร้อนก่อนการแข่ร์แข็งสูงขึ้น จะทำให้กะทิมีความคงตัวต่อการแข่ร์แข็ง-ละลายลดลง การให้ความร้อนที่อุณหภูมิ 70 °C นาน 1 นาที จะทำให้กะทิมีค่า creaming index ต่ำที่สุด มีความหนืดมากที่สุด และมีขนาดอนุภาคเฉลี่ยเล็กที่สุด เมื่อเทียบกับการให้ความร้อนที่อุณหภูมิสูงกว่า

ภาควิชาเทคโนโลยีอาหาร

ลายมือชื่อนักศึกษา.....

ลายมือชื่ออาจารย์ที่ปรึกษาการค้นคว้าอิสระ

บัณฑิตวิทยาลัย มหาวิทยาลัยศิลปากร

ปีการศึกษา 2552

51403302 : MAJOR : FOOD TECHNOLOGY

KEY WORD : COCONUT MILK/ FREEZE-THAW/ STABILITY/ SUCROSE/ SODIUM CHLORIDE/ SODIUM CASEINATE/ TWEEN 60/ PREHEAT TREATMENT
KITTIMA CHAVALRATIKUL: STUDY OF FACTORS AFFECTING FREEZE-THAW STABILITY OF COCONUT MILK. INDEPENDENT STUDY ADVISOR: ASST. PROF. EAKAPHAN KEOWMANEECHAI, Ph. D. 100 pp.

The purposes of this research were to study of factors affecting freeze-thaw stability of coconut milk (18%v/v fat) which include 1) concentration of sucrose 2) concentration of sodium chloride 3) type and concentration of emulsifier and 4) preheating temperature. Influence of sucrose and sodium chloride was investigated by pasteurizing the coconut milk at 74°C for 15 seconds, homogenizing at a pressure of (first stage/ second stage) 1500/500 psi and adding sucrose (10, 20, 30 and 40%w/v) or sodium chloride (1, 2, 3 and 4%w/v) to the homogenized coconut milk. Effect of emulsifier was studied by pasteurizing the coconut milk at 74°C for 15 seconds, blending with sodium caseinate (0.3, 0.5 and 0.7%w/v) or Tween 60 (0.1, 0.3 and 0.5%w/v), then homogenizing at a pressure of 1500/500 psi. Impact of preheating temperature was examined by heating the coconut milk at 70, 80 and 90 °C for 1 minute before being passed through a homogenizer at a pressure of 1500/500 psi, no food ingredient was added into the coconut milk samples. After being prepared, all of the coconut milk samples were frozen at -18°C for 45 hours and then thawed in a water bath at 40°C for 3 hours. The samples were determined for creaming index, viscosity, mean particle size, specific gravity and microstructure.

The results of the research were as follows: As concentration of sucrose, sodium chloride, sodium caseinate and Tween 60 increased, the coconut milk tended to have higher freeze-thaw stability. The coconut milk containing 40%w/v sucrose, 4%w/v sodium chloride, 0.5%w/v sodium caseinate and 0.1%w/v Tween 60 had lowest creaming indices, highest viscosities and smallest mean particle sizes. Increasing preheating temperature decreased freeze-thaw stability of the coconut milk. The coconut milk preheated at 70 °C for 1 minute exhibited lowest creaming index, highest viscosity and smallest mean particle size.

กิตติกรรมประกาศ

ผู้วิจัยขอขอบพระคุณ พศ.ดร. เอกพันธ์ แก้วณิชย์ อาจารย์ที่ปรึกษาการวิจัยที่กรุณาให้ความรู้ แนวคิด คำปรึกษา และข้อเสนอแนะในการดำเนินงานวิจัย ตลอดจนการแก้ไขปัญหาต่างๆ อันเป็นประโภชน์แก่งานวิจัย นอกจากนี้ผู้วิจัยขอขอบพระคุณคณะกรรมการตรวจสอบการค้นคว้า อิสระทุกท่าน ได้แก่ พศ.ดร. ประสงค์ ศิริวงศ์ไอลชาติ และ พศ.ดร. โสภาพ สอนไว อาจารย์ประจำภาควิชาเทคโนโลยีอาหาร มหาวิทยาลัยศิลปากร ที่กรุณาให้คำชี้แนะ และแนวคิดอันเป็นประโภชน์แก่งานวิจัย รวมถึงผู้แทนบัณฑิตวิทยาลัย ที่กรุณาให้คำแนะนำและตรวจสอบแก้ไขสารนิพนธ์ฉบับนี้ให้ถูกต้องและสมบูรณ์ยิ่งขึ้น

ผู้วิจัยขอขอบพระคุณสำนักงานกองทุนสนับสนุนการวิจัย (สกว.) ที่ให้ทุนอุดหนุนงานวิจัยครั้งนี้ และบริษัทเทพ杵ุณ้ำพรรยา จำกัด ที่กรุณาให้ความอนุเคราะห์ตัวอย่าง สารเคมี และอุปกรณ์ในการดำเนินงานวิจัย ขอบคุณเหล่าคณาจารย์ทุกท่านที่ภาควิชาเทคโนโลยีอาหาร ที่ช่วย ประสิทธิประสาทความรู้ต่างๆให้ ขอบคุณพี่ๆ เพื่อนๆ และน้องๆทุกคนจากบริษัทเทพ杵ุณ้ำพรรยา จำกัด ที่ให้คำแนะนำ และความช่วยเหลือในการดำเนินการวิจัย รวมถึงพี่ๆ เพื่อนๆ และน้องๆทุกคนที่ภาควิชาเทคโนโลยีอาหาร มหาวิทยาลัยศิลปากร ที่อยู่ช่วยเหลือและให้กำลังใจในระหว่างดำเนินงานวิจัย สรุดท้ายนี้ผู้วิจัยขอขอบพระคุณคุณแม่และพี่ๆ ที่สนับสนุนให้การศึกษาและเป็นกำลังใจที่ดีเสมอมา ประโภชน์อันได้จากการวิจัยนี้ย่อมเป็นผลมาจากการกรุณาจากท่านดังกล่าวข้างต้น ผู้วิจัยรู้สึกซาบซึ้งเป็นอย่างยิ่งจึงครรขอขอบพระคุณอย่างสูงไว้ ณ โอกาสนี้

สารบัญ

	หน้า
บทคัดย่อภาษาไทย	๑
บทคัดย่อภาษาอังกฤษ	๒
กิตติกรรมประกาศ.....	๓
สารบัญตาราง	๔
สารบัญภาพ	๕
บทที่	
1 บทนำ.....	1
ความเป็นมาและความสำคัญของปัจุหा.....	1
วัตถุประสงค์ในการวิจัย	2
สมมติฐานในการวิจัย.....	3
ขอบเขตของการวิจัย.....	3
2 วรรณกรรมที่เกี่ยวข้อง.....	4
น้ำ kratib.....	4
ระบบอิมัลชัน	5
กลไกในการเกิดอิมัลชัน.....	6
ความคงตัวของอิมัลชัน	7
กลไกในการรักษาความคงตัวของอิมัลชัน.....	7
การรักษาความคงตัวโดยประจุบันพื้นผิวของอนุภาค	
คงอยู่ดี (Charge Stabilization)	7
การรักษาความคงตัวโดยโนมเลกูลที่ผิวรวมระหว่างวัฏภากที่	
กระจายตัวกับวัฏภากต่อเนื่อง (Steric Stabilization)	9
การรักษาความคงตัวโดยอนุภาคที่ผิวรวมระหว่างวัฏภากที่	
กระจายตัวกับวัฏภากต่อเนื่อง (Particle Stabilization).....	11
ความไม่คงตัวของอิมัลชัน.....	12
การเกาะกลุมกัน (Flocculation).....	13
การหลอมรวมตัวกัน (Coalescence).....	14
การแยกชั้นครีม (Creaming).....	15
การหลอมรวมตัวกันบางส่วน (Partial Coalescence)	16

บทที่	หน้า
การเกิดอส瓦อลด์ไรเพนนิง (Oswald Ripening)	17
การกลับวัฏภาพ (Phase Inversion)	18
การเกิดผลึกในอิมลชัน.....	19
ขั้นตอนการเกิดผลึก (Crystallization)	19
Nucleation.....	20
Crystal Growth.....	20
การเกิดผลึกไขมัน(Fat Crystallization).....	21
Solid Fat Content.....	21
Nucleation.....	22
การหลอมรวมตัวบางส่วน (Partial Coalescence).....	22
การเกิดผลึกน้ำ(Water Crystallization).....	23
ส่วนผสมต่างๆ ในอิมลชัน	24
น้ำตาล	24
เกลือ (NaCl).....	25
อิมลซิไฟเออร์.....	27
ชนิดของอิมลซิไฟเออร์	27
รูปแบบของอิมลซิไฟเออร์ที่ผิวสัมผัสร่วม.....	28
ผลของอิมลซิไฟเออร์ต่อการเกิดผลึกในอิมลชัน.....	29
ผลของอุณหภูมิต่อกุณสมบัติของอิมลชัน	30
3 วิธีดำเนินการวิจัย	32
วัสดุดิบ	32
สารผสมอาหาร (Food Ingredients).....	32
อุปกรณ์และเครื่องมือ.....	32
การทดลองเบื้องต้น (Preliminary Experiment).....	33
การศึกษาความเข้มข้นของน้ำตาลซูโครสที่มีผลต่อความคงตัวต่อการแข็งตัว.....	35
การศึกษาความเข้มข้นของโซเดียมคลอไรด์ที่มีผลต่อความคงตัวต่อการแข็งตัว.....	36

บทที่	หน้า	
การศึกษานิดและความเข้มข้นของอิมัลชีไฟออร์ที่มีผลต่อความคงตัวต่อ		
การแข่งขัน-ละลายของกะทิ.....		36
การศึกษาระดับการให้ความร้อนก่อนการแข่งขัน.....		37
การวิเคราะห์ผลทางสถิติ		38
4	ผลการวิจัยและการอภิปรายผล	39
5	สรุปผลการวิจัยและข้อเสนอแนะ	73
บรรณานุกรม		74
ภาคผนวก		79
ภาคผนวก ก วิธีการวิเคราะห์		80
ภาคผนวก ข ผลการวิเคราะห์.....		86
ภาคผนวก ค การทดลองการเติมเกลือลงในตัวอย่างกะทิที่ผ่านและไม่ผ่าน การให้ความร้อนในระดับพาสเจอไรซ์		97
ประวัติผู้วิจัย		100

สารบัญตาราง

ตารางที่	หน้า
1 คุณสมบัติทางกายภาพและองค์ประกอบทางเคมีของน้ำกะทิที่สกัดโดยใช้เนื้อมะพร้าวชุดต่อน้ำท่ากับ 1:1.....	4
2 ปัจจัยทางกายภาพที่มีผลต่อความคงตัวและสมบัติทางกระเส้นที่ของอิมัลชัน.....	19
3 ผลที่ได้จากการวิเคราะห์ตัวอย่างกะทิที่ผ่านการเติมน้ำตาลซูโครสที่ระดับความเข้มข้นต่างๆ.....	47
4 ผลที่ได้จากการวิเคราะห์ตัวอย่างกะทิที่ผ่านการเติมเกลือโซเดียมคลอไรด์ที่ระดับความเข้มข้นต่างๆ	53
5 ผลที่ได้จากการวิเคราะห์ตัวอย่างกะทิที่ผ่านการเติมโซเดียมเคซินที่ระดับความเข้มข้นต่างๆ.....	60
6 ผลที่ได้จากการวิเคราะห์ตัวอย่างกะทิที่ผ่านการเติม Tween 60 ที่ระดับความเข้มข้นต่างๆ.....	65
7 ผลที่ได้จากการวิเคราะห์ตัวอย่างกะทิที่ผ่านการให้ความร้อนที่ระดับอุณหภูมิต่างๆ.....	71
8 ค่า %creaming index ของตัวอย่างกะทิที่ผ่านการแช่แข็ง-ละลายที่จำนวนครั้งต่างๆ.....	87
9 ค่า %creaming index ของตัวอย่างกะทิที่ผ่านการเก็บรักษาที่เวลาต่างๆ.....	88
10 ค่า %creaming index ของตัวอย่างกะทิที่ผ่านการแช่แข็งที่เวลาต่างๆ.....	88
11 ค่า %creaming index และ oiling off index ของตัวอย่างกะทิหลังผ่านการแช่แข็ง-ละลาย	99

สารบัญภาพ

ภาพที่		หน้า
1	ชนิดของอิมัลชัน.....	5
2	การสูญเสียความคงตัวของอิมัลชัน.....	7
3	ความสัมพันธ์ระหว่างศักย์ไฟฟ้า (electrical potentials) กับระยะห่างระหว่าง คอลลอยด์.....	8
4	ความสัมพันธ์ระหว่างศักย์ไฟฟ้าของอนุภาคคอลลอยด์กับระยะห่างระหว่าง อนุภาคคอลลอยด์ เมื่อมีการเปลี่ยนแปลงของประจุ.....	9
5	แบบจำลองการคดซับที่ผิวร่วนระหว่างน้ำมันกับน้ำโดยโมเลกุลที่มีความ ยืดหยุ่นสูง (train-loop-tail model).....	10
6	แบบจำลองการรักษาความคงตัวของระบบคอลลอยด์โดยโมเลกุลที่ผิวร่วน.....	11
7	การรักษาความคงตัวของระบบคอลลอยด์โดยใช้อนุภาคที่ผิวร่วนระหว่าง วัฏภาคที่กระจายตัวกับวัฏภาคต่อเนื่อง.....	12
8	โครงสร้างของอิมัลชัน (O/W) ชั้นรักษาความคงตัวด้วยโปรตีน ไมโนกลีเซอไรร์ ไดกีเซอไรร์ และ ไอโอดิคอลลอยด์	12
9	การสูญเสียความคงตัวของระบบคอลลอยด์.....	13
10	การเกาะกลุ่มกัน (flocculation) ในอิมัลชัน.....	13
11	การหลอมรวมตัวกัน (coalescence) ในอิมัลชัน	15
12	การแยกครีม (creaming) ในอิมัลชัน	15
13	การหลอมรวมตัวกันบางส่วน (partial coalescence) ในอิมัลชัน.....	17
14	การเกิดอส瓦ลด์ไรเพนนิง (Oswald ripening) ในอิมัลชัน	18
15	การกลับวัฏภาค (phase inversion) ของอิมัลชัน.....	18
16	การเกิด supercooling ในอิมัลชันแบบน้ำมันในน้ำหลังจากการให้ความร้อน และทำให้เย็น.....	21
17	การหลอมรวมตัวบางส่วนของเม็ดไขมัน	22
18	โครงสร้างของโมเลกุลน้ำที่ล้อมรอบไอโอดินในวัฏภาคนำ	26
19	การปรับตัวและรูปแบบของโมเลกุลที่ผิวสัมผัสร่วน	29
20	ค่า %creaming index ของตัวอย่างกะทิที่ผ่านการแช่แข็ง-ละลายที่จำนวนครั้ง ต่างๆ	39
21	ค่า %creaming index ของตัวอย่างกะทิที่ผ่านการเก็บรักษาที่เวลาต่างๆ.....	41

ภาพที่		หน้า
22	ค่า %creaming index ของตัวอย่างกะทิที่ผ่านการแช่แข็งที่เวลาต่างๆ	42
23	ค่าความหนืดของตัวอย่างกะทิที่ผ่านการเติมน้ำตาลชูโครสที่ระดับความเข้มข้นต่างๆที่เวลาต่างๆ.....	44
24	ขนาดอนุภาคของตัวอย่างกะทิที่ผ่านการเติมน้ำตาลชูโครสที่ระดับความเข้มข้นต่างๆ.....	45
25	ภาพถ่ายจากกล้องจุลทรรศน์ (กำลังขยาย 40 เท่า) ของกะทิที่ผ่านการเติมน้ำตาลชูโครสที่ระดับความเข้มข้นต่างๆ.....	46
26	ค่าความหนืดของตัวอย่างกะทิที่ผ่านการเติมเกลือโซเดียมคลอไรด์ที่ระดับความเข้มข้นต่างๆที่เวลาต่างๆ	50
27	ขนาดอนุภาคของตัวอย่างกะทิที่ผ่านการเติมเกลือโซเดียมคลอไรด์ที่ระดับความเข้มข้นต่างๆ.....	51
28	ภาพถ่ายจากกล้องจุลทรรศน์ (กำลังขยาย 40 เท่า) ของกะทิที่ผ่านการเติมเกลือโซเดียมคลอไรด์ที่ระดับความเข้มข้นต่างๆ.....	52
29	ค่าความหนืดของตัวอย่างกะทิที่ผ่านการเติมโซเดียมแคชีเนทที่ระดับความเข้มข้นต่างๆที่เวลาต่างๆ.....	57
30	ขนาดอนุภาคของตัวอย่างกะทิที่ผ่านการเติมโซเดียมแคชีเนทที่ระดับความเข้มข้นต่างๆ.....	58
31	ภาพถ่ายจากกล้องจุลทรรศน์ (กำลังขยาย 40 เท่า) ของกะทิที่ผ่านการเติมโซเดียมแคชีเนทที่ระดับความเข้มข้นต่างๆ	59
32	ค่าความหนืดของตัวอย่างกะทิที่ผ่านการเติม Tween 60 ที่ระดับความเข้มข้นต่างๆที่เวลาต่างๆ.....	62
33	ขนาดอนุภาคของตัวอย่างกะทิที่ผ่านการเติม Tween 60 ที่ระดับความเข้มข้นต่างๆ.....	63
34	ภาพถ่ายจากกล้องจุลทรรศน์ (กำลังขยาย 40 เท่า) ของกะทิที่ผ่านการเติม Tween 60 ที่ระดับความเข้มข้นต่างๆ.....	64
35	ค่าความหนืดของตัวอย่างกะทิที่ผ่านการให้ความร้อนที่อุณหภูมิต่างๆที่เวลาต่างๆ.....	68

ภาพที่		หน้า
36	ขนาดอนุภาคของตัวอย่างกะทิที่ผ่านการให้ความร้อนที่อุณหภูมิต่างๆ.....	69
37	ภาพถ่ายจากกล้องจุลทรรศน์ (กำลังขยาย 40 เท่า) ของกะทิที่ผ่านการให้ความร้อนที่อุณหภูมิต่างๆ.....	70
38	ค่า %creaming index ของตัวอย่างกะทิที่ผ่านการเติมน้ำตาลซูโครสที่ระดับความเข้มข้นต่างๆ.....	89
39	ค่าความหนืดเคลื่อนตัวของตัวอย่างกะทิที่ผ่านการเติมน้ำตาลซูโครสที่ระดับความเข้มข้นต่างๆ.....	89
40	ขนาดอนุภาคเฉลี่ยของตัวอย่างกะทิที่ผ่านการเติมน้ำตาลซูโครสที่ระดับความเข้มข้นต่างๆ.....	90
41	ค่า %creaming index ของตัวอย่างกะทิที่ผ่านการเติมเกลือโซเดียมคลอไรด์ที่ระดับความเข้มข้นต่างๆ.....	90
42	ค่าความหนืดเคลื่อนตัวของตัวอย่างกะทิที่ผ่านการเติมเกลือโซเดียมคลอไรด์ที่ระดับความเข้มข้นต่างๆ	91
43	ขนาดอนุภาคเฉลี่ยของตัวอย่างกะทิที่ผ่านการเติมเกลือโซเดียมคลอไรด์ที่ระดับความเข้มข้นต่างๆ	91
44	ค่า %creaming index ของตัวอย่างกะทิที่ผ่านการเติมโซเดียมแคลเซียมที่ระดับความเข้มข้นต่างๆ.....	92
45	ค่าความหนืดเคลื่อนตัวของตัวอย่างกะทิที่ผ่านการเติมโซเดียมแคลเซียมที่ระดับความเข้มข้นต่างๆ.....	92
46	ขนาดอนุภาคเฉลี่ยของตัวอย่างกะทิที่ผ่านการเติมโซเดียมแคลเซียมที่ระดับความเข้มข้นต่างๆ.....	93
47	ค่า %creaming index ของตัวอย่างกะทิที่ผ่านการเติม Tween 60 ที่ระดับความเข้มข้นต่างๆ.....	93
48	ค่าความหนืดเคลื่อนตัวของตัวอย่างกะทิที่ผ่านการเติม Tween 60 ที่ระดับความเข้มข้นต่างๆ.....	94
49	ขนาดอนุภาคเฉลี่ยของตัวอย่างกะทิที่ผ่านการเติม Tween 60 ที่ระดับความเข้มข้นต่างๆ.....	94
50	ค่า %creaming index ของตัวอย่างกะทิที่ผ่านการให้ความร้อนที่อุณหภูมิต่างๆ.....	95

ภาพที่		หน้า
51	ค่าความหนืดเฉลี่ยของตัวอย่างกระทิที่ผ่านการให้ความร้อนที่อุณหภูมิต่างๆ.....	95
52	ขนาดอนุภาคเฉลี่ยของตัวอย่างกระทิที่ผ่านการให้ความร้อนที่อุณหภูมิต่างๆ	96
53	ตัวอย่างกระทิหลังผ่านการแช่แข็ง-ละลาย	99

unit 1

บทนำ

1.1 ความเป็นมาและความสำคัญของปัณฑ

ในปัจจุบันอาหารไทยได้รับความนิยมเป็นอย่างมากในประเทศต่างๆทั่วโลก รัฐบาลไทยจึงได้เล็งเห็นศักยภาพของอาหารไทยที่จะสามารถเติบโตและแข่งขันได้ในตลาดโลก และได้ให้การสนับสนุนอุดหนุนอาหารไทย โดยผลักดันให้อาหารไทยเป็นหนึ่งในยุทธศาสตร์สำคัญของประเทศ ส่งผลให้อุดหนุนอาหารไทยมีการพัฒนาและเติบโตอย่างต่อเนื่อง ชนิด ปริมาณ และมูลค่าของอาหารไทยส่งออก ได้เพิ่มขึ้นเรื่อยๆ

อาหารไทยหลายชนิดมีส่วนผสมของกะทิ ทำให้เกิดความต้องการกะทิในปริมาณสูง อุตสาหกรรมกะทิกลายเป็นหนึ่งในอุตสาหกรรมอาหารที่มีความสำคัญเชิงเศรษฐกิจของประเทศไทย แต่ในระดับชุมชนเกษตรกรผู้ปลูกมะพร้าว ปะปนถึง โรงงานแปรรูปประเภทที่ขนาดใหญ่

ผลิตภัณฑ์กะทิเปรี้ยวปูมีหลายชนิด ได้แก่ กะทิพาสเจอไรซ์ กะทิกระป่องสเตอริไรซ์ กะทิกล่องยูเอชที กะทิผง รวมทั้งผลิตภัณฑ์อาหาร เช่น แข็งที่มีกะทิเป็นส่วนผสมหลัก เช่น แกงเผ็ด แดง แกงเขียวหวาน แกงกะหรี่ แกงมัสมั่น พะแนง ต้มข่าไก่ ต้มยำน้ำข้น หลุน กล้วยบวชชี ลูกดอง น้ำผลไม้ รวมมิตร เก็บเกี่ยว

ปัญหาสำคัญของผลิตภัณฑ์อาหาร เช่น เนยที่มีไขมันทริโอดีส์ เมื่อทำการละลาย (thawing) หรือให้ความร้อนใหม่อีกครั้ง (reheating) แล้ว จะเกิดการแยกชั้นครีม (creaming) และการแตกมัน (oiling off) ของไขมันมาก จนอาจกล่าวเป็นการเปลี่ยนแปลงทางกายภาพของกะทิที่ไม่พึงประสงค์ได้

จะทิปเป็นระบบอิมลชันตามธรรมชาติ โดยประกอบด้วยส่วนที่เป็นเฟสหรือวัฏภากของน้ำ (aqueous phase) และเฟสหรือวัฏภากของน้ำมันมะพร้าว (oil phase) ซึ่งไม่ละลายซึ่งกันและกัน กะทิที่ใช้ประกอบหรือผลิตอาหารส่วนใหญ่จะอยู่ในรูปของอิมลชันแบบน้ำมันในน้ำ (oil-in-water emulsion) โดยวัฏภากของน้ำมันมะพร้าวจะกระจายตัว (dispersed phase) เป็นเม็ดเล็ก ๆ เรียกว่า ครอปเล็ท (droplet) อยู่ในวัฏภากของน้ำที่เป็นเฟสต่อเนื่อง (continuous phase) ในกะทิจะมีโปรตีน

เป็นองค์ประกอบอยู่ โดยโปรดีนจะทำหน้าที่เป็นอิมัลชิไฟเออร์ตามธรรมชาติ ซึ่งจะหุ้มเป็นเมมเบรนรอบๆร่องรอยที่ขับป้องกันไม่ให้ครีอปเลี้ยวรวมตัวกัน

จากการศึกษาพบว่าการสูญเสียความคงตัวของอิมัลชันแบบน้ำมันในน้ำ ที่ผ่านการแช่แข็ง-ละลาย มีกลไกการเกิดเป็นลำดับขั้น เริ่มจากการแช่แข็งที่ทำให้วัฏภาคน้ำมันมีผลึกไนมัน และวัฏภาคน้ำมีผลึกน้ำแข็งเกิดขึ้นตามลำดับ (น้ำมันมีจุดหลอมเหลวสูงกว่าน้ำ) ผลึกที่เกิดขึ้นนี้จะทิ่มทำลายทะลุเมมเบรนที่หุ้มร่องรอยที่ขับป้องกันไม่ให้ครีอปเลี้ยง ผลึกจะเบี้ยดเสียดและเกาะจับกัน ต่อกันเมื่อเกิดการละลาย ผลึกน้ำแข็งจะละลายก่อน เหลือผลึกไนมันที่ยังคงเกาะจับกันอยู่ หากอุณหภูมิสูงขึ้นไปอีกกลุ่มผลึกไนมันก็จะหลอมละลายและรวมตัวกันอย่างรวดเร็ว เป็นครีอปเลี้ยนน้ำมันที่มีขนาดใหญ่ขึ้นและจะลอยตัวขึ้นสู่ด้านบน รวมตัวหนาแน่นเป็นชั้นครีมที่เรียกว่าการแยกชั้นครีม(creaming) ถ้าหากครีอปเลี้ยงในชั้นครีมรวมตัวกันอย่างสมบูรณ์เป็นเนื้อเดียวกัน ในที่สุดจะเห็นเป็นชั้นน้ำมันใสแยกออกจากวัฏภาคน้ำ ลอยตัวอยู่ที่ผิวน้ำเรียกว่า การแตกมัน (oiling off) ความคงตัวต่อการแช่แข็ง-ละลายของอิมัลชันจะขึ้นอยู่กับปัจจัยหลายประการ ได้แก่ องค์ประกอบของวัฏภาคน้ำมัน ชนิดและความเข้มข้นของน้ำตาลและเกลือในวัฏภาคน้ำ ชนิดและความเข้มข้นของสารอิมัลชิไฟเออร์ (Ghosh และคณะ, 2008)

การศึกษาทางที่น้นความคงตัวต่อการแช่แข็ง-ละลายของอิมัลชัน ส่วนใหญ่จะทำในระบบอิมัลชันจำลองและระบบอิมัลชันที่ไม่มีน้ำมันมะพร้าวหรือไนมันกะทิเป็นองค์ประกอบ ยังมีการวิจัยเกี่ยวกับความคงตัวต่อการแช่แข็ง-ละลายของระบบกะทิโดยตรงน้อยมาก ทำให้ขาดองค์ความรู้ที่จะนำไปใช้ในการแก้ปัญหาความไม่คงตัวหลังการละลายของกะทิ และผลิตภัณฑ์กะทิที่ผ่านการแช่แข็ง ดังนั้นผู้วิจัยจึงมีป้าหมายที่จะศึกษาถึงปัจจัยต่างๆที่มีผลต่อความคงตัวต่อการแช่แข็ง-ละลายของกะทิ อันได้แก่ ความเข้มข้นของน้ำตาลซูโครส ความเข้มข้นของโซเดียมคลอไรด์ ชนิดและความเข้มข้นของอิมัลชิไฟเออร์ และระดับการให้ความร้อนก่อนการแช่แข็ง เนื่องจากปัจจัยต่างๆเหล่านี้เป็นปัจจัยหลักที่มีผลกระทบต่อความคงตัวต่อการแช่แข็ง-ละลายของกะทิ ผู้วิจัยจึงมุ่งที่จะศึกษาเฉพาะผลของปัจจัยต่างๆเหล่านี้

1.2 วัตถุประสงค์ในการวิจัย

ในงานวิจัยนี้มีเป้าหมายที่จะศึกษาถึงปัจจัยที่มีผลต่อความคงตัวต่อการแช่แข็ง-ละลายของกะทิ ได้แก่ ความเข้มข้นของน้ำตาลซูโครสและโซเดียมคลอไรด์ ชนิดและความเข้มข้นของอิมัลชิไฟเออร์ รวมทั้งระดับการให้ความร้อนก่อนการแช่แข็ง เพื่อให้ได้องค์ความรู้ใหม่ที่สามารถ

นำไปแก้ไขปรับปรุงกะทิและผลิตภัณฑ์อาหารสมนกะทิ ที่ต้องผ่านกระบวนการแปรรูป เช่น เยื่อแก้ว ให้มีความคงตัวหลังการละลายมากขึ้น

1.3 สมมติฐานในการวิจัย

ความเข้มข้นของน้ำตาลชูโครสและโซเดียมคลอไรด์ ชนิดและความเข้มข้นของอิมัลซิไฟเออร์ รวมทั้งระดับการให้ความร้อนก่อนการแปรรูป เป็นปัจจัยที่มีผลต่อความคงตัวต่อการแปรรูป-ละลายของกะทิ ถ้าหากมีความรู้ความเข้าใจถึงอิทธิพลของปัจจัยดังกล่าวมากพอ ก็จะทำให้สามารถนำไปใช้แก้ไขปรับปรุงให้กะทิมีความคงตัวหลังผ่านการแปรรูป-ละลายได้มากขึ้น

1.4 ขอบเขตของการวิจัย

1. ศึกษาความเข้มข้นของน้ำตาลชูโครสที่มีผลต่อความคงตัวต่อการแปรรูป-ละลายของกะทิ โดยใช้น้ำตาลชูโครสความเข้มข้น 10, 20, 30 และ 40%w/v
2. ศึกษาความเข้มข้นของโซเดียมคลอไรด์ที่มีผลต่อความคงตัวต่อการแปรรูป-ละลายของกะทิ โดยใช้โซเดียมคลอไรด์ความเข้มข้น 1, 2, 3 และ 4%w/v
3. ศึกษานิคและความเข้มข้นของอิมัลซิไฟเออร์ที่มีผลต่อความคงตัวต่อการแปรรูป-ละลายของกะทิ โดยใช้โซเดียมเคเชินและความเข้มข้น 0.3, 0.5 และ 0.7%w/v และใช้ Tween 60 ความเข้มข้น 0.1, 0.3 และ 0.5%w/v
4. ศึกษาระดับการให้ความร้อนก่อนการแปรรูป เช่น โดยใช้ระดับความร้อนที่ 70, 80 และ 90 °C เป็นเวลา 1 นาที

บทที่ 2

วรรณกรรมที่เกี่ยวข้อง

2.1 น้ำกะทิ

“น้ำกะทิ” เป็นของเหลวที่ได้จากการบีบคั้นเนื้อมะพร้าวบุด อาจเติมน้ำหรือไม่เติมก็ได้ นิยมใช้เป็นส่วนประกอบที่สำคัญอย่างหนึ่งในการปรุงอาหารทั้งอาหารหวาน และอาหารหวานของคนไทยและคนในแถบเอเชียอย่างประเทศ น้ำกะทิสามารถนำมาปรุงเป็นผลิตภัณฑ์ได้หลายชนิด เช่น กะทิผง น้ำกะทิบรรจุกล่อง UHT น้ำกะทิบรรจุกระป๋อง เพื่อให้สามารถเก็บรักษาได้นานยิ่งขึ้นและสะดวกในการใช้ รวมทั้งผลิตภัณฑ์อาหารแปรรูปที่มีกะทิเป็นส่วนผสมหลัก เช่น แกงเผ็ดแดง แกงเขียวหวาน แกงกะหรี่ แกงมัสมั่น พะแนง ต้มข่าไก่ ต้มยำน้ำข้น หลุน กล้วยบวชชี ลอดช่อง บัวลอย รวมมิตร เป็นต้น โดยทั่วไปสัดส่วนขององค์ประกอบของกะทิที่ได้จากการบีบเนื้อมะพร้าวบุดโดยไม่เติมน้ำ มีดังนี้คือ โปรตีน 2.6-4.4% น้ำ 50-54% ไขมัน 32-40% เด็ก 1-1.5% (Seow and Gwee, 1997) และของแข็งที่ไม่ใช่ไขมัน 11% (Peamprasart and Chiewchan, 2006) จัดเป็นอาหารที่มีความเป็นกรดต่ำ (low acid food) มีค่า pH ประมาณ 6 สมบัติทางกายภาพและองค์ประกอบทางเคมีของน้ำกะทิ ดังแสดงในตารางที่ 1 (Gonzalez, de Leon and Sanchez, 1990)

ตารางที่ 1 คุณสมบัติทางกายภาพและองค์ประกอบทางเคมีของน้ำกะทิที่สกัดโดยใช้เนื้อมะพร้าวบุด
ต่อน้ำเท่ากับ 1:1

สมบัติทางกายภาพ	ช่วงของค่าที่วัดได้
ความถ่วงจำเพาะ	1.0029-1.0080
แรงตึงผิว (dynes/cm^2)	97.76-125.43
ความหนืด (centipoises)	1.61-2.02
ดัชนีหักเหแสง	1.3412-1.3446
pH	5.95-6.30

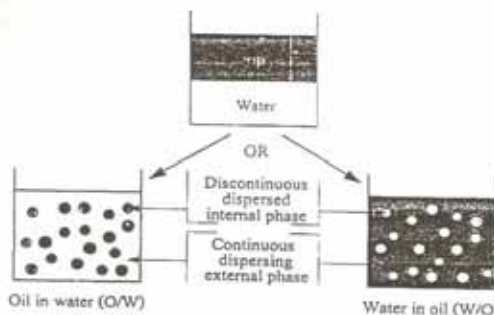
องค์ประกอบทางเคมี	ช่วงของปริมาณที่วิเคราะห์ได้
ความชื้น	73.74-76.84%
ไขมัน	18.83-21.09%
โปรตีน	2.14-2.97%
เกลือ	0.63-0.96%
น้ำตาลทั้งหมด	0.82-1.62%

ที่มา : Gonzalez et al. (1990)

2.2 ระบบอิมลัชัน

เกว โพธิพละ (2536) กล่าวไว้ว่า ระบบอิมลัชัน คือของผสมของของเหลว 2 ชนิด ซึ่งปกติจะไม่ผสมเป็นเนื้อเดียวกัน โดยที่ของเหลวชนิดหนึ่งจะแพร่กระจายเป็นเม็ดเล็กๆอยู่ในของเหลวอีกชนิดหนึ่ง ของเหลวที่แพร่กระจายอยู่นี้เรียกว่า วัฏภาคที่กระจายตัว (disperse phase) ส่วนของเหลวที่ล้อมรอบนั้นเรียกว่า วัฏภาคต่อเนื่อง (continuous phase) สมบัติที่สำคัญของอิมลัชันคือ อนุภาคในวัฏภาคที่กระจายตัวมีขนาดเล็ก และมีแรงตึงผิว (surface tension) สูง จึงมีความคงตัว (stability) ในเวลาจำกัดเท่านั้น (ปารินัตร วงศ์ประภาส, 2545) ชนิดของอิมลัชันในอาหารแบ่งออกได้ดังนี้

- อิมลัชันแบบน้ำมันในน้ำ (oil-in-water emulsions) เป็นอิมลัชันที่ประกอบด้วยไขมันหรือน้ำมันเม็ดเล็กๆกระจายอยู่ในน้ำ ตัวอย่างเช่น น้ำสลัดชนิดต่างๆ นม กะทิ และไอกกรีม เป็นต้น
- อิมลัชันแบบน้ำในน้ำมัน (water-in-oil emulsions) เป็นอิมลัชันที่ประกอบด้วยหยดน้ำ เม็ดเล็กๆ กระจายตัวอยู่ในน้ำมัน ตัวอย่างเช่น เนยและมาการีน เป็นต้น



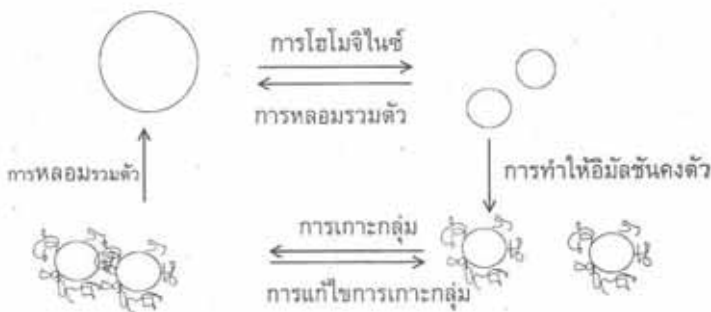
ภาพที่ 1 ชนิดของอิมลัชัน

ที่มา : ประชญา วงศ์ธนบัตร (2543)

2.2.1 กลไกในการเกิดอิมัลชัน

ประจัตร ทรงสุประภาส (2545) กล่าวว่าการเกิดอิมัลชันจะต้องมีงาน (work) กระทำต่อระบบเพื่อชนะความต้านทานที่ก่อให้เกิดผิวสัมผัสร่วม (interface) ระหว่างวัสดุภาค ซึ่งเกิดจากแรงดึงระหว่างผิว เช่น การกวน เพื่อทำให้อนุภาคขนาดใหญ่ของวัสดุภาคที่กระจายตัวได้รับแรงเฉือน ในลักษณะเช่นนี้อนุภาคจะเสียรูปและแตกออกเป็นอนุภาคที่มีขนาดเล็กลง ทำให้มีการกระจายตัวที่ดีในส่วนของน้ำ (continuous phase) ถ้ากวนอิมัลชันด้วยงานที่เหมาะสมจะทำให้พิล์มของสารอิมัลซิไฟเออร์ ถูกดูดซับที่ระหว่างผิวน้ำร่วมของห้องสองวัสดุภาคและเกิดอิมัลชันที่คงตัว เวลาที่ใช้ในการทำให้เกิดความคงตัวในอิมัลชันจะแตกต่างกันขึ้นกับสูตรของอิมัลชันและเทคนิคที่ใช้ และมักจะได้จากการทดลอง โดยจะต้องมีช่วงเวลาที่เหมาะสม ถ้าต่ำกว่าเวลาดังกล่าวอิมัลชันที่เกิดขึ้นจะไม่คงตัว แต่ถ้าการกวนดำเนินต่อไปเกินระยะเวลาที่เหมาะสม อิมัลชันอาจได้รับความเสียหาย เนื่องจากพิล์มที่ทำหน้าที่ป้องกันการหลอมรวมตัวกันของวัสดุภาคที่กระจายตัวเกิดการเสื่อมเสียด้วยการกวนที่มากเกินไป (Friberg and Larsson, 1997)

ผลิตภัณฑ์อิมัลชันเหลวหรืออิมัลชันกึ่งแข็งกึ่งเหลว ที่ไม่ได้มีการรักษาความคงตัวโดยโครงสร้างของเจลมากจะผ่านกระบวนการลดขนาดของเม็ด ไขมันโดยการโซโนจีโนซ์ การเติมสารอิมัลซิไฟเออร์ในขณะที่ทำให้เกิดเป็นอิมัลชันจะช่วยลดแรงตึงผิวของวัสดุภาคที่กระจายตัว และวัสดุภาคต่อเนื่อง ทำให้เกิดเป็นอิมัลชันได้ง่ายขึ้น สารอิมัลซิไฟเออร์เป็นสารประกอบที่สามารถละลายได้ทั้งในวัสดุภาคที่กระจายตัวและวัสดุภาคต่อเนื่อง เนื่องจากสามารถละลายหรือกระจายตัวได้ทั้งในน้ำและในน้ำมันหรือที่เรียกว่าเป็นโนมเลกูลแอมฟิล์ การเติมสารอิมัลซิไฟเออร์ลงในส่วนผสมจะเป็นการเพิ่มความสามารถในการทำให้เกิดเป็นอิมัลชัน สารอิมัลซิไฟเออร์แต่ละชนิดจะลดแรงตึงผิวได้แตกต่างกัน แต่การลดแรงตึงผิวเพียงอย่างเดียวจะไม่ทำให้อิมัลชันนั้นคงตัว เนื่องจากเม็ด ไขมันยังสามารถเคลื่อนที่เข้าหากันแบบบรรเทาเนื่อง และรวมตัวกันได้ในระหว่างการเก็บรักษา ดังนั้นหากระบบอิมัลชันมีสารที่สามารถขัดขวางการเข้ารวมตัวกันของเม็ด ไขมัน ไม่ว่าจะโดยโนมเลกูลหรืออนุภาคที่ผิวร่วมระหว่างน้ำมันกับน้ำ (ดังแสดงในภาพที่ 2) ก็จะทำให้อิมัลชันนั้นา มีความคงตัวตามระยะเวลาที่ต้องการได้



ภาพที่ 2 การสูญเสียความคงตัวของอิมลัชั่น

ที่มา : ปริพัตร ทรงสประภาส (2545)

2.2.2 ความคงตัวของอิมลัชั่น

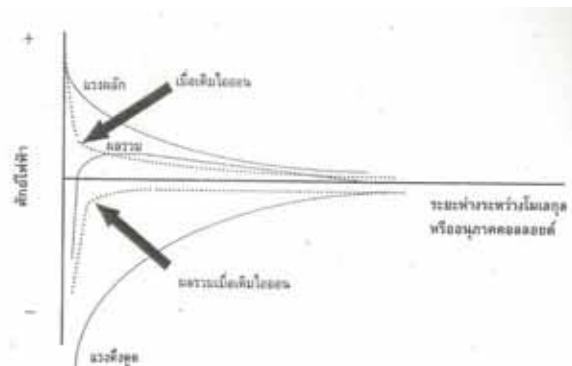
ความคงตัวของอิมลัชั่นคือ การต้องการให้วัฏภาพที่กระจายตัวซึ่งมีขนาดประมาณ 1-100 ไมโครเมตร (ปริพัตร ทรงสประภาส, 2545) กระจายตัวในวัฏภาพต่อเนื่อง ซึ่งโดยทั่วไประบบอิมลัชั่นของอาหารจะเปลี่ยนแปลงตลอดเวลา เนื่องจากปัจจัยภายนอก เช่น การเปลี่ยนแปลงของอุณหภูมิในระหว่างการแปรรูปและการเก็บรักษา นอกจากจะไม่เสียรบแล้วระบบอิมลัชั่นยังเข้าสภาพสมดุล (equilibrium) ได้ยากอีกด้วย การรักษาความคงตัวของระบบอิมลัชั่นสามารถทำได้โดยการทำให้พื้นผิวของอนุภาคในวัฏภาพที่กระจายตัวมีประจุ (charge stabilization) หรือการทำให้พิวัสมัพสร่วม (interfacial stabilization) ระหว่างอนุภาคในวัฏภาพที่กระจายตัวกับวัฏภาพต่อเนื่องมีโนเลกูลหรืออนุภาคล้อมรอบ (steric stabilization หรือ particle stabilization) เพื่อกีดขวางการชนและรวมมวลของอนุภาค ไขมัน การขัดขวางการรวมตัวของอนุภาคในวัฏภาพที่กระจายตัว ไม่ว่าจะเป็นการเกาะกลุ่ม (flocculation) หรือการหลอมรวมตัวเป็นอนุภาคเดียวกัน (coalescence) อาจทำได้โดยการเพิ่มความหนืดให้แก่วัฏภาพต่อเนื่อง เพื่อหน่วงการเคลื่อนที่ของอนุภาคในวัฏภาพที่กระจายตัวให้ช้าลง (ปริพัตร ทรงสประภาส, 2545; McClements, 1999)

2.2.3 กลไกในการรักษาความคงตัวของอิมลัชั่น

2.2.3.1 การรักษาความคงตัวโดยประจุพื้นผิวของอนุภาค colloidal (Charge Stabilization)

ได้มีการอธิบายบทบาทของประจุไฟฟ้านบนพื้นผิวของคลอลอยด์โดย DLVO theory (Derjaguin-Landau-Verwey-Overbeek) ไว้ว่า ความคงตัวของระบบคลอลอยด์ขึ้นอยู่กับระยะห่างระหว่างอนุภาคคลอลอยด์ซึ่งสามารถเกิดพันธะต่อกันได้ (Friberg and Larsson, 1997)

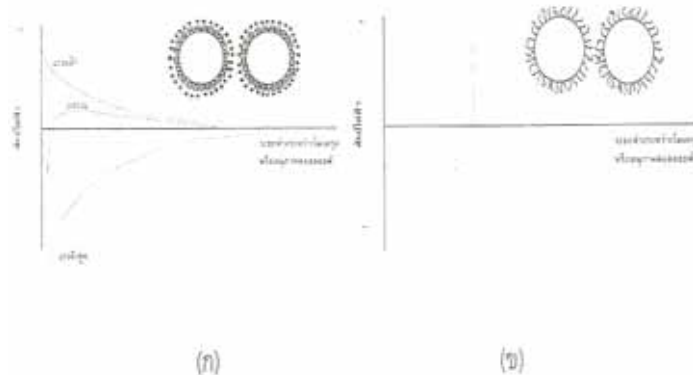
พันธะที่เกี่ยวข้องนี้เป็นพันธะในกลุ่มของแรงช่วงยาวยังไง ซึ่งได้แก่ แรงดึงดูดแวนเดอร์วัลส์ และแรงผลักระหว่างอนุภาคของคอลลอยด์ที่มีประจุเหมือนกัน (electrical repulsion) ดังแสดงในภาพที่ 3 ผลรวมของแรงดึงดูดและแรงผลักซึ่งแสดงเป็นศักย์ไฟฟ้า (electrical potentials) ขึ้นอยู่กับระยะห่างอนุภาคคอลลอยด์ เมื่ออนุภาคของคอลลอยด์อยู่ห่างกัน ถึงแม้ผลรวมของศักย์ไฟฟ้าจะมีค่าเป็นลบคือ แรงดึงดูดมากกว่าแรงผลัก อนุภาคคอลลอยด์จะไม่เกิดการเกาะกลุ่มนี้ แต่เมื่อจากอนุภาคอยู่ใกล้กันเกินกว่าจะเกิดพันธะในกลุ่มของแรงช่วงสั้น เช่น พันธะโโคเวเลนต์ เมื่ออนุภาคของคอลลอยด์เข้าใกล้กันมากขึ้น ผลรวมของศักย์ไฟฟ้าจะมีค่าเป็นบวก คือ แรงผลักมากกว่าแรงดึงดูด อนุภาคคอลลอยด์จะไม่เกิดการเกาะกลุ่มกันหรือรวมตัวกัน ทำให้ระบบคอลลอยด์รักษาความคงตัวไว้ได้ไม่เกิดการแตกตะกอนหรือแยกชั้น



ภาพที่ 3 ความสัมพันธ์ระหว่างศักย์ไฟฟ้า (electrical potentials) กับระยะห่างระหว่างคอลลอยด์ ที่มา : ปาริพัตร แห่งสปริงเกอร์ (2545)

เมื่อมีการเติมไอออนลงในระบบคอลลอยด์ ประจุไฟฟ้าของไอออนจะไปเปลี่ยนศักย์ไฟฟ้าของระบบคอลลอยด์ทั้งในวัฏจักรที่กระจายตัวและวัฏจักรต่อเนื่อง ดังนั้นศักย์ไฟฟ้าที่ระยะห่างระหว่างอนุภาคของคอลลอยด์จะเปลี่ยนไป ทำให้แรงผลักลดลงที่ระยะห่างระหว่างอนุภาคคอลลอยด์สั้นๆ ผลรวมของศักย์ไฟฟ้าจะมีค่าเป็นลบ คือ แรงดึงดูดมากกว่าแรงผลัก อนุภาคคอลloyด์จึงเกิดการเกาะกลุ่มกันและทำให้ระบบคอลลอยด์เสียความคงตัว

ผลของการลดแรงผลักจากการเติมไอออนจะขึ้นอยู่กับชนิดของไอออนที่สามารถทำให้ประจุบนพื้นผิวของอนุภาคเป็นกลาง (charge neutralization) ดังแสดงในภาพที่ 4 ความเข้มข้นของไอออนที่เติม และความเป็นกรด-ด่างของระบบคอลลอยด์นั้นๆ ที่จะทำให้ประจุรวมของอนุภาคคอลลอยด์เปลี่ยนไป



ภาพที่ 4 ความสัมพันธ์ระหว่างศักย์ไฟฟ้าของอนุภาคกับระยะห่างระหว่างอนุภาค
กับคลอloyd เมื่อมีการเปลี่ยนแปลงของประจุโดย (ก) การเติมไฮอน และ (ข) การเติม
โนเมเลกุลที่มีประจุและมีคุณสมบัติกระจายตัวที่ผิวร่วมระหว่างวัสดุภาคที่กระจายตัวกับ
วัสดุภาคต่อเนื่อง

ที่มา : ปาริชัตร ทรงสปริงภพ (2545)

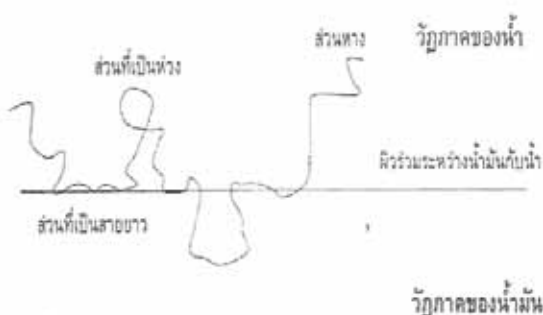
2.2.3.2 การรักษาความคงตัวโดยโนเมเลกุลที่ผิว_r_w_mระหว่างวัสดุภาคที่กระจายตัว กับวัสดุภาคต่อเนื่อง (Steric Stabilization)

การรักษาความคงตัวของระบบคลอloyd โดยโนเมเลกุลที่ผิว_r_w_m เกิดขึ้นได้
เนื่องจากสารประกอบที่มีส่วนของโนเมเลกุลที่ละลายได้ทึ้งในวัสดุภาคที่กระจายตัวและวัสดุภาค
ต่อเนื่องมีขนาดโนเมเลกุลใหญ่เพียงพอที่จะกีดขวางการรวมตัวของอนุภาคคลอloyd เช่น โปรตีน ซึ่ง
มีโนเมเลกุลค่อนข้างใหญ่จะถูกดูดซับหรือละลายได้ในวัสดุภาคของน้ำมัน (oil phase) และมีบางส่วนที่
ละลายนำ้ได้จะอยู่ในวัสดุภาคของน้ำ (aqueous phase) ดังนั้นที่ผิว_r_w_mระหว่างน้ำมันกับนำ้ (oil-water
interface) จึงเกิดโครงสร้างซึ่งสามารถทำหน้าที่กีดขวางการรวมตัวกันของเม็ดไขมัน เพราะโปรตีน
มีโนเมเลกุลขนาดใหญ่พอที่จะทำหน้าที่เป็นเครื่องกีดขวาง (barrier) ไม่ให้ออนุภาคของคลอloyd เกาะ
กลุ่มกัน ได้

การรักษาความคงตัวโดยโนเมเลกุลที่ผิว_r_w_m ทำได้เนื่องจาก โนเมเลกุลขนาดใหญ่ที่
อยู่ระหว่างพื้นผิวของอนุภาคในวัสดุภาคที่กระจายตัวกับวัสดุภาคต่อเนื่องมีความยืดหยุ่น และ/หรือมี
ความหนาเพียงพอ ส่วนใหญ่แล้ว โนเมเลกุลเหล่านี้มักมีคุณสมบัติเป็น โนเมเลกุลแอมฟิไฟลิก
(amphiphilic molecule) เช่น โปรตีน ซึ่งมีส่วนที่กระจายตัวได้ดีในนำ้ (hydrophilic region) เพราะมี
หมุ่ที่มีประจุ (charge side-chain) หรือโพลาร์ (polar side-chain) และส่วนที่กระจายตัวหรือละลาย
ได้ดีในน้ำมัน (hydrophobic หรือ lyophilic region) เพราะมีหมุ่ที่เป็นอนิโอลาร์ (non-polar side-

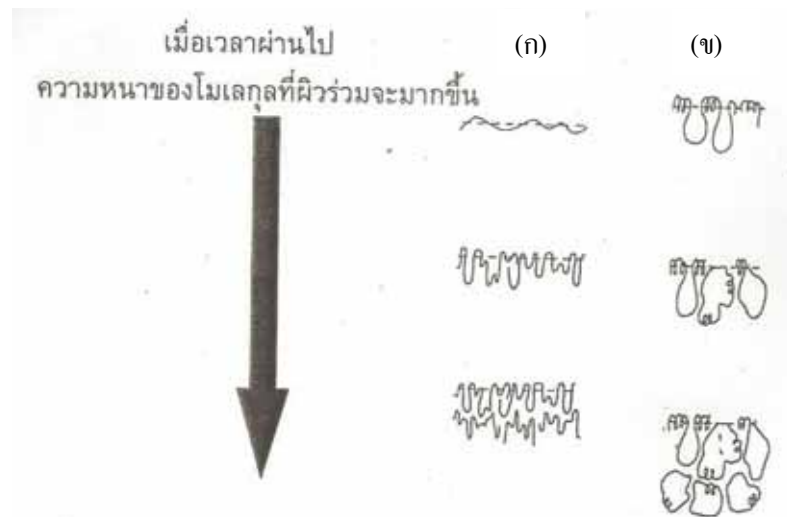
chain) ดังแสดงในภาพที่ 5 ส่วนหาง (tail) มักจะเป็นหมู่ที่กระเจยตัวหรือละลายได้ในน้ำ ซึ่งก็คือ ปลายโนมเลกุลด้านหมู่อะมิโน (N-terminus) และปลายโนมเลกุลด้านหมู่кар์บอชิล (C-terminus) ของโปรตีนนั้นเอง ส่วนที่เป็นห่วง (loop) คือ บางส่วนของโปรตีนที่กระเจยตัวในน้ำได้ และทำหน้าที่เป็นเครื่องกีดขวาง ส่วนที่เป็นสายยาว (train) ก็คือส่วนของโปรตีนที่กระเจยตัวหรือละลายในไขมันได้ (Dickinson and Stainsby, 1982)

การที่โปรตีนชนิดใดชนิดหนึ่งจะถูกดูดซับที่ผิวรวมระหว่างน้ำมันกับน้ำได้ หรือไม่ ขึ้นอยู่กับพื้นที่ผิวต่อปริมาตรของเม็ดไขมันที่ยังว่างอยู่ให้โปรตีนถูกดูดซับได้ (surface availability) และแรงผลกระหว่างโนมเลกุลของโปรตีนและอนุภาคคลอโลຍด์ (charge repulsion) หลังจากที่โปรตีนถูกดูดซับแล้ว จะเกิดการเสียสภาพหรือคลายเกลียวที่พื้นผิวของอนุภาคคลอโลຍด์ ต่อไป (surface denaturation) ทำให้โปรตีนเกิดโครงสร้างใหม่ที่ผิวรวมระหว่างน้ำมันกับน้ำซึ่งทำหน้าที่กีดขวางการรวมตัวของเม็ดไขมัน ดังแสดงในภาพที่ 5 และ 6 ระบบคลอโลຍด์ในอาหารที่รักษาความคงตัวโดยใช้โนมเลกุลที่ผิวรวม เช่น ในนมพร้อมดื่ม โปรตีนจะสูญเสียโครงสร้างระดับจตุรภูมิ (quaternary structure) ตertiayภูมิ (tertiary structure) และทุติยภูมิ (secondary structure) ในระหว่างการพาสเจอร์ไซด์ เมื่อทำการโซโนมิในชั้นน้ำนมให้เม็ดไขมันมีขนาดเล็กลง และมีจำนวนมากขึ้น เกซิณซึ่งเป็นโนมเลกุลยืดหยุ่น (flexible) กว่าโปรตีนเวย์จะสามารถแผ่กระเจยได้ที่ผิวรวมระหว่างน้ำมันกับน้ำ (ภาพที่ 6 (ก)) ในขณะที่โปรตีนเวย์มีขนาดเล็กและเกาะกันแน่น (compact) จะเกิดโครงสร้างที่ผิวรวมดังแสดงในภาพที่ 6 (ข))



ภาพที่ 5 แบบจำลองการดูดซับที่ผิวรวมระหว่างน้ำมันกับน้ำ โดยโนมเลกุลที่มีความยืดหยุ่นสูง (train-loop-tail model)

ที่มา : ประวัติศาสตร์ แห่งสุรินทร์ (2545)



ภาพที่ 6 แบบจำลองการรักษาความคงตัวของระบบ colloidal โดยโน้มเลกุลที่ผิวร่วมโดยใช้

(ก) โน้มเลกุลที่มีความยืดหยุ่นสูง และ (ข) โน้มเลกุลที่เกาะกันแน่น

ที่มา : ประวัติ หงส์ประภาส (2545)

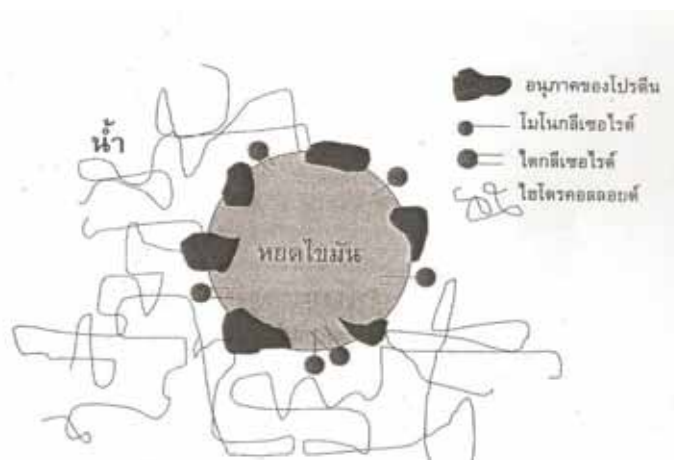
2.2.3.3 การรักษาความคงตัวโดยอนุภาคที่ผิวร่วมระหว่างวัสดุภาคที่กระจายตัวกับวัสดุภาคต่อเนื่อง (Particle Stabilization)

ความสามารถในการรักษาความคงตัวของระบบ colloidal โดยอนุภาค (particle) จะขึ้นอยู่กับความสามารถในการจัดเรียงตัวของอนุภาคนั้นๆ ที่ผิวสัมผัสระหว่างวัสดุภาคที่กระจายตัวกับวัสดุภาคต่อเนื่อง การที่อนุภาค colloidal เช่น เม็ดน้ำมัน (oil droplet) ถูกล้อมรอบด้วยอนุภาค จะทำให้การรวมตัวของเม็ดน้ำมันเกิดขึ้นได้ยากเมื่อมีการชนกัน เพราะอนุภาคจะทำหน้าที่เป็นเครื่องกีดขวาง ดังแสดงในภาพที่ 7 ความสามารถในการรักษาความคงตัวโดยกลไกนี้ จะขึ้นอยู่กับชนิดของอนุภาคและมุมที่อนุภาคสัมผัสกับผิวร่วม ซึ่งเรียกว่ามุมสัมผัส (contact angle) ถ้าอนุภาคละลายได้ง่ายในน้ำมัน อนุภาคจะมีส่วนที่อยู่ในน้ำมันมากกว่าในน้ำ (มุมน้อยกว่า 90°) ประสิทธิภาพในการเป็นเครื่องกีดขวางจะไม่นำก่อให้อนุภาคที่สามารถละลายในน้ำและน้ำมันเท่ากัน ($\text{มุม} = 90^\circ$) และถ้าอนุภาคละลายน้ำได้ดี อนุภาคจะมีส่วนที่อยู่ในน้ำมากกว่าน้ำมัน (มุมมากกว่า 90°) ทำให้เป็นเครื่องกีดขวางได้ไม่ดีเท่ากับเมื่อมีมุม 90° เพราะอนุภาคจะหลุดออกจากส่วนที่เป็นน้ำมันได้ง่าย (Friberg and Larsson, 1997)



ภาพที่ 7 การรักษาความคงตัวของระบบ colloidal โดยใช้ออนุภาคที่ผิวรวมระหว่างวัสดุภาคที่กระจายตัวกับวัสดุภาคต่อเนื่อง

ที่มา : ปาริพัตร หงส์ประภาส (2545)

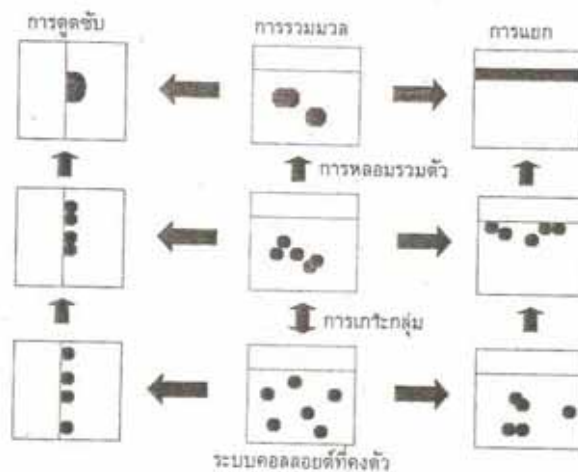


ภาพที่ 8 โครงสร้างของอิมลชัน (O/W) ซึ่งรักษาความคงตัวด้วยโปรตีน โนโนเกลี่เชอไรด์ ไอกลีเชอไรด์ และไฮโดรคออลลอยด์

ที่มา : ปาริพัตร หงส์ประภาส (2545)

2.2.4 ความไม่คงตัวของอิมลชัน

การสูญเสียความคงตัวของระบบอิมลชันมีหลายระดับดังแสดงในภาพที่ 9 โดยแต่ละลักษณะจะมีกลไกการเกิด ปัจจัยที่เกี่ยวข้อง และผลกระทบต่อกுณลักษณะของอิมลชันแตกต่างกันออกไป

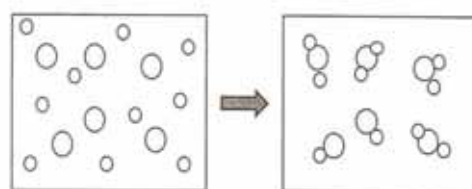


ภาพที่ 9 การสูญเสียความคงตัวของระบบ colloidal
ที่มา : ปาริพัตร ทรงสุประภาส (2545)

ความไม่คงตัวทางกายภาพของอิมัลชันอาจเกิดได้หลายลักษณะ ดังต่อไปนี้

2.2.4.1 การเกาะกลุ่มกัน (Flocculation)

เกิดขึ้นเมื่อครึ่งเปลือกห้องแต่ 2 ครึ่งอีกห้องขึ้นไป เข้ามาใกล้และเกาะจับกันโดยไม่เกิดการหลอมรวมตัวกันของครึ่งเปลือก ดังนั้นครึ่งเปลือกห้องมีจำนวนและขนาดเท่าเดิม เพียงแต่เกาะกันเป็นกลุ่มเท่านั้น (ภาพที่ 10) ความไม่คงตัวแบบนี้อาจเป็นขั้นแรกที่นำไปสู่ความไม่คงตัวแบบอื่นๆ ได้ เช่น การรวมตัวกันหรือการแยกชั้นครีม



ภาพที่ 10 การเกาะกลุ่มกัน (flocculation) ในอิมัลชัน ครึ่งเปลือกห้องจะเข้ามาใกล้และเกาะจับกันโดยไม่เกิดการหลอมรวมตัว ครึ่งอีกห้องมีจำนวนและขนาดเท่าเดิม
ที่มา : ดัดแปลงจาก Walstra (1996) และ McClements (1999)

การเกาะกลุ่มกันของครีอปเลิฟจะมีผลต่อคุณสมบัติทางกระแสวิทยา (rheological properties) ของอิมัลชัน ขึ้นกับลักษณะโครงสร้างที่เกิดขึ้นจากการเกาะกลุ่มกันของครีอปเลิฟ คือ

- ในอิมัลชันที่มีความเข้มข้นของครีอปเลิฟน้อย การเกาะกลุ่มกันของครีอปเลิฟ จะทำให้อิมัลชันมีความหนืดเพิ่มขึ้น แต่เมื่อทำการกรวย (ถูกระทำด้วยแรงเฉือนในการกรวยอย่างต่อเนื่อง) ความหนืดจะลดลงเนื่องจากครีอปเลิฟแตกกลุ่มกระจายออกมานะ เรียกว่า เกิด shear-thinning

- ในอิมัลชันที่มีความเข้มข้นของครีอปเลิฟมาก การเกาะกลุ่มกันของครีอปเลิฟจะทำให้เกิดโครงสร้างร่างแห้งสามมิติ (three dimension network) ที่แข็งแรงเกิดขึ้นในอิมัลชัน ทำให้อิมัลชันมีคุณสมบัติยืดหยุ่น (elastic properties) เช่น เกิดเป็นเจลได้

2.2.4.2 การหลอมรวมตัวกัน (Coalescence)

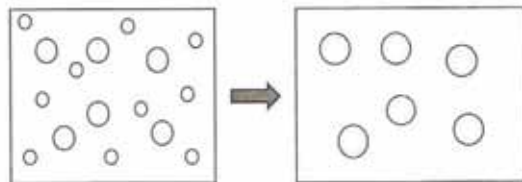
เกิดขึ้นเมื่อครีอปเลิฟตั้งแต่ 2 ครีอปเลิฟขึ้นไปขึ้นมาใกล้แล้วรวมตัวกันเกิดเป็นครีอปเลิฟที่มีขนาดใหญ่ขึ้น ดังนั้นครีอปเลิฟจะมีจำนวนน้อยลงแต่มีขนาดใหญ่ขึ้น (ภาพที่ 11) เมื่อครีอปเลิฟที่เป็นเม็ดน้ำมันรวมตัวกัน พื้นที่ผิวสัมผัสร่วม (interfacial area) โดยรวมของอิมัลชันจะลดลง ดังนั้นพลังงานพื้นผิว (surface energy) จึงลดลงด้วย ซึ่งเป็นไปได้่าย่างเทอร์โมไดนามิก (thermodynamically favorable) การหลอมรวมตัวกันของครีอปเลิฟจะเกิดขึ้นก็ต่อเมื่อครีอปเลิฟเข้ามาใกล้กันและเมมเบรนที่ผิวสัมผัสร่วม (interfacial membranes) แตกออก ปฏิสัมพันธ์ระยะไกลระหว่างครีอปเลิฟจะมีความสำคัญต่อการเกิดการรวมตัวกันของครีอปเลิฟมาก

อัตราการหลอมรวมตัวกันของครีอปเลิฟจะเพิ่มขึ้นเมื่อเยื่อหุ้มที่ผิวสัมผัสร่วมละลาย หรือถูกทำลายมากขึ้น เยื่อหุ้มที่หนาและยืดหยุ่นจะทำให้ครีอปเลิฟเกิดการรวมตัวได้ยาก ดังนั้ออัตราการหลอมรวมตัวกันของครีอปเลิฟ จะขึ้นอยู่กับธรรมชาติของอิมัลชันไฟโออร์ที่ผิวสัมผัสร่วมอย่างมาก โดยปกติโปรดีนจะเกิดเป็นเยื่อหุ้มที่ด้านนอกการหลอมรวมตัวกันได้ดีกว่าสารลดแรงตึงผิวไม่เลกูลาร์ (surfactants)

การหลอมรวมตัวกันของครีอปเลิฟไม่สามารถทำให้ขึ้นกลับได้โดยการกรวย ธรรมชาติทางการเกาะกลุ่มกันหรือการเกิดชั้นครีมที่อาจทำให้ขึ้นกลับได้โดยการกรวยให้ครีอปเลิฟในอิมัลชันแยกและกระจายตัวใหม่ได้อีก

ในอิมัลชันแบบน้ำมันในน้ำ การหลอมรวมตัวกันของครีอปเลิฟจะทำให้เกิดการแยกชั้นครีมได้เร็วขึ้น เมื่อจากครีอปเลิฟมีขนาดใหญ่ขึ้น (รัศมียาวขึ้น)

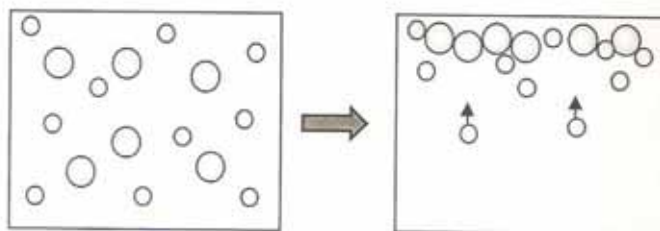
การหลอมรวมตัวกันของครีอปเลี้ยงอย่างต่อเนื่องในที่สุดจะทำให้เกิดชั้นของน้ำมันลอกอยู่ที่ด้านบนของอิมัลชัน เรียกว่า oiling off



ภาพที่ 11 การหลอมรวมตัวกัน (coalescence) ในอิมัลชัน ครีอปเลี้ยงเข้ามาไก่กันและรวมตัวกันเกิดเป็นครีอปเลี้ยงที่มีขนาดใหญ่ขึ้น ครีอปเลี้ยงจะมีจำนวนน้อยลงแต่มีขนาดใหญ่ขึ้น
ที่มา : ดัดแปลงจาก Walstra (1996) และ McClements (1999)

2.2.4.3 การแยกชั้นครีม (Creaming)

เกิดขึ้นเมื่อครีอปเลี้ยงหรือกลุ่มของครีอปเลี้ยงที่เป็นน้ำมันมีความหนาแน่นน้อยกว่าวัฏภากต่อเนื่อง จึงลอกตัวขึ้น ไปรวมตัวกับบริเวณผิวน้ำด้านบนของอิมัลชันที่อยู่ในภาชนะ (ภาพที่ 12) จนในที่สุดอาจเกิดเป็นชั้นน้ำมัน แยกตัวอยู่เหนือส่วนที่เหลือของอิมัลชัน



ภาพที่ 12 การแยกครีม (creaming) ในอิมัลชัน ครีอปเลี้ยงมีความหนาแน่นน้อยกว่าวัฏภากต่อเนื่อง จึงลอกตัวขึ้น ไปรวมตัวกับบริเวณผิวน้ำด้านบน ครีอปเลี้ยงขนาดใหญ่จะเคลื่อนที่ได้เร็วกว่า

ที่มา : ดัดแปลงจาก Walstra (1996) และ McClements (1999)

อัตราเร็วของการแยกชั้นครีม (creaming velocity) อาจคำนวณได้จากสมการของสโตกส์ (Stoke's equation) ดังต่อไปนี้

$$v = \frac{2r^2(\rho_o - \rho_i)g}{9\eta_0}$$

เมื่อ

v = อัตราเร็วในการแยกชั้นครีม

ρ_0 = ความหนาแน่นของวัตถุภาคต่อเนื่อง

ρ_1 = ความหนาแน่นของวัตถุภาคกระจายตัว (ครีอปเลิฟ)

g = ความเร่งเนื่องจากแรงโน้มถ่วงของโลก

r = รัศมีของครีอปเลิฟ

η_0 = ความหนืดของวัตถุภาคต่อเนื่อง

จากสมการของสโตกส์ จะเห็นได้ว่า

- ถ้าครีอปเลิฟยิ่งมีขนาดใหญ่ (r มาก) อัตราเร็วในการเคลื่อนที่ของครีอปเลิฟ

และอัตราเร็วของการแยกชั้นครีมจะยิ่งเร็ว (v มาก) หรือกล่าวได้ว่าครีอปเลิฟยิ่งมีขนาดเล็ก อิมัลชันยิ่งมีความคงตัวมาก กระบวนการโซโนมิจีนเซชันให้มัลชันมีครีอปเลิฟขนาดเล็กซึ่งมีความสำคัญมาก

- ถ้าวัตถุภาคต่อเนื่องยิ่งมีความหนืดสูง (η มาก) จะทำให้อัตราเร็วของการแยกชั้นครีมยิ่งขึ้น (v น้อย) การเติมสารเพิ่มความข้นหนืด (thickening agent) ในวัตถุภาคต่อเนื่องจะทำให้มัลชันมีความคงตัวมากขึ้น

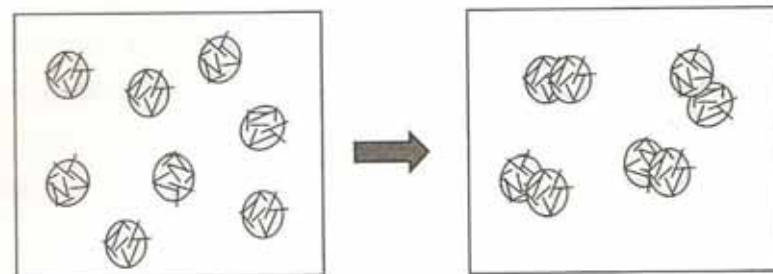
ลักษณะการแยกชั้นครีมของมัลชันจะขึ้นอยู่กับการกระจายตัวของขนาดครีอปเลิฟเมื่อเริ่มต้น ถ้าหากมีทึ้งครีอปเลิฟที่มีขนาดเล็กและขนาดใหญ่ปนกัน ครีอปเลิฟขนาดใหญ่จะเคลื่อนที่โดยขึ้นสู่ด้านบน ได้เร็วกว่า ดังนั้นหลังการแยกชั้นครีมจะมีชั้นของครีอปเลิฟที่มีขนาดเล็กลงเรื่อยๆ จากด้านบนสู่ด้านล่างของภาชนะที่บรรจุมัลชันนั้น

การเกาะหรือรวมตัวกันของครีอปเลิฟจะทำให้เกิดอนุภาคที่มีขนาดใหญ่ขึ้นในมัลชัน ทำให้กระบวนการแยกชั้นครีมเกิดเร็วขึ้น

2.2.4.4 การหลอมรวมตัวกันบางส่วน (Partial Coalescence)

เกิดขึ้นเมื่อครีอปเลิฟที่มีผลึกไขมัน เข้ามาไกลกันและเกิดการรวมตัวได้เพียงบางส่วน เนื่องจากผลึกไขมันขัดขวางไม่ให้ครีอปเลิฟเกิดการรวมตัวได้อย่างสมบูรณ์ (ภาพที่ 13) ความไม่คงตัวแบบนี้มักเกิดกับมัลชันที่มีครีอปเลิฟเป็นไขมันอ่อนตัว ซึ่งตกลงผลึกได้ง่ายที่อุณหภูมิต่ำ เช่น กะทิที่เก็บไว้ในตู้เย็น และเม็ดไขมันจะมีผลึกเกิดขึ้นบางส่วนที่อุณหภูมิต่ำ เมื่อมีการใช้แรงเฉือนในการปั่นกวนจะทำให้เม็ดไขมันเกิดการหลอมรวมตัวกันบางส่วน ทำให้มีความหนืดสูงขึ้น

การหลอมรวมตัวกันบางส่วนมีความสำคัญต่อไอศครีมและวิปครีม ซึ่งเม็ดไขมันจะเกาะจับกันเป็นร่างแหหุ้มรอบๆ ของอากาศ และยังจำเป็นต่อกระบวนการผลิตเนยสดและการเริง ซึ่งการหลอมรวมตัวกันบางส่วนจะนำไปสู่การกลับวัฏภาคน เปลี่ยนจากอิมัลชันแบบน้ำมันในน้ำเป็นอิมัลชันแบบน้ำในน้ำมัน



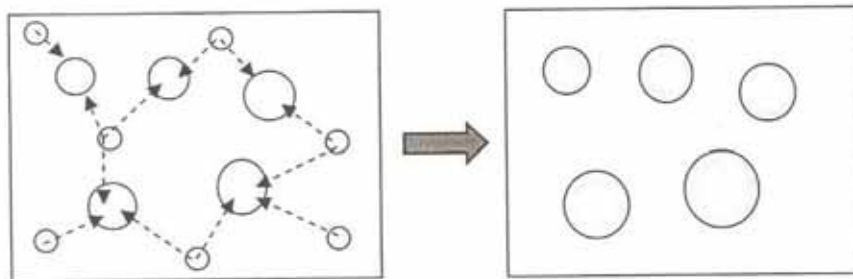
ภาพที่ 13 การหลอมรวมตัวกันบางส่วน (partial coalescence) ในอิมัลชัน เมื่อครีอปเล็ทที่มีผลึกไขมันเข้ามาใกล้กันจะเกิดการรวมตัวได้เพียงบางส่วน เนื่องจากผลึกไขมันขัดขวางไม่ให้ครีอปเล็ทเกิดการหลอมรวมตัวได้อย่างสมบูรณ์

ที่มา : ดัดแปลงจาก Walstra (1996) และ McClements (1999)

2.2.4.5 การเกิดօอสวอลด์ไรเพนนิ่ง (Oswald Ripening)

เกิดจากการเคลื่อนที่ของโนไมเลกุลในครีอปเล็ทขนาดเล็ก ผ่านวัฏภาคน ต่อเนื่องไปรวมตัวกับครีอปเล็ทที่มีขนาดใหญ่กว่า เป็นผลให้ครีอปเล็ทขนาดเล็กหายไป และครีอปเล็ทขนาดใหญ่ขยายใหญ่ยิ่งขึ้น (ภาพที่ 14) ความไม่คงดัวแบบนี้มักเกิดขึ้นกับอิมัลชันที่วัฏภาคนในครีอปเล็ทสามารถละลายในวัฏภาคน ต่อเนื่องได้บ้าง

ในอาหารส่วนใหญ่การเกิดօอสวอลด์ไรเพนนิ่งมีน้อยมาก เพราะน้ำและน้ำมันในรูปไตรกลีเซอไรด์จะละลายซึ่งกันและกัน ได้น้อยมาก แต่ถ้ามีน้ำ օอสวอลด์ไรเพนนิ่งจะมีความสำคัญมากขึ้นในอิมัลชันแบบน้ำมันในน้ำที่มีน้ำมันที่ละลายน้ำได้มากขึ้น (เช่น น้ำมันที่เป็นสารให้กลิ่นรส) หรือมีแอลกอฮอลล์อยู่ในวัฏภาคน้ำ (เช่น เครื่องดื่มแอลกอฮอลล์ที่ใส่ครีม และสารให้กลิ่นรส)

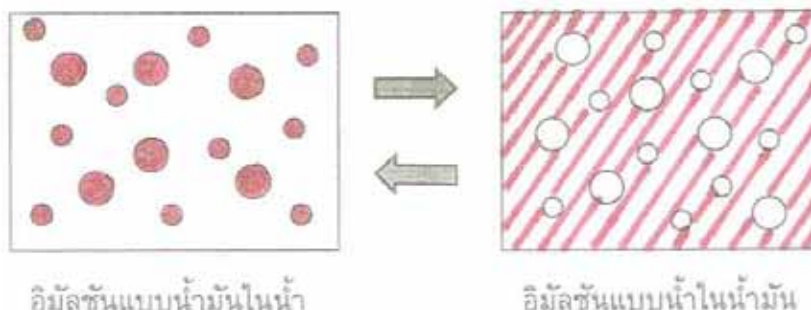


ภาพที่ 14 การเกิดอส瓦ลด์ไรเพนนิ่ง (Oswald ripening) ในอิมัลชัน โนเลกุลครึ่งปเลี้ยงขนาดเล็ก เคลื่อนที่ผ่านวัฏจักรต่อเนื่องไปรวมตัวกับครึ่งปเลี้ยงที่มีขนาดใหญ่กว่า เป็นผลให้ ครึ่งปเลี้ยงขนาดเล็กหายไป และครึ่งปเลี้ยงขนาดใหญ่ขยายใหญ่ยิ่งขึ้น

ที่มา : ดัดแปลงจาก Walstra (1996) และ McClements (1999)

2.2.4.6 การกลับวัฏจักร (Phase Inversion)

เกิดขึ้นเมื่ออิมัลชันแบบน้ำมันในน้ำเปลี่ยนเป็นอิมัลชันแบบน้ำในน้ำมัน หรือ อิมัลชันแบบน้ำในน้ำมันเปลี่ยนแปลงเป็นอิมัลชันแบบน้ำมันในน้ำ (ภาพที่ 15) โดยมีสาเหตุมาจาก การเปลี่ยนแปลงของสัดส่วนขององค์ประกอบในอิมัลชัน ชนิดและความเข้มข้นของอิมัลซิไฟเออร์ หรือ ionic strength ในอิมัลชัน หรือเกิดจากการกระบวนการเขย่าอิมัลชัน



ภาพที่ 15 การกลับวัฏจักร (phase inversion) ของอิมัลชัน

ที่มา : McClements (1999)

การกลับวัฏจักรมีความสำคัญในการผลิตเนยสดและมาการีน แต่ก็อาจทำให้ เกิดผลเสียต่อลักษณะปราภูมิ เช่น สัมผัส ความคงตัว และกลิ่นรสในผลิตภัณฑ์อาหารอื่นๆ ได้ ตารางที่ 2 แสดงถึงปัจจัยที่มีผลต่อการเกิดชั้นครีม (creaming) การเกาะกุ่มกัน (flocculation) และการหลอมรวมตัวกัน (coalescence) โดยมีหัวข้อสมบัติทางกระแสวิทยา

(rheology) เพิ่มขึ้นอีก 1 หัวข้อในตารางที่ 2 เนื่องจากมีความสัมพันธ์กันระหว่างความคงตัวของอิมัลชันและสมบัติทางกระแสวิทยาของอิมัลชัน

ตารางที่ 2 ปัจจัยทางกายภาพที่มีผลต่อความคงตัวและสมบัติทางกระแสวิทยาของอิมัลชัน (0= ไม่มี
ความสำคัญ 1= มีความสำคัญเล็กน้อย 2= มีความสำคัญปานกลาง และ 3= มีความสำคัญ
มาก)

Factor	Creaming	Flocculation	Coalescence	Rheology
Droplet size	3	2	1	1
Droplet size distribution	3	2	0	2
Droplet volume fraction	3	3	3	3
Density difference between phases	3	0	0	0
Rheology of continuous phase	3	3	2	3
Rheology of dispersed phase	0	0	0	1
Rheology of adsorbed layer	0	0	3	2
Thickness of adsorbed layer	1	2	3	2
Electrostatic interactions	1	3	2	1
Steric (polymeric) interactions	0	3	2	2
Fat crystallization	0	0	3	3
Liquid crystalline phases	1	2	2	2

ที่มา : Dickinson (1992)

2.3 การเกิดผลึกในอิมัลชัน

2.3.1 ขั้นตอนการเกิดผลึก (Crystallization)

การเกิดผลึกเป็นกระบวนการที่ของเหลวเริ่มเปลี่ยนแปลงเป็นของแข็ง ซึ่งมาจากน้ำในสารละลาย และตัวถุกละลายที่อยู่ในสารละลายก็เป็นได้ โดยทั้งสองนี้จะเกิดขึ้นและกระชาไปรوبرๆ

การเกิดผลึกจะประกอบด้วยขั้นตอนของ nucleation และ crystal growth โดย nucleation จะเป็นการเกิดผลึกที่มีขนาดเล็กๆ ส่วน crystal growth จะเป็นการขยายตัวของผลึกที่มีขนาดเล็กๆ เหล่านั้น

2.3.1.1 Nucleation

ถ้าในสารละลายปราศจากผลึกน้ำแข็งอยู่ก่อน และเมื่ออุณหภูมิลดลงจนเข้าใกล้จุดเริ่มต้นของ freezing point (อุณหภูมิที่ผลึกน้ำแข็งเลิก ๆ สามารถอยู่ในสมดุลกับเฟสที่เป็นของเหลว) ซึ่งเป็นช่วงก่อนที่จะเกิด nucleation ซึ่งจะเกิดขึ้นชั่วคราว และไม่อยู่ตัว nucleation ยังแบ่งออกเป็น 2 ชนิด คือ homogeneous และ heterogeneous ถ้าในสารละลายมีนำบิสุทธิ์อยู่มาก ๆ จะเป็นพาก homogeneous

- Homogeneous nucleation โดยมากจะเกิดที่ 0°C หรือต่ำกว่าแล็กน้อย ถ้าในตัวอย่างมีอนุภาคที่เล็กมาก ๆ

- Heterogeneous nucleation เป็นชนิดที่พบในอาหารส่วนมาก โดยจะเกิดขึ้นจาก การฟอร์มตัว โดยมีอนุภาคอื่นที่ไม่ใช่น้ำ marrow ด้วย heterogeneous nucleation เป็นสิ่งที่จำเป็นอย่างมากในการเกิด supercooling (อุณหภูมิของสารละลายลดอุณหภูมิลงต่ำกว่า freezing point แต่ยังไม่เกิดผลึกของน้ำแข็งในสารละลายนั้น ซึ่งโดยปกตินี้จะแข็งตัวที่ 0°C) เพราะอนุภาคอื่น ๆ จะเร่งให้เกิดลักษณะโครงสร้างตามที่เกิด nucleation ได้เร็วขึ้น

นอกจากนี้การลดอุณหภูมิ ยังเป็นลักษณะเฉพาะตัวที่อุณหภูมิของตัวอย่างต่างๆ ที่ nucleation เริ่มเกิดขึ้น

2.3.1.2 Crystal Growth

เป็นขั้นตอนที่ 2 ของการเกิดผลึก ไม่เหมือนกับ nucleation การเกิด crystal growth สามารถเกิดขึ้นได้ที่อุณหภูมิที่ต่ำกว่าจุดหลอมเหลว

อัตราการเกิด crystallization ของสารประกอบ จะขึ้นกับอัตราของมวล และการถ่ายเทความร้อน ระหว่างการเกิด crystallization น้ำจะเคลื่อนที่ไปส่วนที่เป็น crystal surface และโน้มเลกุลของตัวถูกละลายต้องแพร่ออกมายังผลึก เมื่ออุณหภูมิลดต่ำลงค่าความหนืดก็จะเพิ่มขึ้น

อาหารส่วนมากจะประกอบด้วย ส่วนประกอบหลายอย่าง ตัวถูกละลายเหล่านี้จะทำให้ความหนืดเพิ่มขึ้นเมื่อลดอุณหภูมิลง เมื่อเกิดผลึกน้ำแข็งจะผลักโน้มเลกุลเหล่านี้ออกตัวแล้วผลึกที่ได้จะมีขนาดโตขึ้นเรื่อยๆ อัตราการเกิดนี้ยังขึ้นกับความชื้นของตัวอย่างด้วย

การแซ่บแข็งมักจะนำมาใช้ในการป้องกันการอาหารจากการเสื่อมเสียเนื่องจากการเจริญเติบโตของจุลินทรีย์และป้องกันการเสื่อมเสียเนื่องจากปฏิกิริยาทางเคมี เช่น lipid oxidation (Fellows, 2000) มีอาหารประเภทอิมัลชันมากน้อยที่ต้องผ่านกระบวนการแซ่บแข็ง-ละลายก่อนการบริโภค เช่น อาหารแซ่บแข็งและเครื่องดื่ม

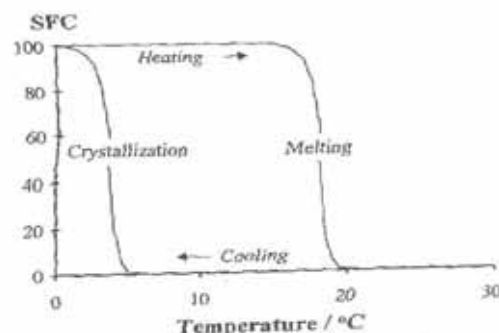
การวางแผนการผลิตอาหารประเภทอิมัลชันเพื่อให้มีความคงทนต่อการแช่แข็ง-ละลายจะขึ้นอยู่กับกลไกพื้นฐานทางเคมีกายภาพที่เกิดขึ้นตลอดช่วงการแช่แข็ง-ละลายของอิมัลชัน กลไกทางเคมีกายภาพเหล่านี้ได้แก่ การเกิดผลึกไขมัน (fat crystallization) การฟอร์มตัวของน้ำแข็ง (ice formation) การเกิดทรานซิชันที่ผิวสัมผัสร่วม (interfacial phase transitions) และการเปลี่ยนแปลง conformation ของ biopolymer (biopolymer conformational changes)

2.3.2 การเกิดผลึกไขมัน (Fat Crystallization)

ในบางครั้งส่วนของไขมันในอาหารประเภทอิมัลชันจะเกิดผลึกทึบหนาหรือเพียงบางส่วนในช่วงการผลิต การเก็บรักษาและการนำมาใช้งาน ซึ่งจะส่งผลอย่างมากต่อความคงตัวของผลิตภัณฑ์ ลักษณะทางกายภาพของครีอปเล:left>ในอิมัลชันจะมีบทบาทสำคัญต่อการศึกษาด้านสมบัติทางเคมีกายภาพ เช่น ความคงตัว สมบัติทางกระแสไฟฟ้า และลักษณะประกายรวมถึงการกระจายตัวและปฏิกิริยาของส่วนประกอบต่างๆ

2.3.2.1 Solid Fat Content

การเกิดผลึกไขมันเป็นลักษณะหนึ่งที่สำคัญในอิมัลชัน ปริมาณไขมันส่วนที่เป็นของแข็ง (SFC) เป็นส่วนของไขมันซึ่งถูกเปลี่ยนเป็นผลึกทึบหนา สามารถวัดได้โดยใช้เทคนิคต่างๆ เช่น การวัดความหนาแน่น, differential scanning calorimetry (DSC), nuclear magnetic resonance, ultrasonic velocity measurements และ electron spin resonance (McClements, 1999; Dickinson and McClements, 1995) emulsified oil มักจะเย็นตัวลงที่อุณหภูมิต่ำกว่าปกติก่อนที่จะเกิดผลึก ตัวอย่างเช่น ในช่วงการทำให้เย็น น้ำมันจะถูกเปลี่ยนเป็นผลึกที่ชุดที่ต่ำกว่าจุดหลอมเหลวทางเทอร์โมไดนามิกส์ (ภาพที่ 16) ในขณะที่ bulk oil phase จะเกิดผลึกที่อุณหภูมิที่ต่ำกว่า supercooling เล็กน้อย



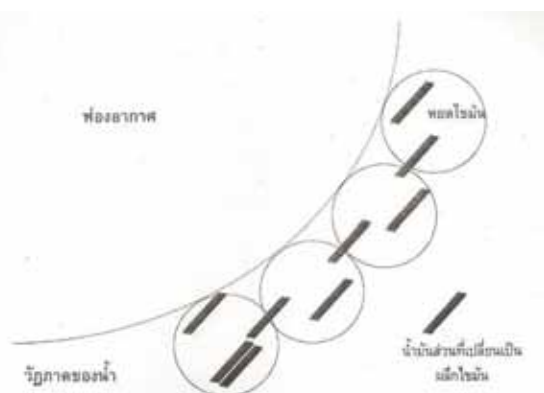
ภาพที่ 16 การเกิด supercooling ในอิมัลชันแบบน้ำมันในน้ำหลังจากการให้ความร้อนและทำให้เย็น
ที่มา : Dickinson and McClements (1995)

2.3.2.2 Nucleation

จากที่กล่าวมาแล้วว่าการเกิดผลึกสามารถแบ่งได้เป็น 2 ขั้นตอน คือ nucleation และ crystal growth ก่อนที่จะเกิด nucleation ตัว mother phase จะเกิด supercooling ทำให้เกิดแรงขับเคลื่อนทางเทอร์โน่ในนิวคลีอิกส์สำหรับการเกิดผลึก หลังจากนั้นจะเกิดการก่อตัวของ nuclei เกิดการพัฒนาและการโตของผลึก การเกิด nucleation ในครึ่องปเลี้ยงอิมัลชันเป็นได้ทั้ง heterogeneous และ homogeneous (Vanapalli, Palanuwech and Coupland, 2000; Martin, Herrera and Hartel, 2001)

2.3.2.3 การหลอมรวมตัวบางส่วน (Partial Coalescence)

เมื่ออิมัลชันแบบน้ำมันในน้ำเกิดการเย็นตัวลงที่อุณหภูมิที่วัฏภาคไขมันบางส่วนเริ่มเกิดผลึก (แต่วัฏภาคน้ำยังคงเป็นของเหลว) จะทำให้เกิดปรากฏการณ์ที่เรียกว่า การหลอมรวมตัวบางส่วน ซึ่งเป็นการทำให้อนุภาคในวัฏภาคที่กระจายตัวมีการเกาะกลุ่มและการหลอมรวมตัวดังแสดงในภาพที่ 17 ตัวอย่างเช่น การเปลี่ยนสถานะของน้ำมันในวัฏภาคของไขมันเป็นของแข็งเมื่อลดอุณหภูมิ ซึ่งจะยังเห็นรูปร่างของเม็ดไขมันเป็นอนุภาคชัดเจน การลดอุณหภูมิจะทำให้น้ำมันบางส่วนเปลี่ยนสถานะเป็นของแข็ง เชื่อมต่อเม็ดไขมันเข้าด้วยกัน โครงสร้างของเม็ดไขมันที่เกิดการหลอมรวมตัวบางส่วนนี้ นิยมทำให้เกิดในผลิตภัณฑ์ที่มีการตีอัดอากาศ เช่น ไอศกรีมและวิปครีม เพื่อให้โครงสร้างของเม็ดไขมันอืดฟองอากาศໄ。



ภาพที่ 17 การหลอมรวมตัวบางส่วนของเม็ดไขมัน

ที่มา : ประวัติ ทรงสุประภาส (2545)

ปัจจัยที่มีผลต่อการเกิดการหลอมรวมตัวกันบางส่วนได้แก่ solid fat content ความหนาของพื้นที่ผิวสัมผัสร่วมของเมมเบรนที่หุ้มครึ่อปเล็ทขนาดของครึ่อปเล็ท และแรงที่ใช้ในการการตีกวน (ประชัต ทรงสุประภาส, 2545)

2.3.2.4 การเกิดผลึกน้ำ (Water Crystallization)

polymorphism และปริมาณการเกิดผลึกของไขมันและพฤติกรรมของวัฏภากน้ำมีผลต่อความคงตัวทางเคมีและการภาพของอิมัลชันตลอดช่วงการแช่แข็งและการเก็บรักษา (Rao and Hartel, 1998) น้ำเริ่มแข็งตัวที่อุณหภูมิต่ำกว่า 0°C เนื่องจากผลของ supercooling และการลดลงของจุดแข็ง การแช่แข็งทำให้ส่วนที่เป็นของแข็งมีความเข้มข้นเพิ่มขึ้นและไปลดสมดุลของอุณหภูมิแข็งที่มีในส่วนของน้ำที่ไม่แข็งตัว (Pongsawatmanit and Miyawaki, 1993) ดังนั้นอาหารแช่แข็งจะประกอบด้วยส่วนของน้ำแข็งและส่วนที่ยังไม่แข็งตัวและ freeze-concentrate phase (Rao and Hartel, 1998) เมื่อแช่แข็งอิมัลชัน เม็ดไขมันจะพัฒนาความเข้มข้นขึ้นเข้าสู่ freeze-concentrate phase ทำให้มีไขมันเคลื่อนที่เข้ามาใกล้ชิดกับเม็ดไขมันที่อยู่ข้างเคียงในช่องว่างของส่วนของน้ำที่ยังไม่แข็งตัวระหว่างผลึกน้ำแข็ง ความเข้มข้นที่เพิ่มขึ้นของเม็ดไขมันในช่องว่างแบบนี้ทำให้เกิดการรวมมวล การเกาะกลุ่ม และการหลอมรวมตัว ตลอดช่วงการแช่แข็ง-ละลาย (Komatsu, Okada and Handa, 1997; Saito et al., 1999)

เมื่ออิมัลชันแบบน้ำมันในน้ำเย็นตัวลงถึงอุณหภูมิที่เกิดผลึกน้ำ มีกระบวนการทางเคมีภายในต่างๆ มากมายที่จะสนับสนุนให้เกิดความไม่คงตัวของอิมัลชัน อย่างแรก เมื่อเกิดการฟอร์มตัวของผลึกน้ำแข็งในส่วนของวัฏภากน้ำทำให้มีค่าน้ำมันเคลื่อนที่เข้ามาใกล้ชิดกัน (Saito et al., 1999) อย่างที่สอง ปริมาณน้ำอิสระมิไม่เพียงพอที่จะเกิดการขยายตัวออกอย่างเต็มที่ที่พื้นผิวของครึ่อปเล็ท ทำให้เพิ่มปฏิกิริยาพันธะระหว่างครึ่อปเล็ทกับครึ่อปเล็ท (Komatsu et al., 1997; Strauss and Hauser, 1986) อย่างที่สาม ผลึกน้ำแข็งซักนำให้เกิดการเพิ่มขึ้นของ ionic strength ของ freeze-concentrated ที่ไม่แข็งตัวในวัฏภากน้ำที่อยู่ล้อมรอบครึ่อปเล็ทอิมัลชัน ทำให้เกิด electrostatic repulsion ระหว่างครึ่อปเล็ท (Komatsu et al., 1997; Saito et al., 1999) อย่างที่สี่ การฟอร์มตัวของผลึกน้ำแข็งในช่วงการแช่แข็งจะไปทึบทะลุเข้าสู่เม็ดไขมันและรบกวนผิวสัมผัสร่วมของเมมเบรน ทำให้มีแนวโน้มที่จะเกิดการหลอมรวมตัวเมื่อเกิดการละลาย อย่างที่ห้า อิมัลซิไฟเออร์ลูคคูดซับที่พื้นผิวของผลึกน้ำแข็ง จึงไปลดจำนวนที่จะไปหุ้มครึ่อปเล็ทของอิมัลชัน (Hillgren, Lindgren and Alden, 2000) และสุดท้าย อิมัลซิไฟเออร์จะสูญเสียคุณสมบัติของมันเมื่ออุณหภูมิลดลงต่ำกว่าระดับที่สามารถรับได้ เช่น โปรดีนก้อนกลมจะเกิดการเลี้ยงสภาพ เกิดการเปลี่ยนสภาพความยืดหยุ่นของ surfactants โอมแคลกูลาร์ (Carvajal, MacDonald and Lanier, 1999)

2.4 ส่วนผสมต่างๆในอิมัลชัน

ส่วนผสมต่างๆ ได้แก่ น้ำตาล เกลือ และอิมัลซิไฟเออร์ในอาหารประเภทอิมัลชันจะส่งผลทั้งทางด้านกายภาพและเคมีต่ออัตราณะโดยรวมของอิมัลชัน

2.4.1 น้ำตาล

น้ำตาลนิยมใช้ในอาหารเพื่อทำหน้าที่เป็น cryoprotectants ซึ่งมีผลต่อความเข้มข้นในการแข็งแข็งและสามารถปรับปรุงรูปแบบและโครงสร้างของการเกิดผลึก

ในอิมัลชันที่ทำให้คงตัวด้วยโปรตีนก้อนกลม น้ำตาลจะช่วยในด้านความคงตัวและคุณสมบัติของอิมัลชัน โดยจะป้องกันโปรตีนก้อนกลมตลอดช่วงการแข็งแข็ง ด้วยการไปจับกันกลุ่มของโปรตีนที่พื้นผิว หรือเปลี่ยนแปลงโครงสร้างและสมบัติทางเคมีกายภาพของน้ำ (Ebel, Eisenberg and Ghilando, 2000; Kim, Decker and McClements, 2003) น้ำตาลสามารถช่วยป้องกันการเปลี่ยนรูปแบบและปฏิสัมพันธ์ของโปรตีนกับหมู่ฟองก์ชันต่างๆ ได้ 2 วิธีคือ อย่างแรก น้ำตาลจะไปเพิ่มอุณหภูมิที่จะทำให้โปรตีนเกิดการเสียสภาพ (Carvajai et al., 1999) ซึ่งโครงสร้างสามารถเพิ่ม energy barrier ระหว่างโปรตีนธรรมชาติและโปรตีนที่เสียสภาพ และขับยึดการเข้ามาใกล้ชิดกันของโปรตีนที่ผิวสัมผัสร่วมในส่วนของสารละลาย (Lee and Timasheff, 1981) ดังนั้นการเติมซึ่งโครงสร้างในอิมัลชันจะไปขัดขวางการเคลี่ยวยของโปรตีนเนื่องจากการแข็งแข็ง อย่างที่สองการเพิ่มความเข้มข้นของซึ่งโครงสร้างทำให้อุณหภูมิของคลาสทรานซิชันเพิ่มขึ้น ถ้าโปรตีนก้อนกลมถูกทำให้เย็นตัวลงที่อุณหภูมิต่ำกว่าอุณหภูมิคลาสทรานซิชันก่อนที่จะเกิดการเคลี่ยวย ทำให้โปรตีนเกิดการคลายเคลียวยช้าลง (McClements, 2002)

การเติมน้ำตาลจะไปทำให้ β -lactoglobulin และโปรตีนก้อนกลมชนิดอื่นๆ ทนต่อความร้อนได้มากขึ้น ทำให้การเสียสภาพเกิดช้าลง (Lee and Timasheff, 1981) การเติมซึ่งโครงสร้างไปเพิ่มอิทธิพลต่ออุณหภูมิที่ทำให้เกิดการเคลี่ยวย และเกิดการรวมมวลของโปรตีน

น้ำจะมีผลต่อโครงสร้างขององค์ประกอบในอาหารผ่านผลของการเป็นพลาสติไซเซอร์ ทำให้เพิ่มความสามารถในการเคลื่อนที่ของโมเลกุล (Le Meste , Simatos and Gervais, 1995) เมื่อมีการเติมซึ่งโครงสร้างในน้ำ โมเลกุลน้ำจะไม่จับกัน โมเลกุลซึ่งโครงสร้างแน่นหนา แต่จะทำให้วัฏภาพต่อเนื่องเกิดการแยกตัวและทำให้ส่วนที่เหลือเข้ามาแนบชิดกัน ดังนั้นจึงเกิดการเคลื่อนย้ายของโมเลกุลน้ำและการฟอร์มตัวของโมเลกุลซึ่งโครงสร้าง (Hartel, 2001) เมื่อปริมาณของซึ่งโครงสร้างเพิ่มขึ้นจะไปทำให้ free volume ที่ทำให้เกิดการเคลื่อนที่ลดต่ำลง (Le Meste et al., 1995) การเพิ่มขึ้นของปริมาณซึ่งโครงสร้างในอิมัลชันจะทำให้ส่วนที่ไม่แข็งตัวในชั้นน้ำเพิ่มตลอดช่วงการแข็งแข็ง (Walstra, 2003) จึงไปลดผลกระทบของ freeze concentration ในอิมัลชัน

Ghosh, Cramp and Coupland (2006) ได้ศึกษาผลของน้ำตาลต่างๆ 6 ชนิด (0–3%wt ชูโกรส กลูโคส ฟรุคโตส มอลโตส ทรีฮาโลส และ corn syrup solids) ต่อความคงตัวในการแข็ง-แข็ง-ละลายของ 20% n-hexadecane emulsions โดยใช้ไข่เดี่ยมเคชิเนทเป็นอิมัลซิไฟเออร์ พบว่าที่จำนวนไม่เท่ากัน ฟรุคโตสจะให้ประสิทธิภาพต่ำที่สุดต่อความคงตัวของอิมัลชัน ในขณะที่ corn syrup solids จะให้ประสิทธิภาพสูงที่สุด

Thanasukarn, Pongsawatmanit and McClements (2004a) ได้ทำการศึกษาผลของการเติมน้ำตาลชูโกรสความเข้มข้น 0-20%wt ต่อความคงตัวในการแข็ง-แข็ง-ละลายของ 20%wt hydrogenated palm oil emulsions โดยใช้ whey protein isolate หรือ WPI เป็นอิมัลซิไฟเออร์ พบว่า เมื่อความเข้มข้นของชูโกรสเพิ่มขึ้น จะทำให้ความคงตัวของอิมัลชันเพิ่มขึ้น

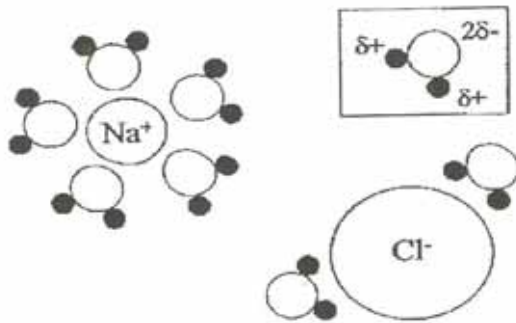
Thanasukarn et al. (2006) ได้ศึกษาผลของการเติมน้ำตาลชูโกรสความเข้มข้น 0-40%wt ต่อความคงตัวในการแข็ง-แข็ง-ละลายของ 20%wt hydrogenated palm oil emulsions โดยใช้ Tween 20 เป็นอิมัลซิไฟเออร์ พบว่าการเติมน้ำตาลชูโกรส (มากถึง 40%wt) ลงในอิมัลชันที่ใช้ Tween 20 เป็นอิมัลซิไฟเออร์ ก็ยังไม่สามารถช่วยปรับปรุงความคงตัวต่อการแข็ง-แข็ง-ละลายได้เมื่อเทียบกับการเติมน้ำตาลชูโกรสลงในอิมัลชันที่ใช้ WPI เป็นอิมัลซิไฟเออร์

2.4.2 เกลือ (NaCl)

เกลือ (NaCl) เป็นส่วนผสมที่นิยมใช้ในอาหาร เกลือมีผลต่อความคงตัวของอิมัลชันผ่านกลไกต่างๆ เช่น electrostatic screening, ion binding, ion bridging และการเปลี่ยนโครงสร้างของน้ำ (McClements, 1999)

โครงสร้างและปฏิสัมพันธ์ระหว่างโมเลกุln้ำกับการไกล์ชิดกันของไออ่อน มีผลต่อคุณสมบัติทางเคมีภysisของน้ำ โมเลกุln้ำที่มีไออ่อนอยู่มีแนวโน้มที่จะปรับตัวโดยหันส่วนที่มีประจุตรงข้ามเข้าหาไออ่อนนั้น (ภาพที่ 18) เกิดการจับตัวกันของน้ำกับไออ่อน ทำให้เกลือที่ได้ชาลง ลดแรงดึงดูด ความหนาแน่นเพิ่มขึ้น จุดเยือกแข็งลดต่ำลง และจุดเดือดเพิ่มขึ้นสูงกว่าน้ำ การเปลี่ยนแปลงโครงสร้างของน้ำจะไปมีผลต่อปฏิสัมพันธ์ของ hydrophobic strength ระหว่างครีอปเลี้ยงอิมัลชัน (McClements, 1999) ปฏิสัมพันธ์ไฮโดรฟิบิกมีลักษณะเป็นแรงดึงดูดที่แข็งแรง เกิดระหว่างสารไม่มีชาร์จกับจายตัวอยู่ในน้ำ โดยมีสาเหตุมาจากการสามารถของโมเลกุln้ำที่สร้างพันธะไฮdroเจนอันแข็งแรงกับโมเลกุln้ำที่อยู่ไกล์เคียง ในขณะที่สารไม่มีชาร์จพันธะแวนเดอวัลส์ที่ค่อนข้างอ่อนแอบร่วงกัน ระบบจะไม่คงตัวเชิงเทอร์โมไดนามิก และพยากรณ์ที่จะลดการสัมผัสของน้ำกับสารไม่มีชาร์จ โดยเกิดเป็นแรงขับดันให้สารไม่มีชาร์จดูด รวมตัวกัน และแยกตัวออกจากน้ำในที่สุด (Evan and Wennerstrom, 1994) ทั้งนี้ไม่ใช่เพรำสารไม่มีชาร์จเกาะจับกัน ได้ดี แต่

เป็น เพราะ โไมเลกุล นำ เกาเจ จับ กัน นำ ด้วย กัน เอง ได้ ดี เป็น สำคัญ (เมื่อ อน กับ ว่า โไมเลกุล นำ ได้ บีบ ให้ สาร ไม่มี ช่วง เข้า ด้วย กัน)



ภาพที่ 18 โครงสร้างของ โไมเลกุล นำ ที่ ล้อมรอบ ไอดอกอน ใน วัตถุ ภาชนะ
ที่มา : McClements (1999)

ความคงตัวต่อการรวมมวลของ โปรตีน ที่ ไป เคลือบ ครึ่ง ปเลี้ยง อิมัลชัน ได้ จาก การคำนวณ droplet-droplet interaction potential ($w(h)$) ในรูป ฟังก์ชัน ของ ผิว สัม พัสดุ ของ ครึ่ง ปเลี้ยง ต่อ การแยก ตัว ที่ ผิว สัม พัสดุ ปฏิกิริยา พันธ์ โดย รวม ระหว่าง ครึ่ง ปเลี้ยง อิมัลชัน ทั้ง 2 ที่ ทำ ให้ คง ตัว ด้วย โปรตีน ก้อน กลม สามารถ คำนวณ ได้ จาก ผล รวม ของ van der Waals (w_{VDV}), electrostatic (w_E), steric (w_S) และ hydrophobic interaction (w_H)

$$w(h) = w_{VDV}(h) + w_E(h) + w_S(h) + w_H(h)$$

ที่ ionic strengths สูงๆ แรง ดึง ดูด แวนเดอร์ วัลส์ สัม พัสดุ ต่อ ระบบ มาก กว่า แรง ผลัก แรง ระหว่าง อนุ ภาค ของ คอล อยด์ ที่ มี ประจุ หมุ่น กัน (electrostatic repulsion) ดัง นั้น energy barrier จึง ไม่ ปรากฏ หรือ ไม่ รายงาน นา พอ ที่ จะ ป้อง กัน ครึ่ง ปเลี้ยง จา ก การ ตก ลง ไป สู่ primary minimum ภาย ใต้ สภาวะ นี้ ครึ่ง ปเลี้ยง จะ เคลื่อน ที่ เข้า มา ใกล้ ชิด กัน สัม พัสดุ ให้ เกิด การ เกาะ กลุ่ม หรือ รวม ตัว กัน (Kim et al., 2002; Demetriades, Coupland and McClements, 1997)

การ เกาะ กลุ่ม กัน ของ ครึ่ง ปเลี้ยง เป็น ลักษณะ ที่ ไม่ เป็น ที่ ต้อง การ ใน อาหาร ประ ภ อิมัลชัน ส่วน มาก เพระ จำ นำ ไป สู่ การ เพิ่ม ขึ้น ของ การ แยก ชั้น ครีม และ ควา มน หนืด ของ อิมัลชัน (McClements, 1999; Demetriades et al., 1997) Kim et al. (2002) ได้ ทำ การ ศึกษา ถึง อิทธิพล ของ การ เสื่อม สภาพ ของ โปรตีน ก้อน กลม หลัง จา ก ถูก ดูด ซึบ เข้า ถู รึ ที่ ผิว ของ ครึ่ง ปเลี้ยง ไ อ โ ด ค ร า ร บ อน ต่อ การ เกาะ กลุ่ม กัน ใน อิมัลชัน แบบ น้ำ มัน ใน น้ำ พน ว่า โปรตีน ก้อน กลม จะ ไม่ เกิด การ คลาย ตัว ที่ ผิว สัม พัสดุ ร่วม

ของครีอปเล็ท ซึ่งมีการเพิ่มเข้มข้นของแรงดึงดูดของ hydrophobic และเกิดการฟอร์มตัวของพันธะไคซัลไฟฟาระหว่างครีอปเล็ท ในสภาวะที่ไม่มีเกลือ electrostatic repulsion ระหว่างครีอปเล็ทจะมีเพียงพอที่จะป้องกันการเกาะกลุ่มกัน แต่ในสภาวะที่มีการเติมเกลือ ปฏิกิริยาพันธะระหว่างแรงดึงดูดจะมีมากกว่า และทำให้เกิดการเกาะกลุ่มกัน

Thanasukarn et al. (2004a) ได้ศึกษาผลของการเติมเกลือ (NaCl) ความเข้มข้น 0 และ 150 mmol/kg ต่อความคงตัวในการแช่แข็ง-ละลายของ 20%wt hydrogenated palm oil emulsions โดยใช้ WPI เป็นอิมัลชันไฟฟ้อร์ พนว่าเมื่อมีการเติมเกลือลงในอิมัลชันจะทำให้ความคงตัวของอิมัลชันลดลง

เช่นเดียวกับผลงานวิจัยของ Thanasukarn et al. (2006) ที่ศึกษาผลของการเติมเกลือ (NaCl) ความเข้มข้น 0 และ 150 mmol/kg ต่อความคงตัวในการแช่แข็ง-ละลายของ 20%wt hydrogenated palm oil emulsions โดยใช้ Tween 20 เป็นอิมัลชันไฟฟ้อร์ พนว่าเมื่อมีการเติมเกลือลงในอิมัลชันจะทำให้ความคงตัวของอิมัลชันลดลง และพบว่าการเติมเกลือลงในอิมัลชันที่ใช้ WPI เป็นอิมัลชันไฟฟ้อร์จะทำให้อิมัลชันมีความคงตัวต่อการแช่แข็ง-ละลายมากกว่าใช้ Tween 20 เป็นอิมัลชันไฟฟ้อร์

2.4.3 อิมัลชันไฟฟ้อร์

2.4.3.1 ชนิดของอิมัลชันไฟฟ้อร์

อิมัลชันไฟฟ้อร์สามารถเป็นได้ทั้ง biopolymer (เช่น โปรตีน) หรืออิมัลชันไฟฟ้อร์ที่มีโมเลกุลขนาดเล็ก (เช่น Tween) สารอิมัลชันไฟฟ้อร์ที่มีโมเลกุลขนาดเล็กและโปรตีน สามารถทำหน้าที่ลดแรงดึงดูดและรักษาขนาดของเม็ด ไขมันให้มีขนาดเล็กโดยที่ความหนืดของวัสดุภาคของน้ำไม่สูงมากนัก ในขณะที่การเติมสาร โพลีแซ็คคาไรด์ เช่น เมทิลเซลลูโลส (methyl cellulose) หรือไฮดรอกซิโพร์พีโอลิเมทิลเซลลูโลส (hydroxypropylmethylcellulose) มีประสิทธิภาพต่ำในการลดขนาดของเม็ด ไขมัน แต่ช่วยรักษาความคงตัวของอิมัลชัน โดยการเพิ่มความหนืด

แม้ว่าโปรตีนจะไม่สามารถลดแรงดึงดูดผิวได้มากเท่ากับสารอิมัลชันไฟฟ้อร์ที่มีขนาดเล็ก แต่โปรตีนจะมีบทบาทสำคัญในการรักษาความคงตัวของอิมัลชันในระยะยาวโดยโมเลกุลหรือนุภาคที่ผิวร่วม การคุณภาพของโปรตีนที่ผิวร่วมระหว่างน้ำมันกับน้ำมันเกิดขึ้นเนื่องจาก การคลายเกลียวหรือการเสียสภาพของโปรตีนในระหว่างกระบวนการผลิต เช่น การให้แรงเฉือนในระหว่างการโอมิจิในชั้นทำให้โปรตีนส่วนที่กระจายตัวในน้ำมันได้ดี หันเข้าหาพื้นผิวของไขมันในขณะที่ส่วนที่กระจายตัวในน้ำได้ดี หันเข้าหาวัสดุภาคของน้ำ ดังนั้นเม็ด ไขมันที่ถูกกล้อมรอบด้วยโมเลกุลของโปรตีนจะกระจายตัวอยู่ในวัสดุภาคของน้ำได้ แม้ว่าการเกิดอิมัลชันจะเป็นปรากฏการณ์

ที่ไม่มีเสถียรภาพทางเเทอร์โมไคนามิกส์ ความคงตัวของอิมัลชันหรือเสถียรภาพของระบบ colloidal เกิดขึ้น เพราะ โนมเลกุล โปรตีนทำหน้าที่กีดขวางไม่ให้มีดักไขมันรวมตัวกัน โปรตีนที่จะมีคุณสมบัติเป็นอิมัลซิไฟเออร์ที่ดีจะต้องคลายเกลี่ยวได้ง่ายที่ผิวรวมระหว่างน้ำมันกับน้ำ การที่โปรตีนจะคลายเกลี่ยวได้มากน้อยเพียงใดจะขึ้นอยู่กับความเข้มข้นของ โปรตีนที่มีอยู่ในระบบ ที่ผิวของเม็ดไขมัน ระยะเวลาที่ โปรตีนสัมผัสกับผิวรวมระหว่างน้ำมันกับน้ำ และ โครงสร้างระดับโนมเลกุลของ โปรตีนก่อนการคุณดูดซับที่ผิวรวมระหว่างน้ำมันกับน้ำ (Dickinson, 1993)

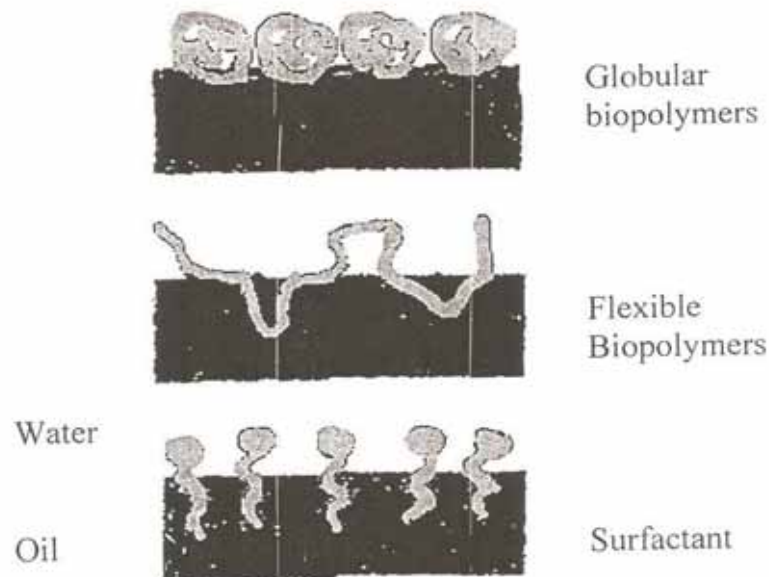
วัตถุคุณที่ใช้ในการปรุงปãoอาหารหลายชนิดเป็นแหล่งที่ดีของ โปรตีน สารพสมอาหารที่นิยมใช้ในระดับอุตสาหกรรมจะเป็น โปรตีนนม ในรูปของหางนมผงและเคชีน โครงสร้างระดับโนมเลกุลของเคชีนและเคชีนในหางนมจะยังอยู่ในรูปของเคชีน ไม่เซลล์ ซึ่งเป็น โครงสร้างขนาดใหญ่ ไม่ละลายน้ำ แต่อยู่ในรูปของ colloidal ที่กระจายตัวในน้ำ ในขณะที่เคชีนในรูปของเกลือโซเดียมหรือเกลือโพแทสเซียมจะละลายน้ำได้ และสูญเสีย โครงสร้างของ ไม่เซลล์ ไปในระหว่างกระบวนการผลิตเคชีน ดังนั้น ประสิทธิภาพของเคชีนและเคชีนในการเป็นสารอิมัลซิไฟเออร์ จึงแตกต่างกัน รวมถึงความคงทนต่อกรด อุณหภูมิ แรงดึง และ ไออ่อน โปรตีนเวีย เป็น โปรตีนนมอิกชนิดหนึ่งที่มีการใช้ในอุตสาหกรรมอาหารมากขึ้น เนื่องจากมีความคงตัวต่อความเป็นกรด-ด่าง ในช่วงกว้าง เมื่อเปรียบเทียบกับเคชีน และเคชีน แต่จะตกลงกันหรือเกิดเป็นเจล ได้ง่ายเมื่อได้รับความร้อน หรือเมื่อสารละลายมีความเข้มข้นของ ไออ่อนสูง จึงนิยมใช้กับผลิตภัณฑ์ที่ต้องการคุณสมบัติในการเกิดเจลและการเกิดฟองมากกว่าในผลิตภัณฑ์อิมัลชัน伟大 (ประนิัตร ทรงสุประภาส, 2545)

2.4.3.2 รูปแบบของอิมัลซิไฟเออร์ที่ผิวสัมผัสร่วม

รูปแบบและการปรับตัวของ โนมเลกุล ที่ผิวสัมผัสร่วม เกิดจากการพยากรณ์ที่จะลด free energy ในระบบลง (Evans and Wennerstrom, 1994) ซึ่งเป็นปัจจัยที่มีอิทธิพลต่อสมบัติทางเคมีกายภาพโดยรวมของอาหารประเทอิมัลชัน (McClements, 1999) surfactants โนมเลกุลเล็กมีแนวโน้มที่จะหันส่วนหัวที่มีชื่อเข้าหาวัตถุกากน้ำ และหันส่วนหางที่เป็น ไอโอดราเวอนเข้าสู่วัตถุกากน้ำมัน (ภาพที่ 19) และจะถูกดูดซับที่ผิวสัมผัสร่วมระหว่างน้ำและน้ำมัน ได้รวดเร็วกว่า biopolymer

รูปแบบของ biopolymer ที่บริเวณผิวสัมผัสร่วม และคุณสมบัติทางเคมีกายภาพของการเกิดเมมเบรนจะขึ้นอยู่กับ โครงสร้างของ โนมเลกุล และการเกิดปฏิกิริยาพันธ์ การหลอมรวมตัวของอิมัลชันขึ้นอยู่กับส่วนที่ไม่สามารถคลายเกลี่ยวได้ และปฏิกิริยาพันธ์ของ โนมเลกุล โปรตีนที่ผิวสัมผัสนของครีอปเล็ท หลังจากถูกดูดซับที่ผิวสัมผัสร่วม โปรตีนที่เป็น random-coil จะมีความ

ยึดหยุ่นและสามารถจัดเรียงโครงสร้างได้อย่างรวดเร็ว ในขณะที่โปรตีนก้อนกลมจะแข็ง ไม่มีความยึดหยุ่น ทำให้การจัดเรียงตัวเป็นไปอย่างช้าๆ (Dickinson, 1992; McClements, 1999)



ภาพที่ 19 การปรับตัวและรูปแบบของโมเลกุลที่ผิวสัมผัสร่วม
ที่มา : McClements (1999)

2.4.3.3 ผลของอิมัลซิไฟเออร์ต่อการเกิดผลึกในอิมัลชัน

ชนิดของอิมัลซิไฟเออร์มีผลต่อลักษณะของผลึกในอิมัลชัน อุณหภูมิที่ทำให้ครื้อปเลี้ยงเกิดเป็นผลึกขึ้นอยู่กับชนิดของอิมัลซิไฟเออร์ที่ใช้ทำให้ครื้อปเลี้ยงมีความคงตัวถ้าส่วนของ hydrophobic ของอิมัลชันมีลักษณะคล้ายกับโครงสร้างของน้ำมันจะทำให้อัตราการเกิด nucleation ของผลึกไขมันเพิ่มขึ้น (Dickinson, 1995) ครื้อปเลี้ยงที่มีโมเลกุลเล็กจะมีอัตราการเกิดช้ากว่าครื้อปเลี้ยงที่มีโมเลกุลใหญ่ ขนาดของครื้อปเลี้ยงในอิมัลชันและชนิดของ surfactants มีผลอย่างมากต่อการเกิดผลึกมากกว่าการหลอมเหลว

สมบัติทางเคมีกายภาพของอิมัลชันที่ผิวสัมผัสร่วมของเม็ดน้ำมันจะส่งผลสำคัญต่อความคงตัวและสมบัติทางกายภาพของอิมัลชันที่เกิดการหลอมรวมตัวบางส่วน อิมัลซิไฟเออร์ที่มีความหนาและให้ฟิล์มที่มีความยึดหยุ่นที่ผิวสัมผัสร่วมของน้ำมันกับน้ำจะสามารถป้องกันการทิ่มแทงของผลึกไขมันและทำให้อิมัลชันมีความคงตัวได้มากกว่า อัตราของการหลอมรวมตัวกันบางส่วนสำหรับครื้อปเลี้ยงที่ทำให้คงตัวด้วยโปรตีนจะน้อยกว่าเมื่อทำให้คงตัวด้วย surfactants โมเลกุลเล็ก

Cramp et al. (2004) ได้ศึกษาผลของการใช้อิมัลซิไฟเยอร์ชนิดต่างๆ ได้แก่ 2%wt Tween 20, 2%wt SDS, 2%wt WPI และ 2%wt โซเดียม酇ีนท์ ต่อความคงตัวในการแข็ง-แข็ง-ละลายของ 40%wt hexadecane emulsions พบว่าอิมัลซิไฟเยอร์ที่เป็นโปรตีน (โซเดียม酇ีนท์, WPI) จะทำให้อิมัลชันมีความคงตัวได้ดีกว่า surfactants โมเลกุลเล็ก (Tween 20, SDS)

Thanasukarn et al. (2004b) ได้ศึกษาผลของการใช้อิมัลซิไฟเยอร์ชนิดต่างๆ ได้แก่ 2%wt Tween 20, 1%wt เคเชิน และ 1%wt WPI ต่อความคงตัวในการแข็ง-แข็ง-ละลายของ 20%wt hydrogenated palm oil emulsions พบว่าอิมัลชันที่ใช้ WPI เป็นอิมัลซิไฟเยอร์จะมีความคงตัวต่อการแข็ง-แข็ง-ละลายมากกว่าใช้ Tween 20 และเคเชินเป็นอิมัลซิไฟเยอร์

Tangsuphoom and Coupland (2009) ได้ศึกษาผลของการใช้อิมัลซิไฟเยอร์ชนิดต่างๆ ได้แก่ 1%wt เคเชิน, 1%wt WPI, 1%wt SDS และ 1%wt Tween 20 ต่อความคงตัวในการแข็ง-แข็ง-ละลายของกะทิที่มีไขมัน 10%wt พบว่าอิมัลซิไฟเยอร์ที่เป็นโปรตีน (เคเชิน, WPI) จะทำให้อิมัลชันมีความคงตัวได้ดีกว่า surfactants โมเลกุลเล็ก (Tween 20, SDS)

2.5 ผลของอุณหภูมิต่อคุณสมบัติของอิมัลชัน

อุณหภูมิเป็นหนึ่งในปัจจัยที่สำคัญที่ส่งผลต่อถักยละเอทางกายภาพของวัสดุภาคไขมัน มีส่วนสำคัญต่อการฟอร์มพันธะ ไดซัล ไฟฟ์กายในโมเลกุล และปฏิสัมพันธ์อนิโวเลนต์ในอาหาร ประเภทอิมัลชัน อุณหภูมิที่เพิ่มสูงขึ้นนำไปสู่การเพิ่มการเคลื่อนที่เข้าหากันแบบบรรเทาเนียน และมีแนวโน้มที่จะเพิ่มอัตราการเกาะกลุ่มกัน การให้ความร้อนเบื้องต้นก่อนผ่านกระบวนการโซโนจีน เชชันมีผลต่อสมบัติทางวิทยากรรศาสตร์ของอาหารประเภทอิมัลชัน อุณหภูมิในการให้ความร้อนเบื้องต้นมีผลต่อขนาดของครีอปเล:left ในช่วงการโซโนจีนเชชัน การให้ความร้อนแก่อิมัลชันจะไปลดแรงตึงที่ผิวสัมผัสร่วมระหว่างวัสดุกาน้ำมันและน้ำ ทำให้เกิดครีอปเล:left ที่มีขนาดเล็กได้ง่ายขึ้น นอกจากนี้อิมัลชันที่มีความเข้มข้นของน้ำมันมากกว่าจะส่งผลให้มีค่าเฉลี่ยของสัมผัสนุ่มคล่อง ของครีอปเล:left ที่ใหญ่กว่าเมื่อใช้สภาวะในการโซโนจีนเชชันเหมือนกัน

Rynne et al. (2004) ได้ศึกษาผลของอุณหภูมิที่ใช้ในการพาสเจอร์ไรซ์นม (72, 77, 82 และ 87 °C เป็นเวลา 25 วินาที) ต่อสมบัติทางวิทยากรรศาสตร์ half-fat cheddar cheese พบว่าการเพิ่มอุณหภูมิในการพาสเจอร์ไรซ์จาก 72 °C เป็น 87 °C จะทำให้ความสามารถในการไหลของชีสลดลงและทำให้มีความหนืดปรากฏที่เพิ่มสูงขึ้น

Shaker, Jumah and Abu-Jdayil (2000) ได้ศึกษาผลของการให้ความร้อนเบื้องต้นแก่นม (65 °C เป็นเวลา 30 นาที, 90 °C เป็นเวลา 3 นาที และ 137 °C เป็นเวลา 2 วินาที) ต่อสมบัติทาง

วิทยากรและของ plain yogurt พบว่ามที่ผ่านการให้ความร้อนที่ 137°C จะมีความหนืดมากที่สุด ในขณะที่น้ำที่ผ่านการให้ความร้อนที่ 65°C จะมีความหนืดต่ำสุด

Buccat, Gonzalez and Manalac (1973) "ไดศึกษาถึงผลของอุณหภูมิ ($10\text{-}80^{\circ}\text{C}$) ต่อคุณสมบัติทางเคมีกายภาพของน้ำกะทิ พบว่าความหนาแน่นและ pH ของน้ำกะทิจะแปรผันกับอุณหภูมิ ส่วนค่าแรงตึงผิว (surface tension) และความหนืดจะแปรผันตรงกับอุณหภูมิจนถึง 60°C หลังจากนั้นเมื่ออุณหภูมิพิ่มขึ้น ค่าแรงตึงผิวและความหนืดลดลง เป็นผลเนื่องมาจากโปรตีนเกิดการรวมตัวกันที่อุณหภูมิประมาณ 60°C อย่างไรก็ตาม โปรตีนของน้ำกะทิจะรวมตัวกันทึ่งหมดเมื่ออุณหภูมิถึง 80°C โปรตีนของน้ำกะทิทึ่งหมด เช่น อัลบูมิน โกลบูลิน โปรแลมีน และกลูเตลิน จะรวมตัวกันโดยความร้อนอย่าง่ายดาย และตกตะกอนที่ pH 4

ธิติมา เปี้ยมประสาหน์ (2547) "ไดศึกษาผลของการให้ความร้อนเบื้องต้น ($70, 80$ และ 90°C เป็นเวลา 1 นาที) ต่อความหนืดปรากฏของน้ำกะทิ (ปริมาณไขมัน 15, 20, 25 และ 30%) พบว่าที่ความเข้มข้นของไขมันระดับเดียวกัน ค่าความหนืดจะเพิ่มสูงขึ้นเมื่ออุณหภูมิในการให้ความร้อนเพิ่มมากขึ้น และปรากฏการณ์นี้จะเห็นผลชัดเจนมากขึ้นที่ความเข้มข้นของไขมันสูง

จากการวิจัยที่กล่าวมาข้างต้น พบว่าการศึกษาทางด้านความคงตัวต่อการแช่แข็ง-ละลายของอิมัลชันส่วนใหญ่จะทำในระบบอิมัลชันจำลอง และระบบอิมัลชันที่ไม่มีน้ำมันมะพร้าวหรือไขมันกะทิเป็นองค์ประกอบ และยังมีงานวิจัยเกี่ยวกับความคงตัวต่อการแช่แข็ง-ละลายของระบบกะทิโดยตรงน้อยมาก ทำให้ขาดองค์ความรู้ที่จะนำไปใช้ในการแก้ปัญหาความไม่คงตัวหลังการละลายของกะทิและผลิตภัณฑ์กะทิที่ผ่านการแช่แข็ง ดังนั้นผู้วิจัยจึงมีเป้าหมายที่จะศึกษาถึงปัจจัยต่างๆที่มีผลต่อความคงตัวต่อการแช่แข็ง-ละลายของกะทิอันได้แก่ ความเข้มข้นของน้ำตาล ความเข้มข้นของโซเดียมคลอไรด์ ชนิดและความเข้มข้นของอิมัลซิไฟเออร์ และระดับการให้ความร้อนก่อนการแช่แข็ง

บทที่ 3

วิธีดำเนินการวิจัย

3.1 วัตถุดิบ

เนื้ออมะพร้าวบุญนิดที่ปอกผิวแล้วจากลำเกียงทับสะแก จังหวัดปราจgewคีรีขันธ์

3.2 สารผสมอาหาร (Food Ingredients)

3.2.1 นำ塔藻壳 (บริษัท รวมเกษตรกรอุตสาหกรรม จำกัด)

3.2.2 โซเดียมคลอไรด์ (บริษัท อุตสาหกรรมเกลือบริสุทธิ์ จำกัด)

3.2.3 โซเดียมเคซิเนท (Lactalis Ingredients, France)

3.2.4 Tween 60 (Lonza Inc., USA)

3.3 อุปกรณ์และเครื่องมือ

3.3.1 เครื่องโซโนจีโนเซอร์แบบ 2 ขั้นตอน (two-stage homogenizer) (APV, 15MR-

8TA, Gaulin Corporation, USA)

3.3.2 เครื่องปั่นผสม (high speed blender) (Hitachi, Powerful Blender, Hitachi Co.,

Ltd., Japan)

3.3.3 เครื่องหมุนเหวี่ยงหาดใหญ่ (Gerber centrifuge) (Funke Gerber, Super Vario-N,

Team Medical & Scientific Sdn. Bhd, Malaysia)

3.3.4 เครื่องวัดความหนืด (viscometer) (Brookfield, LVDV-I+, Brookfield

Engineering Laboratories Inc., USA)

3.3.5 กล้องจุลทรรศน์ (Olympus, CHS, Japan) พร้อมกล้องถ่ายภาพ (Olympus,

C-7070WZ, Japan)

3.3.6 เครื่องวัดการกระเจิงแสงเลเซอร์ (laser light scattering instrument) (Coulter, LS

100Q, USA)

3.3.7 ขวดหาความถ่วงจำเพาะ (pycnometer) ขนาด 10 ml

3.3.8 เทอร์โมมิเตอร์

3.3.9 pH meter (Orion, 420A+, 078789, Thermo Electron Corporation, USA)

3.3.10 เครื่องชั่งน้ำหนัก (AND, GX-4000, 14509421, Japan)

3.3.11 อุปกรณ์เครื่องเก็บในห้องปฏิบัติการ

3.3.12 หม้อต้มไอน้ำสองชั้น (double-jacket steam kettle)

3.4 การทดลองเบื้องต้น (Preliminary Experiment)

3.4.1 การศึกษาการแข็ง-แหลกของกะทิสด กะทิที่ผ่านการเติมน้ำในอัตราส่วน 1:1 และกะทิที่ผ่านการเติมน้ำในอัตราส่วน 1:1 แล้วนำไปผ่านการพาสเจอไรซ์

3.4.1.1 นำตัวอย่างกะทิที่ต้องการทดสอบบรรจุลงในขวดเก็บตัวอย่างขนาด 70 ml ตัวอย่างละ 2 ขวด ดังนี้

- กะทิสด ไขมัน 36%v/v (ไม่ผ่านการโซโนมิไนซ์)

- กะทิที่ผ่านการเติมน้ำในอัตราส่วน 1:1 (ไขมัน 18%v/v ไม่ผ่านการโซโนมิไนซ์)

- กะทิที่ผ่านการเติมน้ำในอัตราส่วน 1:1 (ไขมัน 18%v/v) นำไปผ่านการพาสเจอไรซ์ในหม้อต้มไอน้ำสองชั้นที่อุณหภูมิ 74 °C เป็นเวลา 15 วินาที จากนั้นนำไปโซโนมิไนซ์ด้วยเครื่องโซโนมิไนเซอร์แบบ 2 ขั้นตอนที่ความดัน (ขั้นที่1/ ขั้นที่2) 1500/500 psi แล้วบรรจุในขวดพลาสติก โดยปริมาตรที่บรรจุในแต่ละขวดคือ 60 ml จากนั้นนำไปทำให้เย็น จนกระทั้งตัวอย่างกะทิมีอุณหภูมิ 20 °C

3.4.1.2 นำตัวอย่างกะทิทึบหมดใส่ช่องแข็งในตู้เย็น (อุณหภูมิ -18 °C) ทึ่งไว้ 45 ชั่วโมง นำมาละลายในอ่างน้ำ (อุณหภูมิ 40 °C) เป็นเวลา 3 ชั่วโมง วัดค่า %creaming index, %oiling off index, ลักษณะทางด้านกลิ่นรสของกะทิ

3.4.1.3 หลังจากตรวจสอบผลเสร็จแล้ว นำกะทิกลับไปแข็งที่ช่องแข็งในตู้เย็น ทึ่งไว้ 45 ชั่วโมง นำมาละลายในอ่างน้ำ (อุณหภูมิ 40 °C) เป็นเวลา 3 ชั่วโมง สังเกตผลที่ได้ แล้วนำกลับไปแข็ง-แหลกจนกว่า %creaming index จะมีค่าคงที่หรือจนกว่ากะทิจะเสีย (กลิ่นรสผิดปกติ)

3.4.2 การศึกษาเวลาที่ใช้ในการเก็บรักษาของกะทิสด กะทิที่ผ่านการเติมน้ำในอัตราส่วน 1:1 และกะทิที่ผ่านการเติมน้ำในอัตราส่วน 1:1 แล้วนำไปผ่านการพาสเจอไรซ์

3.4.2.1 นำตัวอย่างกะทิที่ต้องการทดสอบบรรจุลงในขวดเก็บตัวอย่างขนาด 70 ml ตัวอย่างละ 2 ขวด ดังนี้

- กะทิสด ไขมัน 36%v/v (ไม่ผ่านการโซโนมิไนซ์)

- กะทิที่ผ่านการเติมน้ำในอัตราส่วน 1:1 (ไขมัน 18%v/v ไม่ผ่านการโซโนมิไนซ์)

- กระบวนการเติมน้ำในอัตราส่วน 1:1 (ไขมัน 18% v/v) นำไปปั่นการพาสเจอร์ไซซ์ในหม้อต้มไอน้ำสองชั้นที่อุณหภูมิ 74 °C เป็นเวลา 15 วินาที จากนั้นนำไปโอมิจิในชุดด้วยเครื่องโอมิจิเชอร์แบบ 2 ขั้นตอนที่ความดัน 1500/500 psi แล้วบรรจุในขวดพลาสติก โดยปริมาตรที่บรรจุในแต่ละขวดคือ 60 ml จากนั้นนำไปทำให้เย็น จนกระถังตัวอย่างคงที่มีอุณหภูมิ 20 °C

3.4.2.2 นำตัวอย่างกะทิทั้งหมดใส่ช่องแช่แข็งในตู้เย็น (อุณหภูมิ -18°C) ทำการสังเกตผลทุกๆ 2 สัปดาห์ โดยนำตัวอย่างกะทิ 3 ตัวอย่าง ตัวอย่างละ 1 ขวด (รวม 3 ขวด) ออกจากตู้เย็นมาละลายในอ่างน้ำ (อุณหภูมิ 40°C) เป็นเวลา 3 ชั่วโมง วัดค่า %creaming index, %oiling off index, ลักษณะทางด้านกลิ่นรสของกะทิ

3.4.3 ศึกษาหาเวลาที่เหมาะสมในการแข่งขัน-ระยะเพื่อจะนำไปใช้กำหนดเวลาที่จะนำตัวอย่างมาที่ผ่านการแข่งขันมาทำการละลาย โดยทำการศึกษากับกะทิที่ผ่านการเติมน้ำในอัตราส่วน 1:1 และกะทิที่ผ่านการเติมน้ำในอัตราส่วน 1:1 แล้วนำไปผ่านการพาสเจือไรซ์

3.4.3.1 นำตัวอย่างกะทิที่ต้องการทดสอบบนบรรจุลงในขวดเก็บตัวอย่างขนาด 70 ml ตัวอย่างละ 2 ช้อน ดังนี้

- กระบวนการเติมน้ำในอัตราส่วน 1:1 (ไขมัน 18%v/v ไม่ผ่านการโซโนมิไนซ์)
- กระบวนการเติมน้ำในอัตราส่วน 1:1 (ไขมัน 18%v/v) นำไปผ่านการพาสเจอร์ไไซด์ในหม้อต้มไอน้ำสองชั้นที่อุณหภูมิ 74 °C เป็นเวลา 15 วินาที จากนั้นนำไปโซโนมิไนซ์ด้วยเครื่องโซโนมิไนเซอร์แบบ 2 ขั้นตอนที่ความดัน 1500/500 psi และบรรจุในขวดพลาสติก โดยปริมาตรที่บรรจุในแต่ละขวดคือ 60 ml จากนั้นนำไปทำให้เย็น จนกระถั่งตัวอย่างจะทิ้งไว้อุณหภูมิ 20 °C

3.4.3.2 นำตัวอย่างกะทิทั้งหมดใส่ช่องแข็งในตู้เย็น(อุณหภูมิ -18 °C) ทิ้งไว้ทีเวลา 21, 45, 69, 93, 117, 141 และ 165 ชั่วโมง จากนั้นนำมาละลายในอ่างน้ำ (อุณหภูมิ 40 °C) เป็นเวลา 3 ชั่วโมง นำตัวอย่างวัดค่า %creaming index, %oiling off index, ลักษณะทางด้านกลิ่นรสของกะทิ

3.4.3.3 สังเกตผลที่ได้ทุกวันจนกว่า %creaming index จะมีค่าคงที่หรือจนกว่าจะทิ่งเสีย (กลืนสพดปกติ) ทดลองเป็นเวลา 7 วัน

3.5 การศึกษาความเข้มข้นของน้ำตาลซูโครஸที่มีผลต่อความคงตัวต่อการแข็งเหลวและลายของกะทิ

โดยใช้น้ำตาลซูโครஸความเข้มข้น 10, 20, 30 และ 40%w/v

3.5.1 นำกะทิที่ผ่านการปรับไขมันเป็น 18%v/v ไปผ่านการพาสเจอไรซ์ในหม้อต้มไอน้ำสองชั้นที่อุณหภูมิ 74 °C เป็นเวลา 15 วินาที จากนั้นนำไปผ่านการโซโนจีโนซ์ด้วยเครื่องโซโนจีโนเซอร์แบบ 2 ขั้นตอนที่ความดัน 1500/500 psi

3.5.2 บรรจุตัวอย่างกะทิที่ได้ใส่ขวดพลาสติกขนาด 70 ml ทำเป็น control (ไม่เติมน้ำตาล) 2 ขวด โดยปริมาตรที่บรรจุในแต่ละขวดคือ 60 ml จากนั้นนำไปทำให้เย็นจนกระทั้งตัวอย่างกะทิมีอุณหภูมิ 20 °C

3.5.3 นำกะทิที่ผ่านการปรับไขมันเป็น 18.5, 19.5, 21 และ 22.5%v/v ไปผ่านการพาสเจอไรซ์ในหม้อต้มไอน้ำสองชั้นที่อุณหภูมิ 74 °C เป็นเวลา 15 วินาที จากนั้นนำไปผ่านการโซโนจีโนซ์ด้วยเครื่องโซโนจีโนเซอร์แบบ 2 ขั้นตอนที่ความดัน 1500/500 psi

3.5.4 เติมน้ำตาลซูโครஸความเข้มข้น 10, 20, 30 และ 40%w/v ลงในตัวอย่างกะทิไขมัน 18.5, 19.5, 21 และ 22.5%v/v จะได้ตัวอย่างกะทิที่มีปริมาณไขมันหลังเติมน้ำตาลซูโครஸแล้วเท่ากับ 18%v/v ทุกตัวอย่าง (ตัวอย่างการคำนวณอยู่ในภาคผนวก ก) ทำการวิเคราะห์ปริมาณไขมันในกะทิที่เตรียมได้ (Gerber method) เพื่อยืนยันว่ากะทิทุกตัวอย่างมีปริมาณไขมัน 18%v/v

การเติมน้ำตาลซูโครஸในตัวอย่างกะทิจะเติมหลังผ่านการโซโนจีโนซ์ เพื่อควบคุมไม่ให้การเติมน้ำตาลซูโครஸส่งผลกระทบต่อประสิทธิภาพของการโซโนจีโนซ์

3.5.5 บรรจุตัวอย่างกะทิที่ได้ใส่ขวดพลาสติกขนาด 70 ml ความเข้มข้นละ 2 ขวด โดยปริมาตรที่บรรจุในแต่ละขวดคือ 60 ml จากนั้นนำไปทำให้เย็นจนกระทั้งตัวอย่างกะทิมีอุณหภูมิ 20 °C

3.5.6 นำตัวอย่างกะทิที่จึงหมดใส่ช่องแช่แข็งในถุงเย็น (อุณหภูมิ -18 °C) ทิ้งไว้ 45 ชั่วโมง นำมาละลายในอ่างน้ำ (อุณหภูมิ 40 °C) เป็นเวลา 3 ชั่วโมง นำตัวอย่างกะทิไปวิเคราะห์ปริมาณไขมัน (Gerber method) แล้วทำการวิเคราะห์ดังต่อไปนี้

- ลักษณะจุลภาคของครีอปเล็กด้วยกล้องจุลทรรศน์
- ขนาดอนุภาค (particle size) ด้วย laser light scattering instrument
- %creaming index (Onsmaard et al., 2005)
- %oiling off index
- ความหนืดด้วยเครื่องวัดความหนืด
- ความหนาแน่นของวัฏภาคน้ำและน้ำมัน โดยใช้ขวดหาความถ่วงจำเพาะ

3.6 การศึกษาความเข้มข้นของโซเดียมคลอไรด์ที่มีผลต่อความคงตัวต่อการแข็ง เชิง-ละลายของกระติโดยใช้โซเดียมคลอไรด์ความเข้มข้น 1, 2, 3 และ 4%w/v

3.6.1 นำกระติที่ผ่านการปรับไขมันเป็น 18%v/v ไปผ่านการพาสเจอไรซ์ในหม้อต้มน้ำส่องชั้นที่อุณหภูมิ 74 °C เป็นเวลา 15 วินาที จากนั้นนำไปผ่านการโซโนมิไนซ์ด้วยเครื่องโซโนมิไนเซอร์แบบ 2 ขั้นตอนที่ความดัน 1500/500 psi

3.6.2 บรรจุตัวอย่างกระติที่ได้ใส่ขาดพลาสติกขนาด 70 ml ทำเป็น control (ไม่เติมโซเดียมคลอไรด์) 2 ขวด โดยปริมาตรที่บรรจุในแต่ละขวดคือ 60 ml จากนั้นนำไปทำให้เย็นจนกระหงตัวอย่างกระติมีอุณหภูมิ 20 °C

3.6.3 นำกระติที่ผ่านการปรับไขมันเป็น 18%v/v ไปผ่านการพาสเจอไรซ์ในหม้อต้มไข้น้ำส่องชั้นที่อุณหภูมิ 74 °C เป็นเวลา 15 วินาที จากนั้นนำไปผ่านการโซโนมิไนซ์ด้วยเครื่องโซโนมิไนเซอร์แบบ 2 ขั้นตอนที่ความดัน 1500/500 psi

3.6.4 เติมโซเดียมคลอไรด์ความเข้มข้น 1, 2, 3 และ 4%w/v ลงในตัวอย่างกระติ จะได้ตัวอย่างกระติที่มีปริมาณไขมันหลังเติมโซเดียมคลอไรด์แล้วเท่ากับ 18%v/v ทุกตัวอย่าง (ตัวอย่างการคำนวณอยู่ในภาคผนวก ก) ทำการวิเคราะห์ปริมาณไขมันในกระติที่เตรียมได้ (Gerber method) เพื่อยืนยันว่ากระติทุกตัวอย่างมีปริมาณไขมัน 18%v/v

การเติมโซเดียมคลอไรด์ลงในตัวอย่างกระติจะเติมหลังผ่านการโซโนมิไนซ์ เพื่อควบคุมไม่ให้การเติมโซเดียมคลอไรด์ส่งผลกระทบต่อประสิทธิภาพของการโซโนมิไนซ์

3.6.5 บรรจุตัวอย่างกระติที่ได้ใส่ขาดพลาสติกขนาด 70 ml ความเข้มข้นละ 2 ขวด โดยปริมาตรที่บรรจุในแต่ละขวดคือ 60 ml จากนั้นนำไปทำให้เย็นจนกระหงตัวอย่างกระติมีอุณหภูมิ 20 °C

3.6.6 นำตัวอย่างกระติทึบหมุดใส่ช่องแข็งในถุงเย็น(อุณหภูมิ -18 °C) ทึบไว้ 45 ชั่วโมง นำมาละลายในอ่างน้ำ (อุณหภูมิ 40 °C) เป็นเวลา 3 ชั่วโมง นำตัวอย่างกระติไปวิเคราะห์ปริมาณไขมัน (Gerber method) แล้วทำการวิเคราะห์เช่นเดียวกับข้อ 3.5.6

3.7 การศึกษานิดและความเข้มข้นของอิมัลชันฟลอร์ที่มีผลต่อความคงตัวต่อการแข็ง เชิง-ละลายของกระติ โดยใช้โซเดียม酇ิเนทความเข้มข้น 0.3, 0.5 และ 0.7%w/v และใช้ Tween 60 ความเข้มข้น 0.1, 0.3 และ 0.5%w/v

3.7.1 นำกระติที่ผ่านการปรับไขมันเป็น 18%v/v ไปผ่านการพาสเจอไรซ์ในหม้อต้มไข้น้ำส่องชั้นที่อุณหภูมิ 74 °C เป็นเวลา 15 วินาที จากนั้นนำไปผ่านการโซโนมิไนซ์ด้วยเครื่องโซโนมิไนเซอร์แบบ 2 ขั้นตอนที่ความดัน 1500/500 psi

3.7.2 บรรจุตัวอย่างกะทิที่ได้ใส่ขวดพลาสติกขนาด 70 ml ทำเป็น control (ไม่เติมอิมัลซิไฟเออร์) 2 ขวด โดยปริมาตรที่บรรจุในแต่ละขวดคือ 60 ml จากนั้นนำไปทำให้เย็นจนกระหงตัวอย่างกะทิมีอุณหภูมิ 20°C

3.7.3 นำกะทิที่ผ่านการปรับไขมันเป็น 18%v/v ไปผ่านการพาสเจอร์ไนฟ์ในหม้อต้มไอก้น้ำสองชั้นที่อุณหภูมิ 74°C เป็นเวลา 15 วินาที

3.7.4 เติมโซเดียมเคซีนทความเข้มข้น 0.3, 0.5, 0.7%w/v หรือ Tween 60 ความเข้มข้น 0.1, 0.3 และ 0.5%w/v ลงในตัวอย่างกะทิปั่นผสมด้วย high speed blender เป็นเวลา 1 นาที จากนั้นนำไปผ่านการโอมิจิในชุดด้วยเครื่องโอมิจิในเซอร์แบบ 2 ขั้นตอนที่ความดัน 1500/500 psi จะได้ตัวอย่างกะทิที่มีปริมาณไขมันหลังเติมอิมัลซิไฟเออร์แล้วเท่ากับ 18%v/v ทุกตัวอย่าง (ตัวอย่างการคำนวณอยู่ในภาคผนวก ก) ทำการวิเคราะห์ปริมาณไขมันในกะทิที่เตรียมได้ (Gerber method) เพื่อยืนยันว่ากะทิทุกตัวอย่างมีปริมาณไขมัน 18%v/v

การเติมอิมัลซิไฟเออร์ลงในตัวอย่างกะทิจะเติมก่อนผ่านการโอมิจิในช์ เพื่อให้อิมัลซิไฟเออร์ถูกดูดซับที่พื้นผิวของครึ่งเปลือกได้อย่างเต็มที่ในช่วงของการโอมิจิในช์

3.7.5 บรรจุตัวอย่างกะทิที่ได้ใส่ขวดพลาสติกขนาด 70 ml ความเข้มข้นละ 2 ขวด โดยปริมาตรที่บรรจุในแต่ละขวดคือ 60 ml จากนั้นนำไปทำให้เย็นจนกระหงตัวอย่างกะทิมีอุณหภูมิ 20°C

3.7.6 นำตัวอย่างกะทิทึบหมดใส่ช่องแช่แข็งในตู้เย็น(อุณหภูมิ -18°C) ทิ้งไว้ 45 ชั่วโมง นำมาละลายในอ่างน้ำ (อุณหภูมิ 40°C) เป็นเวลา 3 ชั่วโมง นำตัวอย่างกะทิไปวิเคราะห์ปริมาณไขมัน (Gerber method) แล้วทำการวิเคราะห์เช่นเดียวกับข้อ 3.5.6

3.8 การศึกษาระดับการให้ความร้อนก่อนการแช่แข็ง โดยใช้ระดับความร้อนที่ 70 , 80 และ 90°C

3.8.1 นำกะทิที่ผ่านการปรับไขมันเป็น 18%v/v ไปผ่านการโอมิจิในช์ด้วยเครื่องโอมิจิในเซอร์แบบ 2 ขั้นตอนที่ความดัน 1500/500 psi

3.8.2 บรรจุตัวอย่างกะทิที่ได้ใส่ขวดพลาสติกขนาด 70 ml ทำเป็น control (ไม่ผ่านการให้ความร้อน) 2 ขวด โดยปริมาตรที่บรรจุในแต่ละขวดคือ 60 ml จากนั้นนำไปทำให้เย็นจนกระหงตัวอย่างกะทิมีอุณหภูมิ 20°C

3.8.3 นำกะทิที่ผ่านการปรับไขมันเป็น 18%v/v ไปผ่านการให้ความร้อนในหม้อต้มไอก้น้ำสองชั้นที่อุณหภูมิ 70 , 80 และ 90°C เป็นเวลา 1 นาที จากนั้นนำไปผ่านการโอมิจิในช์ด้วยเครื่องโอมิจิในเซอร์แบบ 2 ขั้นตอนที่ความดัน 1500/500 psi

3.8.4 บรรจุตัวอย่างกะทิที่ได้ใส่ขวดพลาสติกขนาด 70 ml ความเข้มข้นละ 2 ขวด โดย

ปริมาตรที่บรรจุในแต่ละขวดคือ 60 ml จากนั้นนำไปทำให้เย็นจนกระทั้งตัวอย่างจะมีอุณหภูมิ 20°C

3.8.5 นำตัวอย่างจะทิ้งหมดใส่ช่องแช่แข็งในตู้เย็น(อุณหภูมิ -18°C) ทิ้งไว้ 45 ชั่วโมง นำมาละลายในอ่างน้ำ (อุณหภูมิ 40°C) เป็นเวลา 3 ชั่วโมง นำตัวอย่างจะทิปิเเคราะห์ปริมาณไขมัน (Gerber method) และทำการวิเคราะห์เช่นเดียวกับข้อ 3.5.6

3.9 การวิเคราะห์ผลทางสถิติ

วางแผนการทดลองแบบ CRD ทดสอบความแปรปรวนของข้อมูลแบบ One-way ANOVA ที่ระดับความเชื่อมั่นเท่ากับ 95 เปอร์เซ็นต์ ($\alpha = 0.05$) และเปรียบเทียบความแตกต่างของค่าเฉลี่ยด้วยวิธี Tukey โดยใช้โปรแกรม Minitab 14

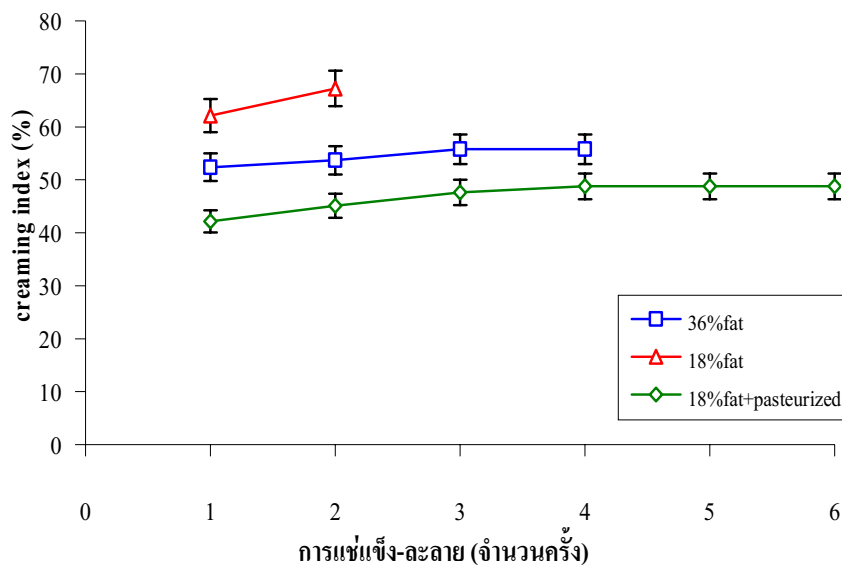
บทที่ 4

ผลการวิจัยและการอภิปรายผล

4.1 การทดลองเบื้องต้น

4.1.1 การศึกษาการแข็ง-ละลาย

จากผลการศึกษาการแข็ง-แข็ง-ละลาย (ภาพที่ 20) พบว่า กะทิไขมัน 18% จะเน่าเสียเร็วที่สุด โดยจะได้กลิ่นเหม็นเปรี้ยวหลังผ่านการแข็ง-แข็ง-ละลาย 2 ครั้ง กะทิไขมัน 36% จะได้กลิ่นเหม็นเปรี้ยวหลังจากผ่านการแข็ง-แข็ง-ละลาย 4 ครั้ง ส่วนกะทิไขมัน 18% ที่ผ่านการพาสเจอร์ไซด์แล้วจะไม่เปลี่ยนแปลงหลังผ่านการแข็ง-แข็ง-ละลายถึง 6 ครั้ง กีบังคงมีกลิ่นหอมของกะทิหลงเหลืออยู่ กะทิไขมัน 36% หลังผ่านการแข็ง-แข็ง-ละลาย 3 ครั้ง ขึ้นนำจะเริ่มมีสีออกเหลืองๆ ในขณะที่กะทิไขมัน 18% และกะทิไขมัน 18% ที่ผ่านการพาสเจอร์ไซด์ขึ้นนำยังคงมีสีปกติ



ภาพที่ 20 ค่า %creaming index ของตัวอย่างกะทิที่ผ่านการแข็ง-แข็ง-ละลายที่จำนวนครั้งต่างๆ

ค่า %creaming index ของกะทิไขมัน 18% ที่ผ่านการพาสเจอร์ไซด์จะมีค่าเพิ่มขึ้นจนถึงการแข็ง-แข็ง-ละลายครั้งที่ 4 จากนั้นจะมีค่าคงที่ตั้งแต่การแข็ง-แข็ง-ละลายครั้งที่ 5 จนถึงการแข็ง-

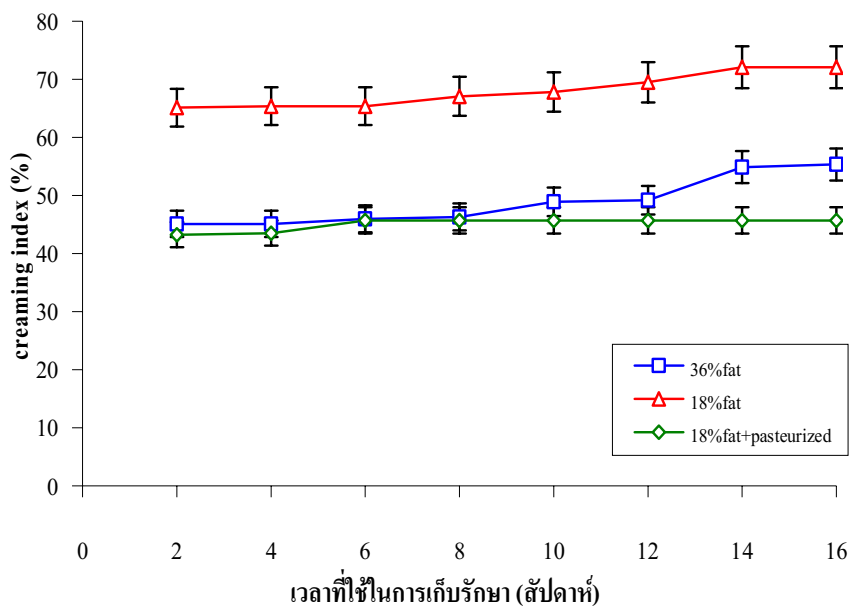
ละลายครั้งที่ 6 ในขณะที่กะทิไขมัน 18% ที่ไม่ผ่านการให้ความร้อนค่า %creaming index จะมีค่าเพิ่มขึ้น ส่วนกะทิไขมัน 36% ที่ไม่ผ่านการให้ความร้อนค่า %creaming index จะมีค่าเพิ่มขึ้นจนถึงการแข็ง-ละลายครั้งที่ 3 และในการแข็ง-แข็ง-ละลายครั้งที่ 4 จะเริ่มน้ำค่าคงที่

การที่กะทิไขมัน 18% เน่าเสียร้าวที่สุด เพราะมีการเติมน้ำเพื่อปรับไขมัน ซึ่งในน้ำที่ใช้ในการปรับไขมันอาจมีจุลินทรีย์ปนเปื้อนอยู่ ทำให้กะทิมีปริมาณจุลินทรีย์มากที่สุดใน 3 ตัวอย่าง กะทิจึงเกิดการเน่าเสียร้าวที่สุด ในขณะที่ตัวอย่างกะทิที่มีปริมาณไขมันเท่ากันคือ ไขมัน 18% แต่ผ่านการให้ความร้อนระดับพาสเจอร์ไรซ์ ทำให้มีการทำลายจุลินทรีย์ไปบางส่วน กะทิจึงเน่าเสียช้าที่สุด %creaming index ของกะทิไขมัน 18% ที่ผ่านการให้ความร้อนจะมีค่าเพิ่มขึ้นในช่วงแรกอย่างต่อเนื่อง โดยในช่วงการแข็ง-ละลาย 1-3 ครั้ง การแยกชั้นจะเกิดขึ้นอย่างรวดเร็ว ส่วนในช่วงการแข็ง-แข็ง-ละลายครั้งที่ 3-4 จะพบว่า %creaming index เริ่มนีแนวโน้มคงที่ และเมื่อผ่านการแข็ง-แข็ง-ละลายไป 4 ครั้งการแยกชั้นเกิดขึ้นอย่างสมบูรณ์ %creaming index จึงมีค่าคงที่ แม้ว่าจะผ่านการแข็ง-แข็ง-ละลายอีก 2 ครั้งก็ไม่เกิดการแยกชั้นเพิ่มมากขึ้น ส่วนกะทิไขมัน 36% ที่ไม่ผ่านการให้ความร้อนถึงแม้ว่าค่า %creaming index จะเริ่มน้ำค่าคงที่หลังผ่านการแข็ง-ละลาย 4 ครั้ง แต่ก็ส่งผลให้เกิดกลิ่นเหม็นเปรี้ยวเกิดขึ้นด้วย

4.1.2 การศึกษาเวลาที่ใช้ในการเก็บรักษาตัวอย่างกะทิ

จากการศึกษาเวลาที่ใช้ในการเก็บรักษาตัวอย่างกะทิ (ภาพที่ 21) พบว่ากะทิไขมัน 18% จะเริ่มเกิดการเน่าเสียหลังผ่านการแข็ง-แข็งเป็นเวลา 2 สัปดาห์ สังเกตได้จากการที่เริ่มได้กลิ่นหืนและค่า pH ของกะทิที่ต่ำกว่าเกณฑ์ที่กำหนด (เกณฑ์ที่กำหนดของทางบริษัทคือ pH ต้องมีค่ามากกว่า 6.0) และเริ่มได้กลิ่นเหม็นเปรี้ยวหลังจากผ่านการแข็ง-แข็งเป็นเวลา 8 สัปดาห์ ส่วนกะทิไขมัน 36% จะเริ่มได้กลิ่นหืนและค่า pH ต่ำกว่าเกณฑ์ที่กำหนดเมื่อผ่านการแข็ง-แข็งเป็นเวลา 4 สัปดาห์ และเริ่มได้กลิ่นเหม็นเปรี้ยวหลังจากผ่านการแข็ง-แข็งเป็นเวลา 10 สัปดาห์ สีของกะทิไขมัน 36% หลังผ่านการแข็ง-แข็งเป็นเวลา 2 สัปดาห์ ขึ้นน้ำจะเริ่มน้ำสีออกเหลืองๆ ในขณะที่กะทิไขมัน 18% และกะทิไขมัน 18% ที่ผ่านการพาสเจอร์ไรซ์ ขึ้นน้ำยังคงมีสีปกติ ส่วนกะทิไขมัน 18% ที่ผ่านการพาสเจอร์ไรซ์พบว่าถึงแม้ว่าจะผ่านการแข็ง-แข็งเป็นเวลา 16 สัปดาห์ (4 เดือน) แล้วนำมาละลาย กะทิยังไม่เกิดการเน่าเสีย สังเกตได้จากการที่กะทิยังคงมีกลิ่นคล้ายกะทิสดอยู่ ถึงแม้ว่ากลิ่นจะเริ่มจากลงหลังจากแข็ง-แข็งเป็นเวลานานขึ้น แต่ก็ยังไม่พนกกลิ่นหืนในกะทิ และค่า pH ที่วัดได้ก็ยังอยู่ในเกณฑ์มาตรฐานที่กำหนดอยู่ (pH มากกว่า 6.0) แต่ pH มีแนวโน้มที่จะลดลงตามเวลาการแข็ง-แข็งที่นานขึ้น ซึ่งการที่กะทิยังไม่เกิดการเน่าเสียน่าจะเป็นเพราะกะทิผ่านการฆ่าเชื้อด้วยความร้อนในระดับพาสเจอร์ไรซ์ ทำให้เชื้อจุลินทรีย์บางส่วนถูกทำลาย ส่วนจุลินทรีย์ที่ยังคงเหลือรอคืออยู่ก

ลูกยับยั้งการเจริญเติบโตด้วยการแซ่เบ็ง ทำให้กะทิยังคงความสดอยู่ เมื่อเวลา 4 เดือนแล้วก็ตาม การแซ่เบ็งเป็นเวลา 4 เดือนแล้วก็ตาม



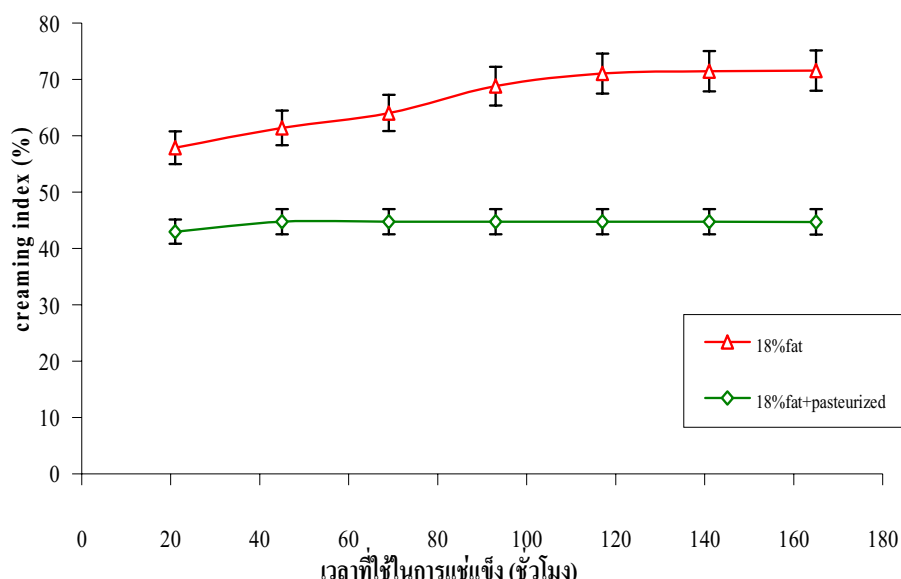
ภาพที่ 21 ค่า %creaming index ของตัวอย่างกะทิที่ผ่านการเก็บรักษาที่เวลาต่างๆ

ค่า %creaming index ของตัวอย่างกะทิหลังผ่านการแซ่เบ็ง-ละลายเป็นเวลา 16 สัปดาห์ พบว่า %creaming index ของกะทิไขมัน 36% และ 18% จะเพิ่มขึ้นตามระยะเวลาใน การเก็บรักษา ในขณะที่กะทิไขมัน 18% ที่ผ่านการพาสเจอร์ไซด์ ค่า %creaming index จะมีค่า เพิ่มขึ้นเมื่อทำการเก็บรักษาจนถึงสัปดาห์ที่ 4 และจะเริ่มมีค่าคงที่หลังจากผ่านการเก็บรักษาเป็น เวลา 6 สัปดาห์ เป็นต้นไป โดยค่า %creaming index ของตัวอย่างกะทิไขมัน 18% จะมีค่ามากกว่า กะทิไขมัน 18% ที่ผ่านการพาสเจอร์ไซด์และกะทิไขมัน 36% เนื่องจากกะทิไขมัน 18% ผ่านการเติม น้ำในอัตราส่วน 1:1 และไม่ได้ผ่านการโซโนมิไนซ์ทำให้มีความคงตัวน้อยกว่าจึงเกิดการแยกชั้นได้ มากกว่า ส่วนกะทิไขมัน 18% ที่ผ่านการพาสเจอร์ไซด์นั้นผ่านการโซโนมิไนซ์ทำให้เนื้อกะทิคง ความเป็นเนื้อเดียวกันมากกว่า จึงเกิดการแยกชั้นช้ากว่ากะทิไขมัน 18% ที่ไม่ผ่านการโซโนมิไนซ์ ส่วนกะทิไขมัน 36% เป็นกะทิสดที่ไม่ผ่านการเติมน้ำจึงเกิดการแยกชั้นได้ช้า โดยจะพบว่ากะทิ ไขมัน 18% ที่ผ่านการพาสเจอร์ไซด์และการโซโนมิไนซ์จะมีค่า %creaming index ต่ำกว่ากะทิไขมัน 36% เล็กน้อย แสดงว่าแม้ว่าจะมีการเติมน้ำลงไปในกะทิเพื่อทำการปรับไขมัน แต่การที่ตัวอย่าง

กะทิผ่านการโอมิโนซ์ช่วยให้เนื้อกะทิกความเป็นเนื้อเดียวกันมากกว่า จึงเกิดการแยกชั้นช้ากว่า กะทิไขมัน 36%

4.1.3 การศึกษาหาเวลาที่เหมาะสมที่จะใช้นการแช่แข็งตัวอย่างกะทิ

จากการศึกษาหาเวลาที่เหมาะสมในการแช่แข็งตัวอย่างกะทิ (ภาพที่ 22) พบว่ากะทิไขมัน 18% จะเริ่มเกิดการเน่าเสียหลังผ่านการแช่แข็งเป็นเวลา 21 ชั่วโมงสังเกตได้จากการที่เริ่มได้กลิ่นหืน และค่า pH ของกะทิที่ต่ำกว่าเกณฑ์ที่กำหนด (เกณฑ์ที่กำหนดของทางบริษัทคือ pH ต้องมีค่ามากกว่า 6.0) และเมื่อผ่านการแช่แข็งเป็นเวลา 69 ชั่วโมงจะเริ่มได้กลิ่นเหม็นเปรี้ยว ส่วนกะทิไขมัน 18% ที่ผ่านการพาสเจอร์ไซด์แล้วจะไม่จำเป็นต้องแช่แข็งเป็นเวลาถึง 165 ชั่วโมงแล้ว นำมาละลาย กะทิก็ยังไม่เกิดการเน่าเสีย สังเกตได้จากการที่กะทิยังคงมีกลิ่นคล้ายกะทิสดอยู่ถึงแม้ว่ากลิ่นจะเริ่มจากลงหลังจากแช่แข็งเป็นเวลานานขึ้น แต่ก็ยังไม่พนกกลิ่นหืนในกะทิ และค่า pH ที่วัดได้ก็ยังอยู่ในเกณฑ์มาตรฐานที่กำหนดอยู่ (pH มากกว่า 6.0) แต่ pH มีแนวโน้มที่จะลดลงตามเวลาการแช่แข็งที่นานขึ้น ซึ่งการที่กะทิยังไม่เกิดการเน่าเสียน่าจะเป็นเพราะกะทิผ่านการแช่แข็งด้วยความร้อนในระดับพาสเจอร์ไซด์ ทำให้เชื้อจุลินทรีย์บางส่วนถูกทำลาย ส่วนจุลินทรีย์ที่ยังคงเหลือรอต่ออยู่ก็ถูกขับยุงจากการเจริญเติบโตด้วยการแช่แข็ง ทำให้กะทิยังคงความสดอยู่แม้ว่าจะผ่านไปหลายวันแล้วก็ตาม



ภาพที่ 22 ค่า %creaming index ของตัวอย่างกะทิที่ผ่านการแช่แข็งที่เวลาต่างๆ

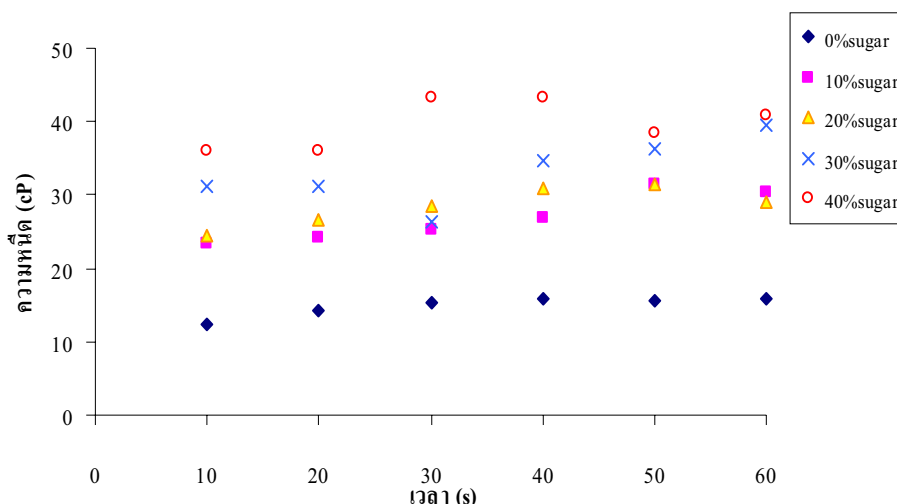
ค่า %creaming index หลังผ่านการแช่แข็งที่เวลาต่างๆ พบว่า %creaming index ของ กะทิไขมัน 18% มีค่าเพิ่มขึ้นตามเวลาที่ใช้ในการแช่แข็งเป็นเวลา 21-165 ชั่วโมง ในขณะที่ค่า %creaming index ของกะทิไขมัน 18% ที่ผ่านการพาสเจอร์ไซด์เพิ่มขึ้นหลังจากผ่านการแช่แข็ง เป็นเวลา 21-45 ชั่วโมง และมีแนวโน้มที่จะมีค่าคงที่หลังจากผ่านการแช่แข็งเป็นเวลา 69-165 ชั่วโมง การที่ %creaming index ของตัวอย่างกะทิไขมัน 18% ที่ผ่านการพาสเจอร์ไซด์มีค่าต่ำกว่า ตัวอย่างกะทิไขมัน 18% อาจจะเนื่องมาจากการตัวอย่างกะทิไขมัน 18% ที่ผ่านการพาสเจอร์ไซด์นั้นผ่าน การโอมิจิในซ์ทำให้เนื้อกะทิคงความเป็นเนื้อดียกันมากกว่า จึงเกิดการแยกชั้นชากว่ากะทิไขมัน 18% ที่ไม่ผ่านการโอมิจิในซ์

จากการทดลองเบื้องต้นในหัวข้อที่ 4.1.1 พบว่ากะทิไขมัน 18% ที่ผ่านการพาสเจอร์ไซด์ เมว่าจะผ่านการแช่แข็ง-ละลายถึง 6 ครั้ง กีบัคคงมีกลิ่น-รสของกะทิเหลืออยู่ โดยที่ยังไม่เกิดการเน่าเสีย และในการทดลองในหัวข้อที่ 4.1.2 กีบัคพบว่าเมว่าจะผ่านการแช่แข็งเป็นเวลาถึง 4 เดือน กะทิ กีบัคคงมีกลิ่น-รสปกติ และค่า pH ที่วัดได้กีบัคไม่ต่ำกว่าเกณฑ์ที่กำหนด จึงได้เลือกด้วยตัวอย่างกะทิ ไขมัน 18% ที่ผ่านการพาสเจอร์ไซด์ที่อุณหภูมิ 74°C เป็นเวลา 15 วินาที จากนั้นนำไปโอมิจิในซ์ ที่ความดัน $1500/500 \text{ psi}$ มาใช้ในการศึกษาความเข้มข้นของน้ำตาลชูโครัส โซเดียมคลอไรด์ ชนิด และความเข้มข้นอิมัลชันไฟโออร์ ที่มีผลต่อความคงตัวต่อการแช่แข็ง-ละลายของกะทิ ส่วนในการ ทดลองในหัวข้อ 4.1.3 พบว่าเวลาที่เหมาะสมที่จะทำการศึกษาความคงตัวต่อการแช่แข็งและละลาย ของกะทิคือ ทำการแช่แข็ง (อุณหภูมิ -18°C) เป็นเวลา 45 ชั่วโมง จากนั้นนำมาทำการละลายในอ่าง น้ำ (อุณหภูมิ 40°C) เป็นเวลา 13 ชั่วโมง

4.2 การศึกษาความเข้มข้นของน้ำตาลชูโครัสที่มีผลต่อความคงตัวต่อการแช่แข็ง-ละลายของกะทิ

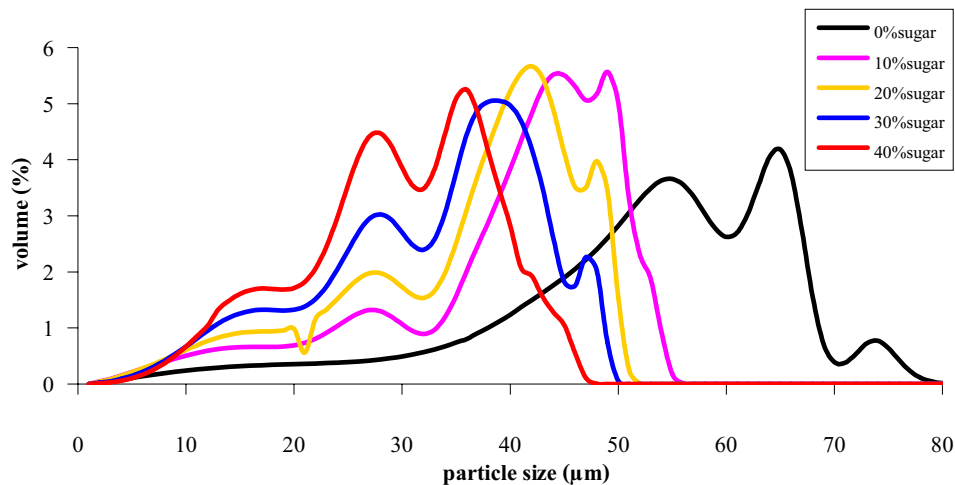
เมื่อนำตัวอย่างกะทิแช่แข็งที่ผ่านการเติมน้ำตาลชูโครัสที่ระดับความเข้มข้นต่างๆ มาทำการละลาย พบว่าค่า %creaming index มีค่าลดลงเมื่อความเข้มข้นของน้ำตาลเพิ่มมากขึ้น (ตาราง ที่ 3) เนื่องจากน้ำตาลทำหน้าที่เป็น cryoprotectant ทำให้ส่วนที่ไม่แข็งตัวในชั้นน้ำเพิ่มขึ้นตลอด ช่วงการแช่แข็ง (Walstra, 2003) ช่วยลดผลกระทบของ freeze concentration ในอิมัลชัน ช่วยลด อัตราการโตของผลึกน้ำแข็ง (Hartel, 2001) ทำให้มีเม็ดไขมันเคลื่อนที่เข้ามาใกล้กันช้าลง และช่วยลด การเกิดผลึกที่จะกั้นทำลายหอลูเมนเบรนที่หุ้มครอปเลิท ทำให้กะทิมีความคงตัวมากขึ้น ส่งผลให้ ค่า %creaming index ที่วัดได้มีแนวโน้มลดลงเมื่อความเข้มข้นของน้ำตาลที่เติมลงในตัวอย่างกะทิ เพิ่มขึ้น

เมื่อพิจารณาในด้านลักษณะประภูมิของกะทิ จะพบว่าเมื่อความเข้มข้นของน้ำตาลเพิ่มมากขึ้นจะทำให้กะทิมีกลิ่นรสหวานมากขึ้น สีของตัวอย่างกะทิจะมีสีออกเหลืองมากขึ้น โดยตัวอย่างที่เติมน้ำตาล 40%w/v จะมีกลิ่นรสหวานมากที่สุด และจะมีสีออกเหลืองมากที่สุดเมื่อเทียบกับตัวอย่างที่ไม่ผ่านการเติมน้ำตาล (control) pH ของตัวอย่างกะทิจะมีค่าลดลงเล็กน้อยเมื่อมีการเติมน้ำตาลมากขึ้น (ตารางที่ 3) แต่ pH ที่วัดได้ยังคงมีค่าใกล้เคียงกับ control และยังคงมีค่ามากกว่า 6 แสดงว่ากะทิยังไม่เกิดการเน่าเสียหลังผ่านการเติมน้ำตาลและผ่านการแช่แข็งเป็นเวลา 45 ชั่วโมง



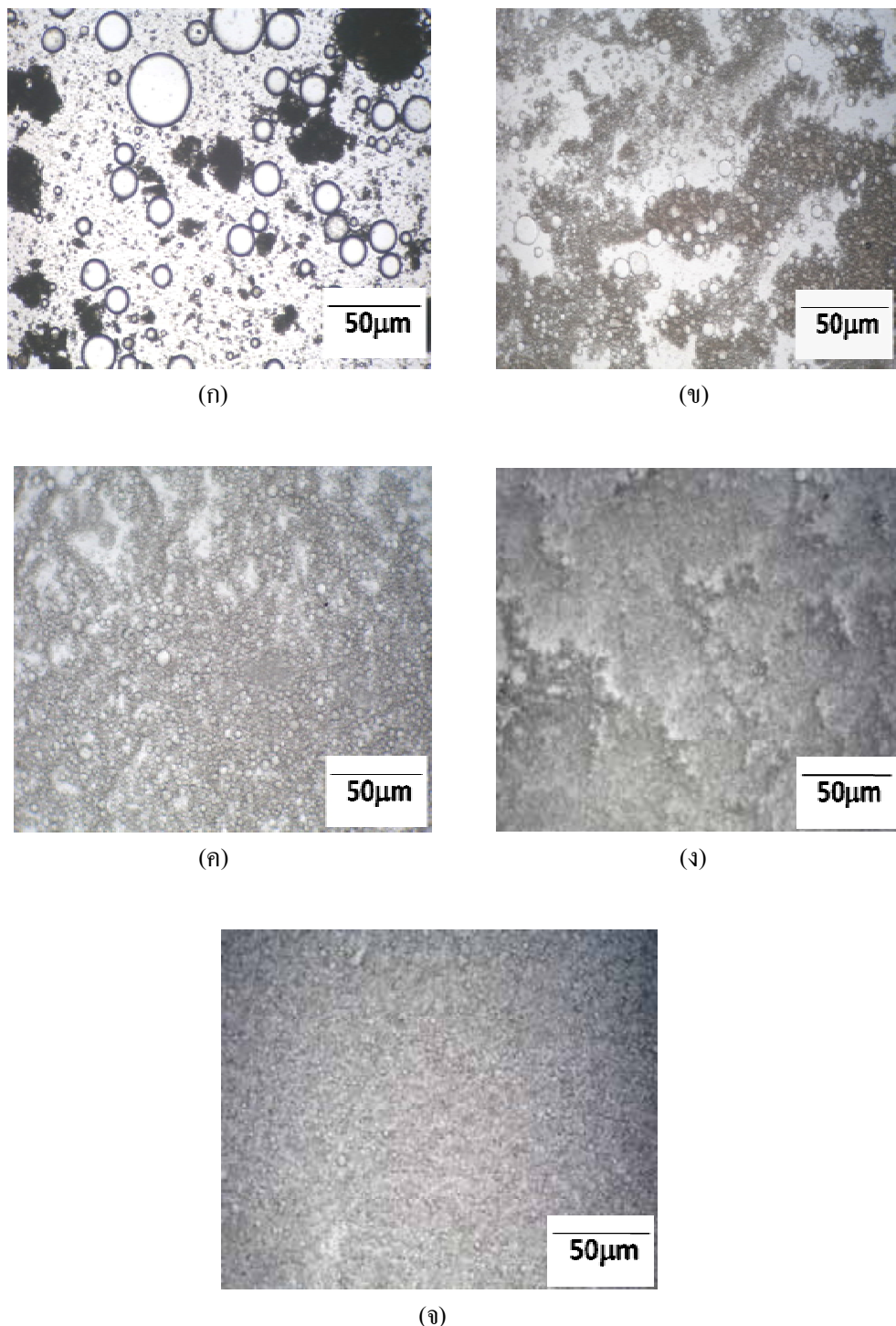
ภาพที่ 23 ค่าความหนืดของตัวอย่างกะทิที่ผ่านการเติมน้ำตาลซูโครัสที่ระดับความเข้มข้นต่างๆ ที่เวลาต่างๆ

จากภาพที่ 23 จะพบว่าค่าความหนืดของกะทิมีลักษณะที่คล้ายกันคือความหนืดจะมีแนวโน้มที่จะเปลี่ยนแปลงตามระยะเวลา จัดเป็นของไหلنอนนิวโടนียน โดยกะทิที่ผ่านการเติมน้ำตาลซูโครัส 40%w/v จะมีค่าความหนืดมากที่สุด เมื่อนำค่าความหนืดที่วัด ณ เวลาต่างๆ มาหาค่าเฉลี่ย จะได้ผลดังแสดงตารางที่ 3 ซึ่งจะพบว่าเมื่อความเข้มข้นของน้ำตาลเพิ่มมากขึ้น จะทำให้กะทิมีความหนืดเพิ่มขึ้น อันเป็นผลเนื่องมาจากการที่มีน้ำตาลละลายอยู่ในไฟล์มากขึ้น จะไปทำให้วัสดุภาคผนังมีความหนืดเพิ่มมากขึ้น ส่งผลให้กะทิมีความหนืดเพิ่มขึ้น ทำให้ครีอปเลิฟเคลื่อนที่ช้าลง อัตราการหลอมรวมตัวกันของครีอปเลิฟจึงเกิดช้าลงตามไปด้วย (McClements, 2001) ทำให้ค่าความหนืดของตัวอย่างกะทิหลังผ่านการแช่แข็ง-ละลาย มีค่าเพิ่มขึ้นตามความเข้มข้นของน้ำตาลที่เพิ่มสูงขึ้น



ภาพที่ 24 ขนาดอนุภาคของตัวอย่างกะทิที่ผ่านการเติมน้ำตาลชูโรสที่ระดับความเข้มข้นต่างๆ

จากภาพที่ 24 พบร่ววนานาขนาดอนุภาคของตัวอย่างกะทิที่ไม่ผ่านการเติมน้ำตาลชูโรสจะมีฐานกราฟว่างมากที่สุดแสดงว่าอนุภาคมีขนาดแตกต่างกันมาก ในขณะที่เมื่อมีการเติมน้ำตาลลงในตัวอย่างกะทิฐานของกราฟจะเริ่มแนบเข้า ซึ่งแสดงว่าอนุภาคเริ่มน้ำขนาดสม่ำเสมอ กันมากขึ้นโดยตัวอย่างกะทิที่เติมน้ำตาล 40%w/v จะให้กราฟที่มีฐานแนบที่สุด และแสดงว่าอนุภาคมีขนาดแตกต่างกันน้อยที่สุด เมื่อพิจารณาจากนานาขนาดอนุภาคเฉลี่ยจะลดลง และเมื่อนำตัวอย่างกะทิไปส่องดูด้วยกล้องจุลทรรศน์ (ภาพที่ 25) พบร่วว่าตัวอย่างกะทิที่ไม่ผ่านการเติมน้ำตาล ครึ่องปเลี้ยงจะมีขนาดใหญ่ (ภาพที่ 25 (ก)) เมื่อปริมาณน้ำตาลเพิ่มมากขึ้นนานาขนาดของครึ่องปเลี้ยงจะเล็กลง เมื่อเติมน้ำตาล 40%w/v (ภาพที่ 25 (จ)) จะพบว่าครึ่องปเลี้ยงมีขนาดเล็กที่สุด เนื่องจากน้ำตาลช่วยลดอุณหภูมิที่จะทำให้เกิด heterogeneous nucleation ช่วยลดอัตราการโตของผลึกน้ำแข็ง (Hartel, 2001) ทำให้ครึ่องปเลี้ยงมีขนาดเล็กลง



ภาพที่ 25 ภาพถ่ายจากกล้องจุลทรรศน์ (กำลังขยาย 40 เท่า) ของกะทิผ่านการเติมน้ำตาล
ซูโครสที่ระดับความเข้มข้นต่างๆ: (ก) 0%, (ข) 10%, (ค) 20%, (ง) 30%, และ (จ) 40%w/v

เมื่อพิจารณาผลของความถ่วงจำเพาะ (ตารางที่ 3) จะพบว่าเมื่อความเข้มข้นของน้ำตาลเพิ่มมากขึ้นค่าความถ่วงจำเพาะในส่วนของวัฎภาคน้ำจะเพิ่มมากขึ้น และค่าความถ่วงจำเพาะในส่วนของวัฎภาคน้ำมันจะลดลง เนื่องจากเมื่อมีการเติมน้ำตาลในปริมาณที่มากขึ้นน้ำตาลจะไปละลายในส่วนของวัฎภาคน้ำมากขึ้นทำให้ค่าความถ่วงจำเพาะในวัฎภาคน้ำมีค่าเพิ่มขึ้น แต่ถึงแม้ว่าค่าความถ่วงจำเพาะในส่วนของวัฎภาคน้ำจะเพิ่มมากขึ้นตามปริมาณของน้ำตาลที่มากขึ้น ซึ่งน่าจะส่งผลให้ตัวอย่างที่เติมน้ำตาลที่ระดับความเข้มข้นสูงๆเกิดการแยกชั้นครีมได้เร็วกว่า แต่เมื่อพิจารณาจากค่าความหนืดที่วัดได้ พบว่าเมื่อเติมน้ำตาลในปริมาณที่มากขึ้น ตัวอย่างจะทิ้งเม็ดความหนืดเพิ่มมากขึ้นด้วย ซึ่งผลของความหนืดที่เพิ่มขึ้นนี้น่าจะมีอิทธิพลต่อการเกิดการแยกชั้นครีมมากกว่าผลของความถ่วงจำเพาะ จึงส่งผลให้กระทบต่อการเติมน้ำตาลในปริมาณที่มากขึ้นมีค่า creaming index ลดลง

ตารางที่ 3 ผลที่ได้จากการวิเคราะห์ตัวอย่างกระทิที่ผ่านการเติมน้ำตาลชูโกรสที่ระดับความ

เข้มข้นต่างๆ

ตัวอย่างกระทิ ไขมัน 18%v/v	pH	creaming index ^x (%)	ความหนืด ^x (cP)	ขนาดอนุภาค เฉลี่ย ^y (μm)	ความถ่วงจำเพาะ ^z	
					วัฎภาคน้ำ	วัฎภาค น้ำมัน
ไม่เติมน้ำตาลชูโกรส (control)	6.43	45.12 ± 0.99 ^a	14.89 ± 1.17 ^d	12.77 ± 2.51 ^a	1.0177 ± 0.0001 ^c	0.9210 ± 0.0001 ^a
เติมน้ำตาลชูโกรส 10%w/v	6.41	41.95 ± 2.00 ^a	26.93 ± 0.86 ^c	6.20 ± 0.64 ^b	1.0637 ± 0.0004 ^d	0.9204 ± 0.0005 ^b
เติมน้ำตาลชูโกรส 20%w/v	6.40	35.45 ± 1.89 ^b	28.47 ± 1.48 ^{bc}	4.95 ± 0.44 ^b	1.0977 ± 0.0047 ^c	0.9160 ± 0.0004 ^c
เติมน้ำตาลชูโกรส 30%w/v	6.39	18.72 ± 1.07 ^c	33.20 ± 0.48 ^b	4.17 ± 0.15 ^b	1.1358 ± 0.0003 ^b	0.9146 ± 0.0004 ^d
เติมน้ำตาลชูโกรส 40%w/v	6.38	14.40 ± 1.93 ^c	39.60 ± 3.34 ^a	3.62 ± 0.15 ^b	1.1681 ± 0.0002 ^a	0.9132 ± 0.0003 ^c

หมายเหตุ : ^x เป็นค่าเฉลี่ยที่ได้จากการทดลอง 3 ครั้ง ครั้งละ 2 ชุด

^x เป็นค่าเฉลี่ยที่ได้จากการทดลอง 3 ครั้ง ครั้งละ 2 ชุด

^y เป็นค่าเฉลี่ยที่ได้จากการทดลอง 2 ครั้ง

^z เป็นค่าเฉลี่ยที่ได้จากการทดลอง 2 ครั้ง

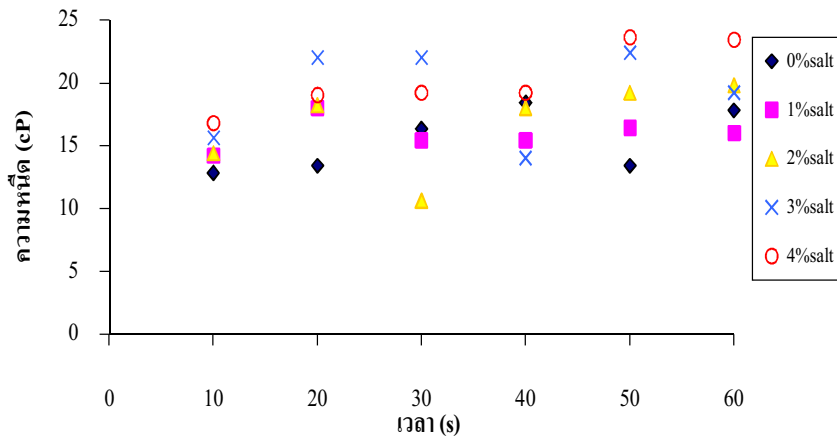
จากผลที่ได้จากตารางที่ 3 พบว่าความเข้มข้นของน้ำตาลชูโครสที่เพิ่มมากขึ้นจะทำให้ตัวอย่างกระเทียมความคงตัวต่อการแช่แข็ง-ละลายมากขึ้น ดังจะสังเกตได้จากการที่ค่า %creaming index ซึ่งเป็นค่าที่แสดงถึงการเกิดการแยกชั้นครีมของกะทิที่มีค่าลดลงจาก 45.12% เป็น 14.40% เมื่อความเข้มข้นของน้ำตาลชูโครสเพิ่มขึ้นจาก 0% เป็น 40%w/v ในขณะที่ค่าความหนืดของกะทิจะมีค่ามากขึ้นเมื่อความเข้มข้นของน้ำตาลชูโครสเพิ่มมากขึ้น โดยจะมีค่าเพิ่มขึ้นจาก 14.89 cP เป็น 39.60 cP เมื่อความเข้มข้นของน้ำตาลชูโครสเพิ่มขึ้นจาก 0% เป็น 40%w/v และค่าขนาดอนุภาคเคลือบก็มีแนวโน้มลดลงเมื่อความเข้มข้นของน้ำตาลชูโครสเพิ่มขึ้น โดยจะลดลงจาก 12.77 μm เป็น 3.62 μm เมื่อความเข้มข้นของน้ำตาลชูโครสเพิ่มขึ้นจาก 0% เป็น 40%w/v เมื่อพิจารณาผลของการถ่วงจำเพาะจะพบว่าเมื่อความเข้มข้นของน้ำตาลชูโครสเพิ่มมากขึ้นค่าความถ่วงจำเพาะในส่วนของวัตถุภาคน้ำจะเพิ่มมากขึ้น และค่าความถ่วงจำเพาะในส่วนของวัตถุภาคน้ำมันจะลดลง และเมื่อพิจารณาจากกลยุทธ์ทางจุลภาคของครีอปเลิ๊ก (ภาพที่ 25) จะพบว่าเมื่อความเข้มข้นของน้ำตาลชูโครสเพิ่มมากขึ้นครีอปเลิ๊กจะมีขนาดเล็กลง ซึ่งสอดคล้องกับงานวิจัยของ Thanasukarn et al. (2006) ที่พบว่าเมื่อความเข้มข้นของน้ำตาลชูโครสเพิ่มขึ้น จะทำให้อิมลัชนมีความคงตัวมากขึ้น เนื่องมาจากน้ำตาลมีสมบัติในการเป็น cryoprotectants การเพิ่มขึ้นของความเข้มข้นของน้ำตาลในชั้นน้ำแข็งอิมลัชจะช่วยลดจำนวนการเกิดของผลึกน้ำแข็งในช่วงการแช่แข็ง (Ghosh et al., 2006) ทำให้ free volume ที่ทำให้เกิดการเคลื่อนที่ลดต่ำลง (Le Meste et al., 1995) ความหนืดในส่วนของชั้นน้ำเพิ่มมากขึ้น ทำให้มีเดน้ำมันเคลื่อนที่เข้าหากันช้าลง เมื่อพิจารณาจากสมการของสโตกส์ ($v = 2r^2(\rho_0 - \rho_1)g/9\eta_0$) จะพบว่าอัตราเร็วในการแยกชั้นครีมจะแปรผกผันกับความหนืด ถ้าวัตถุภาคต่อเนื่องยิ่งมีความหนืดสูง จะทำให้อัตราเร็วของการแยกชั้นครีมเกิดขึ้นช้า การเติมน้ำชูโครสจะช่วยลดอัตราการโตของผลึกน้ำแข็งเมื่อเทียบกับในน้ำบริสุทธิ์ (Hartel, 2001) การที่ผลึกน้ำแข็งมีขนาดเล็กลงจะช่วยลดอัตราการทึบทะลุของผลึกน้ำแข็งเข้าสู่เม็ดน้ำมันในช่วงการแช่แข็ง ได้ดีกว่าผลึกน้ำแข็งที่มีขนาดใหญ่ การเกิดการหลอมรวมตัวกันของครีอปเลิ๊กเมื่อการเกิดละลายจึงเกิดน้อยกว่าตัวอย่างที่ไม่เติมน้ำตาลชูโครส นอกจากนี้เมื่อพิจารณาในด้านบทบาทของน้ำ และการเปลี่ยนสถานะของน้ำระหว่างกระบวนการแช่แข็ง จะพบว่าอาหารที่มีน้ำเป็นองค์ประกอบและมีตัวถูกละลาย ซึ่งในงานวิจัยนี้คือน้ำตาลชูโครสจะทำให้จุดเยือกแข็งจริงๆหรือเริ่มแรกของอาหารลดต่ำกว่าของน้ำบริสุทธิ์ (รุ่งนภา พงศ์สวัสดิ์มานิต, 2535) เมื่ออุณหภูมิลดลงจนถึงจุดเยือกแข็งของน้ำจะก่อให้เกิดผลึกน้ำแข็งของน้ำทำให้ความเข้มข้นของสารละลายที่เหลืออยู่เพิ่มขึ้น ทำให้จุดเยือกแข็งของส่วนที่ยังไม่แข็งตัวลดต่ำลงไปอีก ดังนั้นการเติมน้ำตาลชูโครสลงในตัวอย่างกะทิก่อนนำไปแช่แข็ง จะทำให้การฟอร์มตัวของผลึกน้ำแข็งเกิดช้าลง ส่วนของน้ำที่ยังไม่แข็งตัวมีมากขึ้นทำให้อัตราการเคลื่อนที่เข้าหากันของเม็ดไขมันเนื่องจากการฟอร์มตัวของผลึกน้ำแข็งเกิดช้าลง การ

หลอมรวมตัวกันจึงเกิดขั้ลงตามไปด้วย ปัจจัยต่างๆเหล่านี้ส่งผลให้น้ำกะทิมีความคงตัวต่อการแข็ง-แหลกเพิ่มขึ้น เมื่อความเข้มข้นของน้ำตาลซูโครสที่เติมลงในตัวอย่างกะทิเพิ่มขึ้น

4.3 การศึกษาความเข้มข้นของโซเดียมคลอไรด์ที่มีผลต่อความคงตัวต่อการแข็ง-แหลกของกะทิ

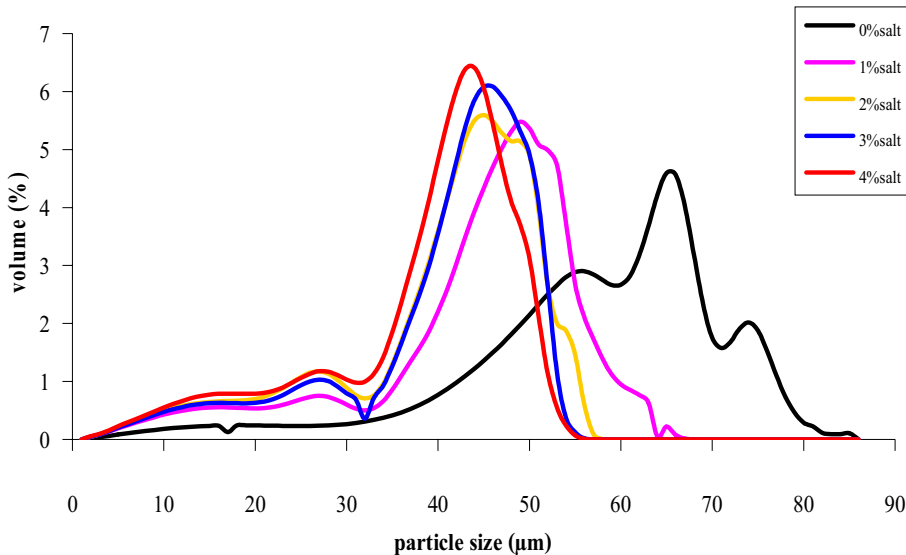
เมื่อนำตัวอย่างกะทิแข็ง-แหลกที่ผ่านการเติมเกลือโซเดียมคลอไรด์ที่ระดับความเข้มข้นต่างๆมาทำการละลาย พบร้าค่า %creaming index มีค่าลดลงเมื่อความเข้มข้นของโซเดียมคลอไรด์เพิ่มมากขึ้น (ตารางที่ 4) เนื่องจากการเติมเกลือทำให้ความสามารถในการละลายของโปรตีนที่มีส่วนที่ไม่ชอบน้ำถูกเปิดออกทำให้การละลายลดลง (salting-out) โปรตีนเกิดการตกตะกอน ทำให้ความหนืดเพิ่มขึ้น ครือเปลือกเคลื่อนที่เข้ามาใกล้ชิดกันได้ชัดเจน ทำให้กะทิมีความคงตัวมากขึ้น ส่งผลให้ค่า %creaming index ที่วัดได้มีแนวโน้มลดลงเมื่อความเข้มข้นของโซเดียมคลอไรด์ที่เติมลงในตัวอย่างกะทิเพิ่มขึ้น

เมื่อพิจารณาในด้านลักษณะประภากฎของกะทิ จะพบว่าเมื่อความเข้มข้นของโซเดียมคลอไรด์เพิ่มมากขึ้นจะทำให้กะทิมีรีสเคิ่นมากขึ้น โดยจะเริ่มรู้สึกถึงรีสเคิ่นได้เมื่อเติมโซเดียมคลอไรด์ความเข้มข้นตั้งแต่ 1%w/v ลงในตัวอย่างกะทิ ส่วนกลิ่นของกะทิยังคงกลิ่นของกะทิสดอยู่แม้ว่าจะเติมโซเดียมคลอไรด์ที่ระดับความเข้มข้น 4%w/v ก็จะไม่ส่งผลต่อกลิ่นของกะทิ สีของตัวอย่างกะทิที่ผ่านการเติมโซเดียมคลอไรด์จะมีสีใกล้เคียงกับตัวอย่างกะทิที่ไม่ผ่านการเติมโซเดียมคลอไรด์ โดยตัวอย่างที่เติมโซเดียมคลอไรด์ 4%w/v จะมีรีสเคิ่นมากที่สุด ในขณะที่สีและกลิ่นยังคงมีลักษณะใกล้เคียงกับกะทิที่ไม่ผ่านการเติมโซเดียมคลอไรด์ pH ของตัวอย่างกะทิจะมีค่าลดลงค่อนข้างมาก เมื่อมีการเติมโซเดียมคลอไรด์มากขึ้น (ตารางที่ 4) ซึ่งค่า pH ที่ลดลงเป็นผลมาจากการแข็งของโซเดียมคลอไรด์ที่เพิ่มมากขึ้น แต่ตัวอย่างกะทิยังไม่เกิดการเน่าเสียแม้ว่าจะผ่านการเติมโซเดียมคลอไรด์และผ่านการแข็ง-แหลกเป็นเวลา 45 ชั่วโมงแล้วก็ตาม



ภาพที่ 26 ค่าความหนืดของตัวอย่างกะทิที่ผ่านการเติมเกลือโซเดียมคลอไรด์ที่ระดับความเข้มข้นต่างๆที่เวลาต่างๆ

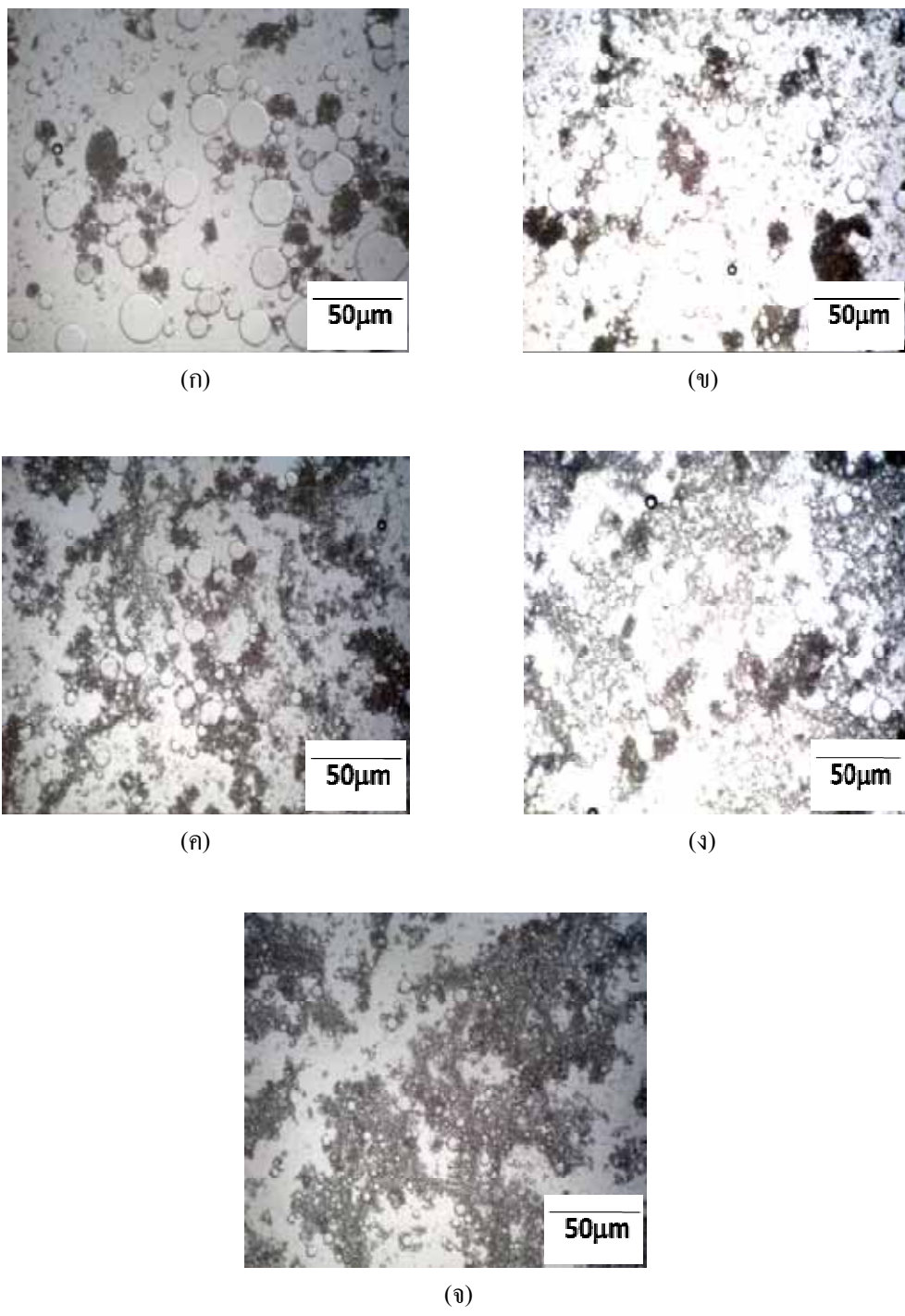
จากภาพที่ 26 จะพบว่าค่าความหนืดของกะทิมีแนวโน้มที่จะเปลี่ยนแปลงตามระยะเวลาซึ่งเป็นพฤติกรรมการไหลของของเหลวอนนิวโโนเจน โดยกะทิที่ผ่านการเติมโซเดียมคลอไรด์ 4%w/v จะมีค่าความหนืดมากที่สุด เมื่อนำค่าความหนืดที่วัดณ เวลาต่างๆ มาหาค่าเฉลี่ย จะได้ผลดังแสดงในตารางที่ 4 ซึ่งจะพบว่าเมื่อความเข้มข้นของโซเดียมคลอไรด์เพิ่มมากขึ้น จะทำให้กะทิมีความหนืดเพิ่มขึ้น อันเป็นผลเนื่องมาจากการที่มีโซเดียมคลอไรด์ละลายอยู่ในภูภานจำนวนมากขึ้น เกิดแรงกระทำระหว่างประจุของอนุภาค (electro-viscous effect) ทำให้ความหนืดของอิมัลชันเพิ่มขึ้น (มณฑา ภานุมากรณ์, 2552) ทำให้ค่าความหนืดของตัวอย่างกะทิหลังผ่านการแช่แข็ง-ละลายมีค่าเพิ่มขึ้นตามความเข้มข้นของโซเดียมคลอไรด์ที่เพิ่มสูงขึ้น



ภาพที่ 27 ขนาดอนุภาคของตัวอย่างกระทิที่ผ่านการเติมเกลือโซเดียมคลอไรด์ที่ระดับความเข้มข้นต่างๆ

จากภาพที่ 27 จะพบว่าขนาดอนุภาคของตัวอย่างกระทิที่ไม่ผ่านการเติมเกลือโซเดียมคลอไรด์จะมีฐานของกราฟที่กว้างมากที่สุด เมื่อมีการเติมเกลือในปริมาณที่มากขึ้น ฐานของกราฟจะค่อยๆ เคบลง ซึ่งแสดงว่าขนาดของอนุภาคมีขนาดสนิมีมากขึ้น โดยจะพบว่าการเติมเกลือโซเดียมคลอไรด์ 4% w/v จะทำให้ได้กราฟที่มีฐานแคบที่สุด เมื่อพิจารณาจากผลของขนาดอนุภาคเฉลี่ยดังแสดงในตารางที่ 4 จะพบว่าเมื่อความเข้มข้นของเกลือเพิ่มมากขึ้นขนาดอนุภาคเฉลี่ยจะลดลง และเมื่อนำไปส่องดูด้วยกล้องจุลทรรศน์ (ภาพที่ 28) จะพบว่าตัวอย่างกระทิที่ไม่ผ่านการเติมเกลือ ครีอปเลิทมีขนาดใหญ่ (ภาพที่ 28 (ก)) แต่มีการเติมเกลือโซเดียมคลอไรด์ในปริมาณที่มากขึ้นจะทำให้ขนาดของครีอปเลิทเล็กลง การเติมเกลือ 4% w/v (ภาพที่ 28 (จ)) ลงในตัวอย่างกระทิจะทำให้ครีอปเลิทมีขนาดเล็กที่สุด เนื่องจากเกลือทำให้เกิด electrostatic repulsion ในส่วนของชั้นน้ำทำให้ครีอปเลิทเคลื่อนที่เข้าใกล้กันได้ช้าลง อัตราการหลอมรวมตัวกันจึงเกิดช้าลง (McClements, 1999) ขนาดของครีอปเลิทที่สังเกตได้จากการดูด้วยกล้องจุลทรรศน์จึงมีขนาดเล็ก

เมื่อพิจารณาผลของความถ่วงจำเพาะ (ตารางที่ 4) จะพบว่าเมื่อความเข้มข้นของเกลือเพิ่มมากขึ้นค่าความถ่วงจำเพาะในส่วนของวัสดุภาคน้ำมันจะลดลงจนอาจถือได้ว่าไม่มีความแตกต่างกันทางสถิติ ($p > 0.05$)



ภาพที่ 28 ภาพถ่ายจากกล้องจุลทรรศน์ (กำลังขยาย 40 เท่า) ของกะทิผ่านการเติมเกลือโซเดียมคลอไรด์ที่ระดับความเข้มข้นต่างๆ: (ก) 0%, (ข) 1%, (ค) 2%, (ง) 3%, และ (จ) 4% w/v

ตารางที่ 4 ผลที่ได้จากการวิเคราะห์ตัวอย่างกะทิที่ผ่านการเติมเกลือโซเดียมคลอไรด์ที่ระดับ

ความเข้มข้นต่างๆ

ตัวอย่างกะทิ ไขมัน 18%v/v ผ่านการ พาสเจอร์ไซซ์	pH	creaming index ^w (%)	ความหนืด ^x (cP)	ขนาดอนุภาค เฉลี่ย ^y (μm)	ความถ่วงจำเพาะ ^z	
					วัฏภาคคำน้ำ	วัฏภาค น้ำมัน
ไม่เติม	6.42	44.36	15.35	17.28	1.0176	0.9212
โซเดียมคลอไรด์ (control)		± 2.96 ^a	± 1.17 ^c	± 1.04 ^a	± 0.0001 ^a	± 0.0001 ^a
เติมโซเดียม คลอไรด์ 1%w/v	6.18	38.01	15.90	8.02	1.0242	0.9206
เติมโซเดียม คลอไรด์ 2%w/v	6.10	35.67	16.70	6.40	1.0250	0.9204
เติมโซเดียม คลอไรด์ 3%w/v	6.05	30.75	19.20	6.77	1.0255	0.9199
เติมโซเดียม คลอไรด์ 4%w/v	5.97	27.26	20.20	5.74	1.0272	0.9197

หมายเหตุ : ^w เป็นค่าเฉลี่ยที่ได้จากการทดลอง 3 ครั้ง ครั้งละ 2 ช้อน

^x เป็นค่าเฉลี่ยที่ได้จากการทดลอง 3 ครั้ง ครั้งละ 2 ช้อน

^y เป็นค่าเฉลี่ยที่ได้จากการทดลอง 2 ครั้ง

^z เป็นค่าเฉลี่ยที่ได้จากการทดลอง 2 ครั้ง

จากผลที่ได้จากการทดลองที่ 4 พบว่าความเข้มข้นของเกลือโซเดียมคลอไรด์ที่เพิ่มมากขึ้นจะทำให้ตัวอย่างกะทิมีความคงตัวต่อการแซะแข็ง-ละลายมากขึ้น ดังจะสังเกตได้จากการที่ค่า %creaming index ซึ่งเป็นค่าที่แสดงถึงการเกิดการแยกชั้นครีมของกะทิที่มีค่าลดลงจาก 44.36% เป็น 27.26% เมื่อความเข้มข้นของโซเดียมคลอไรด์เพิ่มขึ้นจาก 0% เป็น 4%w/v ในขณะที่ค่าความหนืดของกะทิจะมีค่ามากขึ้นเมื่อความเข้มข้นของโซเดียมคลอไรด์เพิ่มมากขึ้น โดยจะมีค่าเพิ่มขึ้นจาก 15.35 cP เป็น 20.20 cP เมื่อความเข้มข้นของโซเดียมคลอไรด์เพิ่มขึ้นจาก 0% เป็น 4%w/v

และขนาดอนุภาคเคลือบก็มีแนวโน้มลดลงเมื่อความเข้มข้นของโซเดียมคลอไรด์เพิ่มขึ้น โดยจะลดลงจาก $17.28 \mu\text{m}$ เป็น $5.74 \mu\text{m}$ เมื่อความเข้มข้นของโซเดียมคลอไรด์เพิ่มขึ้นจาก 0% เป็น 4% w/v เมื่อพิจารณาผลของการถ่วงจำเพาะจะพบว่าเมื่อความเข้มข้นของโซเดียมคลอไรด์เพิ่มมากขึ้นค่าความถ่วงจำเพาะในส่วนของวัตถุภาคน้ำจะเพิ่มมากขึ้น และค่าความถ่วงจำเพาะในส่วนของวัตถุภาคน้ำมันจะลดลงเล็กน้อย และเมื่อพิจารณาจากลักษณะทางจุลภาคของครีอปเลิท (ภาพที่ 28) จะพบว่าเมื่อความเข้มข้นของโซเดียมคลอไรด์เพิ่มมากขึ้นครีอปเลิทจะมีขนาดเล็กลง

จากผลที่ได้พบว่าจะขัดแข็งกับผลจากการวิจัยก่อนหน้านี้ของ Thanasukarn et al.

(2004a) ที่ศึกษาผลของการเติมเกลือ (NaCl) ความเข้มข้น 0 และ 150 mmol/kg ต่อความคงตัวในการแข็ง-ละลายของ 20%wt hydrogenated palm oil emulsions โดยใช้ WPI เป็นอิมัลชิฟเออร์พบว่าเมื่อมีการเติมเกลือลงในอิมัลชันจะทำให้ความคงตัวของอิมัลชันลดลง เนื่องจากเกลือจะไปลดปฏิกิริยาสัมพันธ์ของ electrostatic repulsion ระหว่างเม็ดน้ำมันที่ถูกทำให้ความด้าย WPI ทำให้ปฏิกิริยาสัมพันธ์ระหว่างแรงดึงดูดจะมีมากกว่า จึงเกิดการเกาะกลุ่มกัน และนำไปสู่การเกิดการหลอมรวมตัวกันบางส่วน ซึ่งเกิดจากครีอปเลิทอยู่ใกล้กันมากขึ้นทำให้อิมัลชันแตกตะกรอน ส่งผลให้ง่ายต่อการที่ผลึกไบน้ำจากครีอปเลิทหนึ่งจะแทรกผ่านส่วนของของเหลวไปสู่ครีอปเลิทอื่นๆ และจากผลงานวิจัยของ Thanasukarn et al. (2006) ที่ศึกษาผลของการเติมเกลือ (NaCl) ความเข้มข้น 0 และ 150 mmol/kg ต่อความคงตัวในการแข็ง-ละลายของ 20%wt hydrogenated palm oil emulsions โดยใช้ Tween 20 เป็นอิมัลชิฟเออร์ พบร่วมกับความถ่วงจำเพาะของอิมัลชันที่ใช้ WPI เป็นอิมัลชิฟเออร์จะทำให้อิมัลชันมีความคงตัวต่อการแข็ง-ละลายมากกว่าใช้ Tween 20 เป็นอิมัลชิฟเออร์ ซึ่งจากงานวิจัยดังกล่าวข้างต้นนี้เป็นการศึกษาผลของการเติมเกลือลงในอิมัลชันในสภาพที่ไม่ได้มีการให้ความร้อนแก่อิมัลชันในระดับพาสเจอไรซ์ ดังนั้นผู้วิจัยจึงได้ทำการทดลองเพิ่มเติมโดยทดลองเติมเกลือลงในตัวอย่างกระที่ผ่านและไม่ผ่านการให้ความร้อนในระดับพาสเจอไรซ์ (ผลดังแสดงในภาคผนวก ค) พบร่วมกับการเติมเกลือลงในตัวอย่างกระที่ผ่านการให้ความร้อนในระดับพาสเจอไรซ์จะทำให้กระที่มีความคงตัวต่อการแข็ง-ละลายมากกว่าตัวอย่างที่ไม่ผ่านการให้ความร้อน ซึ่งผู้วิจัยสันนิษฐานว่าการให้ความร้อนร่วมกับการเติมเกลือจะช่วยทำให้อิมัลชันมีความคงตัวมากขึ้น โดยความร้อนจะไปทำให้โปรตีนที่มีในน้ำกะทิชั่น อัลบูมิน โกลบูลิน โปรแลmine และกลูเตลิน ซึ่งทำหน้าที่เป็นอิมัลชิฟเออร์ตามธรรมชาติ เกิดการคลายเคลียไว้ได้ง่ายขึ้น เกิดการเปลี่ยนแปลงการจัดเรียงตัวของโมเลกุลโปรตีน เพราะ side chain ของกรดอะมิโนที่เป็นส่วนที่ไม่ชอบน้ำในโมเลกุลของโปรตีนซึ่งในสภาพธรรมชาติ side chain ของกรดอะมิโนจะฝังอยู่ภายในโมเลกุลของโปรตีนแต่เมื่อโปรตีนเกิดการเสียสภาพเนื่องจากได้รับความร้อนจากการพาสเจอไรซ์ ส่วนของ side chain

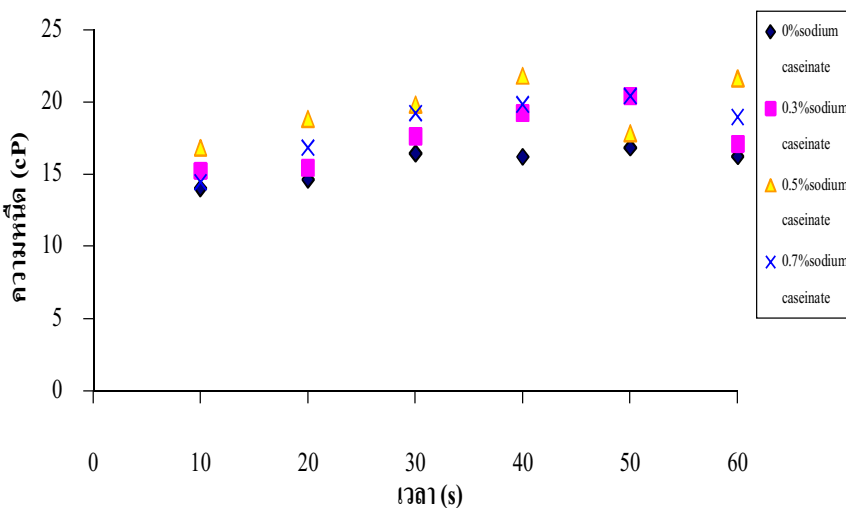
ดังกล่าวถูกเปิดออกและไปจับกับส่วนที่ขอบน้ำมันของสารอิมัลซีไฟเบอร์ โดยจะเกิดการดูดซับอยู่ที่บริเวณพื้นผิวของสายยาวของโปรตีน ทำให้โปรตีนเกิดโครงสร้างใหม่ที่พิวาร์มระหว่างน้ำมันกับน้ำซึ่งทำหน้าที่กีดขวางการรวมตัวของเม็ดไขมัน กะทิที่ผ่านการให้ความร้อนระดับพาสเจอ ไรซ์ชิ้งมีความคงตัวมากกว่ากะทิที่ไม่ผ่านการให้ความร้อน เมื่อมีการเติมเกลือลงในกะทิที่ผ่านการให้ความร้อน โนแมเลกุลของเกลือและส่วนของน้ำที่ยังไม่แข็งตัวจะเกิดพันธะไฮโดรเจนกับโนแมเลกุลของโปรตีน ที่ถูกดูดซับที่พื้นผิวของครีอปเลท ป้องกันการเปลี่ยนโครงสร้างของโปรตีนจากการสูญเสียน้ำออกจากโนแมเลกุลของโปรตีน ช่วยลดการเกิดปฏิกิริยาพันธ์ของไฮโดรฟوبิกที่จะทำให้ส่วนที่เป็น hydrophobic ในโปรตีนเกิดแรงดึงดูด รวมตัวกันและแยกออกจากน้ำในที่สุด เมื่อพิจารณาจากปฏิกิริยาพันธ์โดยรวมของอิมัลชัน จะพบว่าแม้ว่าการเติมเกลือจะทำให้ปฏิกิริยาพันธ์ไฮโดรฟิลลดลงแต่ก็ส่งผลให้ปฏิกิริยาพันธ์ไฮโดรฟอบิกลดลง และทำให้ปฏิกิริยาพันธ์สเทียริกเพิ่มมากขึ้นทำให้ปฏิกิริยาพันธ์ระหว่างแรงดึงดูดมีมากกว่าทำให้กะทิมีความคงตัวต่อการแช่แข็ง-ละลายเพิ่มขึ้น เมื่อความขึ้นขันของเกลือเพิ่มขึ้น นอกจากนี้อาจเกิดจากการเกิด salting-out ของโปรตีน เนื่องจากการเติมเกลือ ทำให้โปรตีนตกตะกอน ดังจะสังเกตได้จากภาพที่ 28 ที่พบกลุ่มก้อนสีดำในปริมาณที่มากขึ้นตามความขึ้นขันของเกลือที่เพิ่มขึ้น ซึ่งกลุ่มก้อนสีดำที่พบจากภาพถ่ายน่าจะเป็นกลุ่มของโปรตีนที่เกิดการตกตะกอน เกิดการเกาะขับกัน ทำให้ความหนืดเพิ่มขึ้น (ผลตั้งแสดงในตารางที่ 4) ครีอปเลทเคลื่อนที่เข้ามาใกล้ชิดกันได้ช้าลง กะทิจิ้งมีความคงตัวมากขึ้น McClements (1999) กล่าวว่าเกลือไฮเดรย์มคลอไฮร์ดมีผลต่อความคงตัวของอิมัลชัน และการเปลี่ยนโครงสร้างของน้ำ โครงสร้างและปฏิกิริยาพันธ์ระหว่างโนแมเลกุลน้ำที่มีไฮอ่อนอยู่มีแนวโน้มที่จะปรับตัวโดยหันส่วนที่มีประจุตรงข้ามเข้าหากันอ่อนนึนเกิดการจับตัวกันของน้ำกับไฮอ่อน ทำให้เคลื่อนที่ได้ช้าลง ลดแรงดึงดูด ความหนาแน่นเพิ่มขึ้น จุดเยือกแข็งลดลง ในช่วงของการแช่แข็ง ตัวอย่างที่ผ่านการเติมเกลือจะเกิดผลึกน้ำแข็งขากว่า เพราะเมื่ออุณหภูมิลดลงจนถึงจุดเยือกแข็งของน้ำ จะก่อให้เกิดผลึกน้ำแข็งของน้ำทำให้ความขึ้นขันของสารละลายเกลือที่เหลืออยู่เพิ่มขึ้น ทำให้จุดเยือกแข็งของส่วนที่ยังไม่แข็งตัวลดต่ำลงไปอีก การฟอร์มตัวของผลึกน้ำแข็งในส่วนของวัฏภาคน้ำเกิดช้าลง ส่วนของน้ำที่ยังไม่แข็งตัวมีมากขึ้น อัตราการเคลื่อนที่เข้ามาใกล้ชิดกันของเม็ดน้ำมันเกิดช้าลง การหลอมรวมตัวกันหลังผ่านการละลายจึงเกิดช้าลงตามไปด้วย และจากการของสโตกส์จะพบว่าอัตราเร็วในการแยกชั้นครีมจะแปรผกผันกับความหนืด ถ้าวัฏภาคน้ำที่เนื่องยิ่งมีความหนืดสูง จะทำให้อัตราเร็วของการแยกชั้นครีมเกิดขึ้นช้า จากปัจจัยต่างๆ ที่กล่าวมาข้างต้น จึงส่งผลให้กะทิมีความคงตัวต่อการแช่แข็ง-ละลายเพิ่มขึ้น เมื่อความขึ้นขันของเกลือไฮเดรย์มคลอไฮร์ดเพิ่มสูงขึ้น

4.4 การศึกษาความเข้มข้นของอิมัลชันไฟโออร์ที่มีผลต่อความคงตัวต่อการแช่แข็ง-ละลายของกะทิ

4.4.1 การศึกษาความเข้มข้นของโซเดียมเคซีเนทที่มีผลต่อความคงตัวต่อการแช่แข็ง-ละลายของกะทิ

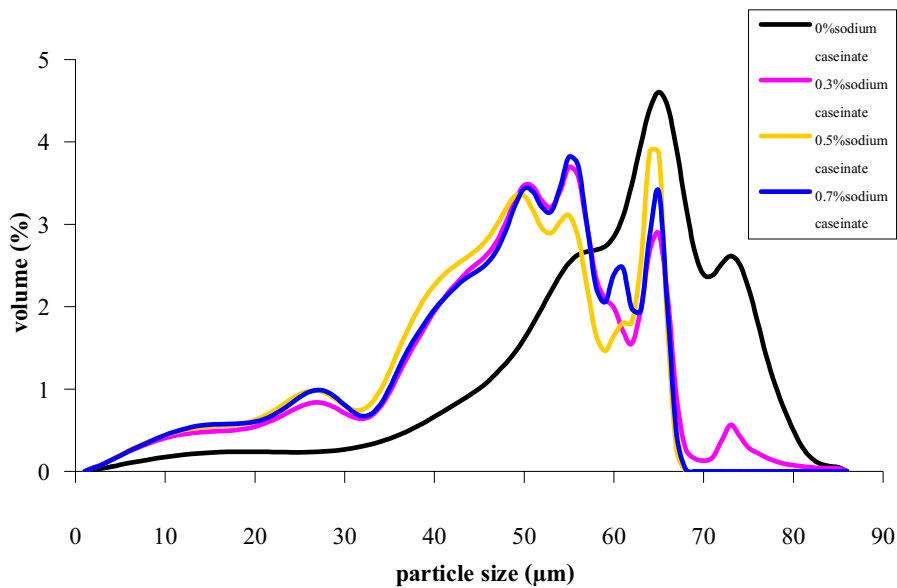
เมื่อนำตัวอย่างกะทิแช่แข็งที่ผ่านการเติมโซเดียมเคซีเนทที่ระดับความเข้มข้นต่างๆมาทำการละลายพบว่าค่า %creaming index มีแนวโน้มลดลงเมื่อความเข้มข้นของโซเดียมเคซีเนทมากขึ้น (ตารางที่ 5) เนื่องจากโซเดียมเคซีเนทจัดเป็นโปรตีนที่มีความยืดหยุ่น สามารถแพร่กระจายที่ผิวรวมระหว่างน้ำมันกับน้ำ ปาริชตร วงศ์ประภาส (2545) กล่าวว่าการรักษาความคงตัวของอิมัลชันโดยโมเลกุลที่ผิวสัมผัสร่วมทำได้เนื่องจากโมเลกุลขนาดใหญ่ที่อยู่ระหว่างพื้นผิวของอนุภาคในวัฏภาพที่กระจายตัวกับวัฏภาพต่อเนื่องมีความยืดหยุ่น และ/หรือมีความหนาเพียงพอ ส่วนใหญ่แล้วโมเลกุลเหล่านี้มักมีสมบัติเป็นโมเลกุลแอมฟิไฟล์ เช่น โปรตีน ซึ่งมีทั้งส่วนที่กระจายตัวໄวดีในน้ำ และส่วนที่กระจายตัวໄวดีในน้ำมัน ทำให้เกิดการดูดซับที่ผิวสัมผัสร่วมของอิมัลชัน หลังจากที่โปรตีนถูกดูดซับแล้ว จะเกิดการเสียสภาพที่พื้นผิวของอิมัลชัน ทำให้โปรตีนเกิดโครงสร้างใหม่ที่ผิวสัมผัสร่วมระหว่างน้ำกับน้ำมันซึ่งทำหน้าที่กีดขวางการรวมตัวกันของครีอปเลิฟไขมัน ทำให้กะทิมีความคงตัวมากขึ้น ส่งผลให้ค่า %creaming index ที่วัดได้มีแนวโน้มลดลงเมื่อความเข้มข้นของโซเดียมเคซีเนทที่เติมลงในตัวอย่างกะทิเพิ่มขึ้น

เมื่อพิจารณาในด้านลักษณะประภูมิของกะทิ จะพบว่าความเข้มข้นของโซเดียมเคซีเนทที่เพิ่มมากขึ้น ไม่ส่งผลต่อกลิ่นรสของกะทิ กล่าวคือกะทิที่เติมโซเดียมเคซีเนทจะยังคงมีสี กลิ่นและรสชาติใกล้เคียงกับตัวอย่างกะทิที่ไม่เติมโซเดียมเคซีเนท (control) pH ของตัวอย่างกะทิจะมีค่าใกล้เคียงกับ control และยังค่ามีค่ามากกว่า 6 (ตารางที่ 5) แสดงว่ากะทิยังไม่เกิดการเน่าเสียหลังผ่านการเติมโซเดียมเคซีเนทและผ่านการแช่แข็งเป็นเวลา 45 ชั่วโมง



ภาพที่ 29 ค่าความหนืดของตัวอย่างกะทิที่ผ่านการเติมโซเดียมเคชีนที่ระดับความเข้มข้นต่างๆ ที่เวลาต่างๆ

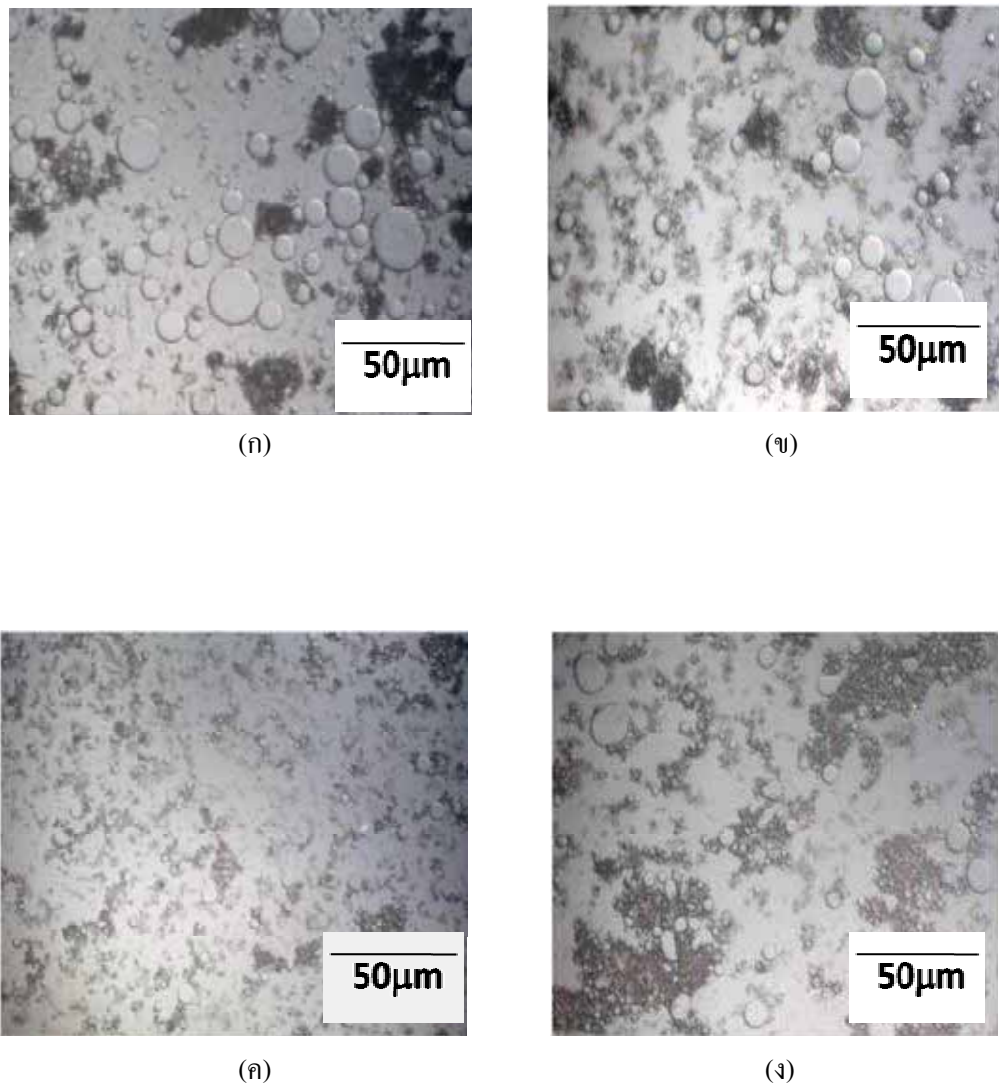
จากภาพที่ 29 จะพบว่าค่าความหนืดของกะทิมีแนวโน้มที่จะเปลี่ยนแปลงตามระยะเวลาซึ่งเป็นพุตติกรรมการไหลของของไหลงอนนิวโตเนียน กะทิที่ผ่านการเติมโซเดียมเคชีนที่ 0.5% w/v จะมีค่าความหนืดมากที่สุด เมื่อนำค่าความหนืดที่วัด ณ เวลาต่างๆ มาคำนวณแล้วจะได้ผลดังแสดงในตารางที่ 5 พบว่าเมื่อความเข้มข้นของโซเดียมเคชีนเพิ่มมากขึ้น ความหนืดของตัวอย่างกะทิมีแนวโน้มที่จะเพิ่มขึ้น อันเป็นผลเนื่องมาจากการที่โซเดียมเคชีนทำให้เกิดฟิล์มที่มีความยืดหยุ่นที่ผิวสัมผัสร่วมของน้ำกับน้ำมัน ช่วยป้องกันการทึบแทบของกลีกน้ำแข็งเข้าสู่เม็ดไขมัน ทำให้ครีปเลี้ยทเคลื่อนที่เข้าหากันได้ช้าลง อิมัลชันมีความคงตัวมากขึ้น (ประพัตร วงศ์ประภาส, 2545) โซเดียมเคชีนส่วนที่เหลือจากการเกิดเป็นฟิล์มจะเพิ่มความหนืดให้กับอิมัลชัน ส่งผลให้กะทิมีแนวโน้มที่จะมีความหนืดเพิ่มขึ้นเมื่อเทียบกับกะทิที่ไม่ผ่านการเติมโซเดียมเคชีนท



ภาพที่ 30 ขนาดอนุภาคของตัวอย่างกะทิที่ผ่านการเติมโซเดียมเคชีนท์ระดับความเข้มข้นต่างๆ

จากภาพที่ 30 จะพบว่าเส้นกราฟของกะทิที่ไม่ผ่านการเติมโซเดียมเคชีนจะมีรูปของกราฟที่กว้างที่สุด เมื่อมีการเติมโซเดียมเคชีนลดลงในตัวอย่างกะทิจะทำให้ขนาดอนุภาคหลังผ่านการแข็ง梆-ละลายมีขนาดที่ยังคงมากกว่าตัวอย่างที่ไม่ผ่านการเติมโซเดียมเคชีนท์ ดังจะเห็นได้จากรูปของกราฟที่เบ眷ลง โดยกราฟของตัวอย่างกะทิที่เติมโซเดียมเคชีนท์ 0.5 และ 0.7%w/v จะมีขนาดใกล้เคียงกัน และกะทิที่เติมโซเดียมเคชีนท์ 0.5%w/v จะมีขนาดอนุภาคเฉลี่ยเล็กที่สุด (ตารางที่ 5) และเมื่อส่องดูด้วยกล้องจุลทรรศน์ (ภาพที่ 31) จะพบว่าตัวอย่างกะทิที่ไม่ผ่านการเติมโซเดียมเคชีนท์ ครึ่องปะเลือกจะมีขนาดใหญ่ (ภาพที่ 31 (ก)) เมื่อปริมาณโซเดียมเคชีนเพิ่มมากขึ้นขนาดของครึ่องปะเลือกจะเล็กลง การเติมโซเดียมเคชีนท์ 0.5%w/v (ภาพที่ 31 (ค)) ลงในตัวอย่างกะทิจะทำให้ครึ่องปะเลือกมีขนาดเล็กที่สุด เนื่องจากโซเดียมเคชีนท์ทำให้เกิดพิล์มที่ผิวสัมผัสร่วม ทำให้มีดีไซน์เคลือบเนื้อที่เข้ามาใกล้กันชัดเจน อัตราการหลอมรวมตัวกันของครึ่องปะเลือกจึงเกิดช้าลง ครึ่องปะเลือกจึงมีขนาดเล็ก

เมื่อพิจารณาผลของความถ่วงจำเพาะ (ตารางที่ 5) จะพบว่าเมื่อความเข้มข้นของโซเดียมเคชีนเพิ่มมากขึ้นค่าความถ่วงจำเพาะในส่วนของวัสดุกาน้ำจะเพิ่มขึ้นเพียงเล็กน้อย และค่าความถ่วงจำเพาะในส่วนของวัสดุกาน้ำมันจะลดลงเพียงเล็กน้อยเช่นกัน จนอาจถือได้ว่าไม่มีการเปลี่ยนแปลงทางสถิติ ($p > 0.05$)



ภาพที่ 31 ภาพถ่ายจากกล้องจุลทรรศน์ (กำลังขยาย 40 เท่า) ของกะทิที่ผ่านการเติมโซเดียม
酇ิเนทที่ระดับความเข้มข้นต่างๆ: (ก) 0%, (ข) 0.3%, (ค) 0.5% และ (ง) 0.7% w/v

ตารางที่ 5 ผลที่ได้จากการวิเคราะห์ตัวอย่างกะทิที่ผ่านการเติมโซเดียมเกซีเนทที่ระดับความ

เข้มข้นต่างๆ

ตัวอย่างกะทิ ไขมัน 18%v/v ผ่านการ พาสเจอร์ไรซ์	pH	creaming index ^a (%)	ความหนืด ^x (cP)	ขนาดอนุภาค เฉลี่ย ^y (μm)	ความถ่วงจำเพาะ ^z	
					วัฏภาคน้ำ ^{น้ำมัน}	วัฏภาค
						น้ำมัน
ไม่เติมโซเดียม เกซีเนท (control)	6.43	42.51	15.53	18.38	1.0176	0.9212
เติมโซเดียม เกซีเนท 0.3%w/v		± 3.89 ^a	± 0.33 ^a	± 0.85 ^a	± 0.0001 ^a	± 0.0001 ^a
เติมโซเดียม เกซีเนท 0.5%w/v	6.41	38.23	17.48	8.40	1.0179	0.9210
		± 0.35 ^a	± 1.52 ^a	± 1.56 ^b	± 0.0001 ^a	± 0.0001 ^a
เติมโซเดียม เกซีเนท 0.7%w/v	6.41	37.36	19.43	7.57	1.0181	0.9208
		± 2.09 ^a	± 2.64 ^a	± 0.50 ^b	± 0.0001 ^a	± 0.0002 ^a
เติมโซเดียม เกซีเนท 0.5%w/v	6.41	37.44	18.26	7.67	1.0183	0.9206
		± 5.00 ^a	± 1.67 ^a	± 0.18 ^b	± 0.0001 ^a	± 0.0001 ^a

หมายเหตุ : ^a เป็นค่าเฉลี่ยที่ได้จากการทดลอง 3 ครั้ง ครั้งละ 2 ชั้น

^x เป็นค่าเฉลี่ยที่ได้จากการทดลอง 3 ครั้ง ครั้งละ 2 ชั้น

^y เป็นค่าเฉลี่ยที่ได้จากการทดลอง 2 ครั้ง

^z เป็นค่าเฉลี่ยที่ได้จากการทดลอง 2 ครั้ง

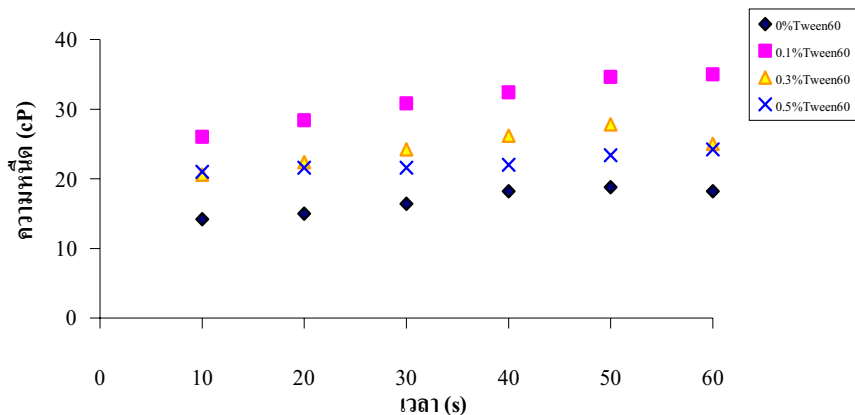
จากผลที่ได้จากการทดลองที่ 5 พบว่าความเข้มข้นของโซเดียมเกซีเนทที่เพิ่มมากขึ้นจะทำให้ตัวอย่างกะทิมีความคงตัวต่อการแช่แข็ง-ละลายมากขึ้น ดังจะสังเกตได้จากการที่ค่า %creaming index มีค่าลดลงจาก 42.51% เป็น 37.36% เมื่อความเข้มข้นของโซเดียมเกซีเนทเพิ่มขึ้นจาก 0% เป็น 0.5%w/v ในขณะที่ค่าความหนืดของกะทิจะมีค่าเพิ่มขึ้นจาก 15.53 cP เป็น 19.43 cP เมื่อความเข้มข้นของโซเดียมเกซีเนทเพิ่มขึ้นจาก 0% เป็น 0.5%w/v และขนาดอนุภาคเฉลี่ยก็มีแนวโน้มลดลง เมื่อความเข้มข้นของโซเดียมเกซีเนทเพิ่มขึ้น โดยจะลดลงจาก 18.38 μm เป็น 7.57 μm เมื่อความเข้มข้นของโซเดียมเกซีเนทเพิ่มขึ้นจาก 0% เป็น 0.5%w/v เมื่อพิจารณาผลของความถ่วงจำเพาะจะพบว่าเมื่อความเข้มข้นของโซเดียมเกซีเนทเพิ่มมากขึ้นค่าความถ่วงจำเพาะในส่วนของวัฏภาคน้ำจะเพิ่มขึ้นเพียงเล็กน้อย และค่าความถ่วงจำเพาะในส่วนของวัฏภาคน้ำมันจะลดลงเพียงเล็กน้อยเช่นกัน

และเมื่อพิจารณาจากลักษณะทางชลภาคของครีอปเล็ท (ภาพที่ 31) จะพบว่าเมื่อความเข้มข้นของโซเดียม酇ิโนทเพิ่มมากขึ้นครึ่งอีกหนึ่งครึ่งอีกหนึ่งครึ่งจะมีขนาดเล็กลง จากสมการของสโตกส์จะพบว่าอัตราเร็วในการแยกชั้นครีมจะแปรผกผันกับความหนืด Dickinson (1993) กล่าวว่าโปรตีนจะมีบทบาทสำคัญในการรักษาความคงตัวของอิมัลชันในระยะยาวโดยไม่เลกุลหรืออนุภาคที่ผิวร่วม การคุณซับของโปรตีนที่ผิวร่วมระหว่างน้ำมันกับน้ำเกิดขึ้นเนื่องจากการคลายเกลี่ยหรือการเสียสภาพของโปรตีนในระหว่างกระบวนการผลิต เช่น การให้แรงเพื่อในระหว่างการโซโนมิจไนซ์ ทำให้โปรตีนส่วนที่กระจายตัวในน้ำมันได้ดี หันเข้าหาพื้นผิวของไขมัน ในขณะที่ส่วนที่กระจายตัวในน้ำได้ดี หันเข้าหาวัฏภาชนะน้ำดังนั้นเม็ดไขมันที่ถูกล้อมรอบด้วยไม่เลกุลของโปรตีนจะกระจายตัวอยู่ในวัฏภาชนะน้ำได้ ความคงตัวของอิมัลชันเกิดขึ้น เพราะ ไม่เลกุลของโปรตีนทำหน้าที่กีดขวางไม่ให้เม็ดไขมันรวมตัวกัน โปรตีนที่จะมีคุณสมบัติเป็นอิมัลซิไฟเออร์ต้องคลายเกลี่ยวได้ย่างที่ผิวร่วมระหว่างน้ำมันกับน้ำ การที่โปรตีนจะคลายเกลี่ยวได้มากน้อยเพียงใดจะขึ้นอยู่กับ ความเข้มข้นของโปรตีนที่มีอยู่ในระบบ พื้นที่ผิวของเม็ดไขมัน ระยะเวลาที่โปรตีนสัมผัสกับผิวร่วมระหว่างน้ำมันกับน้ำ และ โครงสร้างระดับไม่เลกุลของโปรตีนก่อนการคุณซับที่ผิวร่วมระหว่างน้ำมันกับน้ำ ซึ่งจากการวิจัยนี้ พบว่าระดับความเข้มข้นของโซเดียม酇ิโนทที่เหมาะสมที่จะทำให้กะทิมีความคงตัวต่อการแช่แข็ง ละลายน้อย 0.5%w/v และเมื่อเพิ่มความเข้มข้นของโซเดียม酇ิโนทเพิ่มมากขึ้นเป็น 0.7%w/v จะทำให้ความคงตัวต่อการแช่แข็ง-ละลายของกะทิลดลงดังจะสังเกตได้จากค่า %creaming index ที่เพิ่มมากขึ้น ค่าความหนืดที่ลดลงและขนาดอนุภาคเคลื่อนที่เพิ่มขึ้น

4.4.2 การศึกษาความเข้มข้นของ Tween 60 ที่มีผลต่อความคงตัวต่อการแช่แข็ง-ละลายของกะทิ

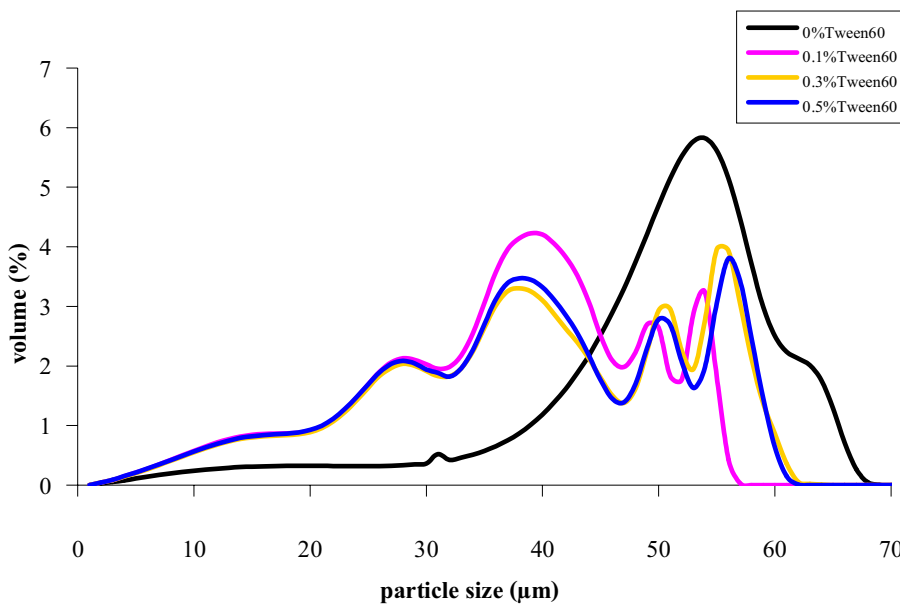
เมื่อนำตัวอย่างกะทิแช่แข็งที่ผ่านการเติม Tween 60 ที่ระดับความเข้มข้นต่างๆ มาทำการละลาย พบว่าค่า %creaming index มีแนวโน้มลดลงเมื่อความเข้มข้นของ Tween 60 เพิ่มมากขึ้น (ตารางที่ 6) เนื่องมาจากสมบัติการเป็นสารอิมัลซิไฟเออร์ของ Tween 60 ที่ใช้ส่วนหางที่ชอบน้ำมันในไม่เลกุลไปจับที่บริเวณพื้นผิวของอนุภาคเม็ดน้ำมัน และใช้ส่วนที่ชอบน้ำที่มีขนาดใหญ่ในไม่เลกุล ซึ่งเกิดขึ้นใน polyoxyethylene chain ของ polysorbate จับกับไม่เลกุลของน้ำมันเกิดเป็นชั้นน้ำ (layer of bound water) ล้อมรอบอนุภาคของเม็ดน้ำมัน ทำให้การรวมตัวของเม็ดไขมันกับน้ำเกิดได้ดี และอนุภาคของเม็ดน้ำมันไม่สามารถรวมตัวกันได้ (ดวงพร กอละเอียน และ เยาวาภา ไหวพริบ, 2546) ทำให้กะทิมีความคงตัวมากขึ้น ส่งผลให้ค่า %creaming index ที่วัดได้มีแนวโน้มลดลงเมื่อความเข้มข้นของ Tween 60 ที่เติมลงในตัวอย่างกะทิเพิ่มขึ้น

เมื่อพิจารณาในด้านลักษณะประภูมิของกะทิ จะพบว่าความเข้มข้นของ Tween 60 ที่เพิ่มมากขึ้นไม่ส่งผลต่อกลิ่นรสของกะทิ กล่าวคือกะทิที่เติม Tween 60 จะยังคงมีสี กลิ่นและรสชาติใกล้เคียงกับตัวอย่างกะทิที่ไม่เติม Tween 60 (control) ค่า pH ของตัวอย่างกะทิจะมีค่าใกล้เคียงกับ control และยังค่ามีค่ามากกว่า 6 (ตารางที่ 6) แสดงว่ากะทิยังไม่เกิดการเน่าเสียหลังผ่านการเติม Tween 60 และผ่านการแช่แข็งเป็นเวลา 45 ชั่วโมง



ภาพที่ 32 ค่าความหนืดของตัวอย่างกะทิที่ผ่านการเติม Tween 60 ที่ระดับความเข้มข้นต่างๆ ที่เวลาต่างๆ

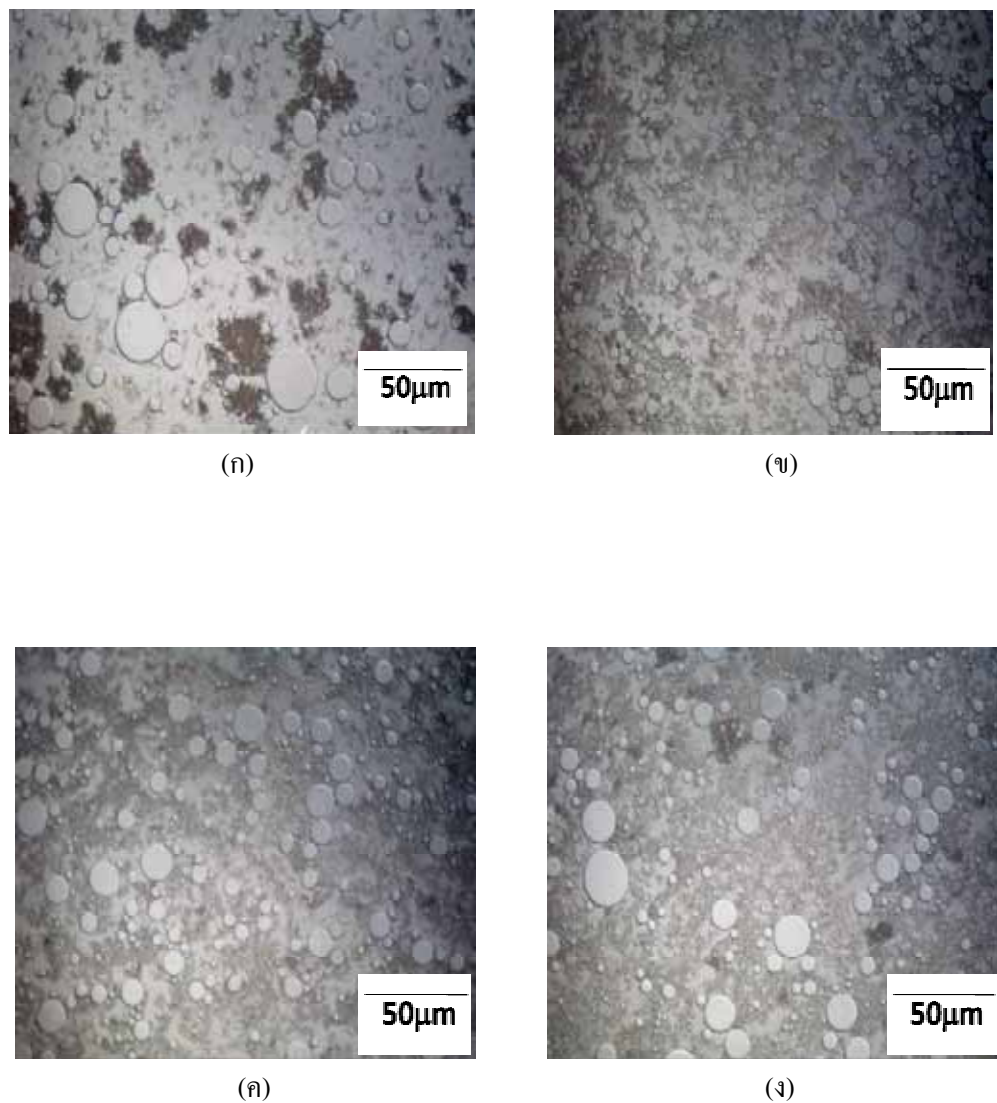
จากภาพที่ 32 จะพบว่าค่าความหนืดของกะทิมีแนวโน้มที่จะเปลี่ยนแปลงตามระยะเวลาซึ่งเป็นพฤติกรรมการไหลของของเหลวอนินวิโตเนียน กะทิที่ผ่านการเติม Tween 60 ความเข้มข้น 0.1%w/v จะมีค่าความหนืดมากที่สุด และเมื่อนำมาหาค่าเฉลี่ย จะได้ผลดังแสดงตารางที่ 6 พบว่าเมื่อความเข้มข้นของ Tween 60 เพิ่มมากขึ้น จะทำให้กะทิมีแนวโน้มที่จะมีความหนืดเพิ่มขึ้น อันเป็นผลเนื่องจากการที่ Tween 60 ทำให้เกิดชั้นฟิล์มล้อมรอบครึ่องปลีกไว้มัน ช่วยป้องกันการทึบแสงของพลีกน้ำแข็งเข้าสู่เม็ดไว้มัน ทำให้ครึ่องปลีกเคลื่อนที่เข้าหากันได้ช้าลง อิมลัชันมีความคงตัวมากขึ้น (ปริพัตร แหงสประภาส, 2545) Tween 60 ส่วนที่เหลือจากการเกิดเป็นฟิล์มจะเพิ่มความหนืดให้กับอิมลัชัน ส่งผลให้กะทิมีแนวโน้มที่จะมีความหนืดเพิ่มขึ้น เมื่อเทียบกับกะทิที่ไม่ผ่านการเติม Tween 60



ภาพที่ 33 ขนาดอนุภาคของตัวอย่างกะทิที่ผ่านการเติม Tween 60 ที่ระดับความเข้มข้นต่างๆ

จากภาพที่ 33 จะพบว่าเส้นกราฟของกะทิที่ไม่ผ่านการเติม Tween 60 จะมีฐานของกราฟที่กว้างที่สุด แต่เมื่อมีการเติม Tween 60 ลงไประดับความเข้มข้นที่มากขึ้น แสดงว่าอนุภาคมีขนาดที่สม่ำเสมอ กันมากขึ้น เมื่อเทียบกับกะทิที่ไม่ผ่านการเติม Tween 60 เมื่อพิจารณาจากขนาดอนุภาคเฉลี่ยดังแสดงในตารางที่ 6 จะพบว่าเมื่อความเข้มข้นของ Tween 60 เพิ่มมากขึ้นขนาดอนุภาคเฉลี่ยมีแนวโน้มที่จะลดลง โดยกะทิที่เติม Tween 60 ความเข้มข้น 0.1% w/v จะมีขนาดเล็กที่สุด เมื่อนำตัวอย่างไปส่องดูด้วยกล้องจุลทรรศน์ (ภาพที่ 34) พบว่าตัวอย่างกะทิที่ไม่ผ่านการเติม Tween 60 ครึ่งปีลีทจะมีขนาดใหญ่ (ภาพที่ 34 (ก)) เมื่อปริมาณ Tween 60 เพิ่มมากขึ้นขนาดของครึ่งปีลีทจะเล็กลง เมื่อเติม Tween 60 ความเข้มข้น 0.1% w/v (ภาพที่ 34 (ข)) จะทำให้ครึ่งปีลีทมีขนาดเล็กที่สุด เนื่องจาก Tween 60 ทำให้เกิดชั้นพิล์มล้อมรอบครึ่งปีลีทไขมัน ทำให้เพล็กไขมันเคลื่อนที่เข้ามาใกล้กันชัดเจน อัตราการหลอมรวมตัวกันของครึ่งปีลีทจึงเกิดชัดเจน ครึ่งปีลีทจึงมีขนาดเล็ก

เมื่อพิจารณาผลของความถ่วงจำเพาะ (ตารางที่ 6) จะพบว่าเมื่อความเข้มข้นของ Tween 60 เพิ่มมากขึ้นค่าความถ่วงจำเพาะในส่วนของวัฏภาคน้ำจะลดลงเล็กน้อย และค่าความถ่วงจำเพาะในส่วนของวัฏภาคน้ำมันจะเพิ่มขึ้นเพียงเล็กน้อย จนอาจถือได้ว่าไม่มีการเปลี่ยนแปลงทางสถิติ ($p > 0.05$)



ภาพที่ 34 ภาพถ่ายจากกล้องจุลทรรศน์ (กำลังขยาย 40 เท่า) ของกะทิที่ผ่านการเติม Tween 60 ที่ระดับความเข้มข้นต่างๆ: (ก) 0%, (ข) 0.1%, (ค) 0.3% และ (ง) 0.5%w/v

ตารางที่ 6 ผลที่ได้จากการวิเคราะห์ตัวอย่างกะทิที่ผ่านการเติม Tween 60 ที่ระดับความเข้มข้นต่างๆ

ตัวอย่างกะทิ ไขมัน 18%v/v ผ่านการ พาสเจอร์ไรซ์	pH	creaming index ^w (%)	ความหนืด ^x (cP)	ขนาดอนุภาค เฉลี่ย (μm) ^c	ความถ่วงจำเพาะ ^z	
					วัฏภาคน้ำ	วัฏภาคน้ำมัน
ไม่เติม Tween 60 (control)	6.43	44.75	16.80	12.48	1.0174	0.9213
เติม Tween 60 0.1%w/v	6.42	25.28	31.20	5.09	1.0163	0.9214
เติม Tween 60 0.3%w/v	6.41	25.41	24.37	5.46	1.0159	0.9230
เติม Tween 60 0.5%w/v	6.41	25.36	22.30	5.29	1.0156	0.9237
		± 2.06 ^b	± 1.06 ^b	± 0.26 ^b	± 0.0001 ^a	± 0.0001 ^a

หมายเหตุ : ^w เป็นค่าเฉลี่ยที่ได้จากการทดลอง 3 ครั้ง ครั้งละ 2 ช้อน

^x เป็นค่าเฉลี่ยที่ได้จากการทดลอง 3 ครั้ง ครั้งละ 2 ช้อน

^y เป็นค่าเฉลี่ยที่ได้จากการทดลอง 2 ครั้ง

^z เป็นค่าเฉลี่ยที่ได้จากการทดลอง 2 ครั้ง

จากผลที่ได้จากการางที่ 6 พบว่าความเข้มข้นของ Tween 60 ที่เพิ่มมากขึ้นจะทำให้ตัวอย่างกะทิมีความคงตัวต่อการแข็ง-ละลายมากขึ้น ดังจะสังเกตได้จากการที่ค่า %creaming index ซึ่งเป็นค่าที่แสดงถึงการเกิดการแยกชั้นครีมของกะทิที่มีค่าลดลงจาก 44.75% เป็น 25.28% เมื่อความเข้มข้นของ Tween 60 เพิ่มขึ้นจาก 0% เป็น 0.1%w/v ในขณะที่ค่าความหนืดของกะทิจะมีค่ามากขึ้นเมื่อความเข้มข้นของ Tween 60 เพิ่มมากขึ้น โดยจะมีค่าเพิ่มขึ้นจาก 16.80 cP เป็น 31.20 cP เมื่อความเข้มข้นของ Tween 60 เพิ่มขึ้นจาก 0% เป็น 0.1%w/v และขนาดอนุภาคเฉลี่ยก็มีแนวโน้มลดลงเมื่อความเข้มข้นของ Tween 60 เพิ่มขึ้น โดยจะลดลงจาก 12.48 μm เป็น 5.09 μm เมื่อความเข้มข้นของ Tween 60 เพิ่มขึ้นจาก 0% เป็น 0.1%w/v เมื่อพิจารณาผลของการถ่วงจำเพาะจะพบว่าเมื่อความเข้มข้นของ Tween 60 เพิ่มมากขึ้นค่าความถ่วงจำเพาะในส่วนของวัฏภาคน้ำจะลดลงเล็กน้อย และค่าความถ่วงจำเพาะในส่วนของวัฏภาคน้ำมันจะเพิ่มขึ้นเล็กน้อย และเมื่อพิจารณาจากลักษณะทางจุลภาคของครีอปเลี้ยท (ภาพที่ 34) จะพบว่าเมื่อความเข้มข้นของ Tween 60 เพิ่มมากขึ้นครีอปเลี้ยทจะมีขนาดเล็กลง เมื่อพิจารณาจากสมการของสโตกส์พบว่าขั้ตราเร็วในการแยกชั้นครีมจะแปรผกผันกับความหนืด ถ้าวัฏภาคน้ำมันต่อเนื่องยิ่งมีความหนืดสูง จะทำ

ให้อัตราเร็วของการแยกชั้นครีมเกิดขึ้นช้า และเนื่องจาก Tween 60 เป็น surfactant โนเมเลกุลเล็ก โดยจะหันส่วนหัวที่มีขี้ว้าหาววัฏภาคน้ำและหันส่วนหางที่เป็นไฮดรอคาร์บอนเข้าสู่วัฏภาคน้ำมันและจะถูกคูดซับที่ผิวสัมผัสร่วมระหว่างน้ำและน้ำมัน ความสามารถในการรักษาความคงตัวของระบบ colloidaloid โดยอนุภาค (particle) จะขึ้นอยู่กับความสามารถในการจัดเรียงตัวของอนุภาคนั้นๆ ที่ผิวสัมผัสระหว่างวัฏภาคน้ำที่กระจายตัวกับวัฏภาคน้ำ ทำให้การรวมตัวของเม็ดน้ำมันเกิดขึ้นได้ยากเมื่อมีการชนกัน เพราะอนุภาคจะทำหน้าที่เป็นเครื่องกีดขวาง ความสามารถในการรักษาความคงตัวโดยกลไกนี้จะขึ้นอยู่กับชนิดของอนุภาคและมุมที่อนุภาคสัมผัสกับผิวร่วม ซึ่งเรียกมุมสัมผัส (contact angle) ถ้าอนุภาคละลายได้ง่ายในน้ำมัน อนุภาคจะมีส่วนที่อยู่ในน้ำมันมากกว่าในน้ำ (มุมน้อยกว่า 90°) ประสิทธิภาพในการเป็นเครื่องกีดขวางจะไม่มากเท่าอนุภาคที่สามารถละลายในน้ำและน้ำมันเท่าๆ กัน ($\text{มุม} = 90^\circ$) และถ้าอนุภาคละลายน้ำได้ดี อนุภาคจะมีส่วนที่อยู่ในน้ำมากกว่าในน้ำมัน (มุมมากกว่า 90°) ทำให้เป็นเครื่องกีดขวางได้ไม่ดีเท่ากับเมื่อมีมุม 90° เพราะอนุภาคจะหลุดออกจากส่วนที่เป็นน้ำมันได้ง่าย (Friberg and Larrson, 1997) นอกจากนี้อาจเนื่องมาจากการ side chain ของกรดอะมิโนที่เป็นส่วนที่ไม่ชอบน้ำในโนเมเลกุลของโปรตีนซึ่งในสภาพธรรมชาติ side chain ของกรดอะมิโนจะฝังอยู่ภายในโนเมเลกุลของโปรตีน แต่เมื่อโปรตีนเกิดการเสียสภาพเนื่องจากไดร์บ ความร้อนจากการพาสเจอไรซ์ ส่วนของ side chain ดังกล่าวถูกเปิดออกและไปจับกับส่วนที่ชอบน้ำมันของสารอิมัลซิไฟเออร์ โดยจะเกิดการคูดซับอยู่ที่บริเวณพื้นผิวของสายยาวของโปรตีนทำให้โปรตีนละลายได้ดีขึ้นและกระจายตัวอยู่ในน้ำกะทิอย่างสม่ำเสมอ ไม่เกิดการรวมตัวกันเป็นตะกอนใหญ่ (Stauffer, 1996) โดยจะพบว่าการใช้ Tween 60 ที่ความเข้มข้น $0.1\% \text{w/v}$ จะทำให้กะทินีความคงตัวต่อการแช่แข็ง-ละลายดีที่สุด แต่เมื่อความเข้มข้นของ Tween 60 เพิ่มมากขึ้นจะทำให้ความคงตัวต่อการแช่แข็ง-ละลายของกะทินีลดลง ดังจะสังเกตจากค่า %creaming index ที่เพิ่มสูงขึ้น ค่าความหนืดที่ลดลง และขนาดอนุภาคเฉลี่ยที่ใหญ่ขึ้น

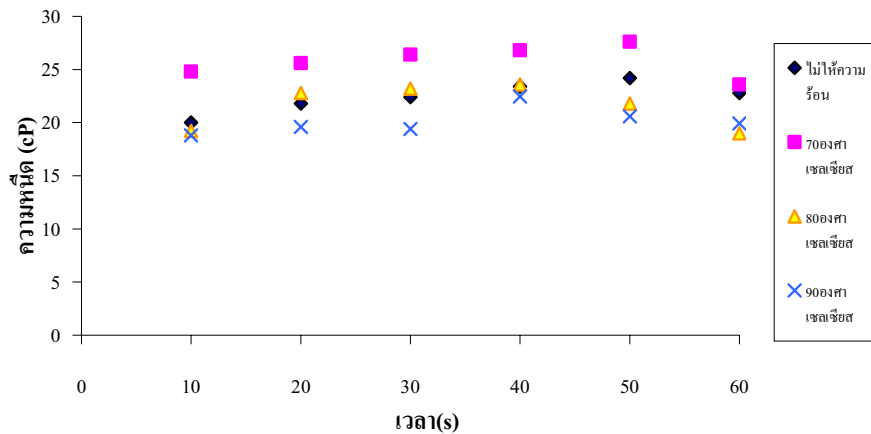
Walstra et al. (1999) พบว่าเมื่อตัวอย่างผ่านการให้ความร้อนเบื้องต้นในอุณหภูมิที่สูงขึ้น โปรตีนในตัวอย่างที่บริเวณผิวสัมผัสร่วมจะเกิดการสูญเสียสภาพได้มากขึ้น ทำให้อัตราส่วนมวลของโปรตีนต่อพื้นที่ผิวลดลง อิมัลซิไฟเออร์ที่เติมลงในตัวอย่างกะทิจะเข้าไปทำหน้าที่แทนส่วนของโปรตีนที่เกิดการเสื่อมสภาพเนื่องจากการให้ความร้อน และทำหน้าที่คูดซับที่บริเวณผิวสัมผัสร่วมน้ำกับน้ำมัน โดยทั่วไป surfactants เช่น โนโนนอลีซอไรด์ และ Tween มีแนวโน้มที่จะช่วยลดแรงตึงระหว่างผิวได้มากกว่าโปรตีน เช่น โซเดียม酇ซิเนท ลดคลื่นกับงานวิจัยนี้ที่พบว่าความเข้มข้นของ Tween 60 เพียงแค่ $0.1\% \text{w/v}$ ก็สามารถทำให้กะทินีค่า %creaming index

เป็น 25.28% ซึ่งมีค่าต่ำกว่าค่า %creaming index ของตัวอย่างกะทิที่ผ่านการเติมโซเดียม酇ินเเทนท์ 0.5 %w/v ซึ่งวัดค่า %creaming index ได้ 37.36%

4.5 การศึกษาผลของการให้ความร้อนเบื้องต้นที่มีผลต่อความคงตัวต่อการแช่แข็ง-ละลายของกะทิ

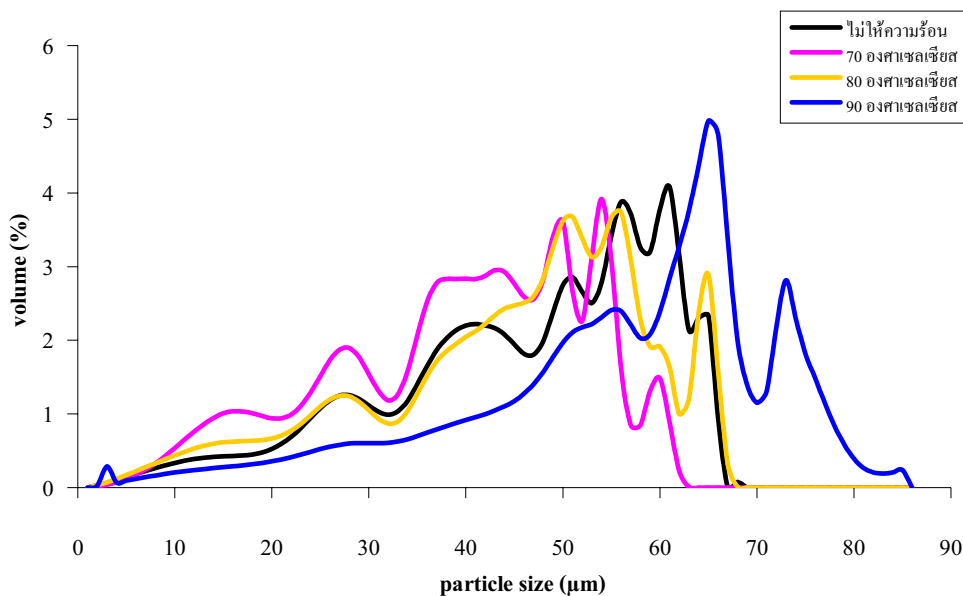
เมื่อนำตัวอย่างกะทิแช่แข็งที่ผ่านการให้ความร้อนที่ระดับอุณหภูมิต่างๆมาทำการละลายพบว่าค่า %creaming index มีแนวโน้มเพิ่มขึ้นเมื่ออุณหภูมิเพิ่มสูงขึ้น โดยพบว่าเมื่อให้ความร้อนแก่ตัวอย่างกะทิที่อุณหภูมิ 70°C จะทำให้กะทิมีค่า %creaming index ต่ำที่สุด ในขณะที่เมื่อให้ความร้อนแก่กะทิที่อุณหภูมิ 90°C จะทำให้ค่า %creaming index มีค่าเพิ่มมากกว่ากะทิที่ไม่ผ่านการให้ความร้อน (ตารางที่ 7) ความร้อนจะช่วยทำให้การเคลื่อนที่แบบบรรวนเนียนของเม็ดอนุภาคเพิ่มขึ้น อัตราเร็วในการเกิดการรวมกลุ่มจะเพิ่มขึ้น การเคลื่อนที่แบบบรรวนเนียนจะมีส่วนเกี่ยวข้องกับความคงตัวของอนุภาค เนื่องจากมีการประทับกันระหว่างอนุภาคของอิมัลชัน ทำให้อนุภาคที่ประทับกันนี้จับกันเป็นอนุภาคที่ใหญ่ขึ้น (มัลพานา ภาณุมากรณ์, 2552) โปรตีนที่มีในกะทิมีบทบาทสำคัญในการช่วยทำให้กะทิมีความคงตัว โดยโปรตีนมีทั้งส่วนที่กระจายตัวได้ดีในน้ำ และส่วนที่ไม่ละลาย นำซึ่งทำหน้าที่คล้ายอิมัลซิไฟเออร์ล้อกรอบที่บริเวณพื้นผิวของเม็ดไขมัน การสูญเสียสภาพของโปรตีนจะเกิดขึ้นที่อุณหภูมิ 80°C การให้ความร้อนที่ $90\text{-}95^{\circ}\text{C}$ เป็นเวลา 2-3 นาที จะสามารถทำลายโปรตีนได้เกือบหมด (Seow and Gwee, 1997) ดังนั้นการให้ความร้อนแก่ตัวอย่างกะทิที่อุณหภูมิ 70°C จึงทำให้กะทิมี %creaming index ต่ำที่สุด และเมื่ออุณหภูมิที่ให้แก่กะทิเพิ่มสูงขึ้นเป็น 80 และ 90°C ค่า %creaming index จึงมีค่าเพิ่มขึ้น

เมื่อพิจารณาในด้านลักษณะประภูมิของกะทิ จะพบว่ากะทิที่ผ่านการให้ความร้อนที่อุณหภูมิที่สูงขึ้น จะทำให้กะทิมีสีที่ออกจะคล้ำมากขึ้น แต่ยังคงมีกลิ่นและรสใกล้เคียงกับตัวอย่างกะทิที่ไม่ผ่านการให้ความร้อน (control) ในขณะที่ pH ของตัวอย่างกะทิยังคงมีค่าใกล้เคียงกับ control และยังค่ามีค่ามากกว่า 6 (ตารางที่ 7) แสดงว่ากะทิยังไม่เกิดการเน่าเสียหลังผ่านการให้ความร้อนและผ่านการแช่แข็งเป็นเวลา 45 ชั่วโมง



ภาพที่ 35 ค่าความหนืดของตัวอย่างกระพิที่ผ่านการให้ความร้อนที่อุณหภูมิต่างๆที่เวลาต่างๆ

จากภาพที่ 35 จะพบว่าค่าความหนืดของกระพิมีแนวโน้มที่จะเปลี่ยนแปลงตามระยะเวลาซึ่งเป็นพฤติกรรมการไหลของของไอลอนอนิวโลตเนียน โดยกะทิที่ผ่านการให้ความร้อนที่ 70°C จะมีค่าความหนืดมากที่สุด เมื่อนำค่าความหนืดที่วัด ณ เวลาต่างๆ มาหาค่าเฉลี่ย จะได้ผลตั้งแสดงในตารางที่ 7 พบว่าอุณหภูมิที่สูงขึ้น จะทำให้กะทิมีความหนืดลดลง อันเป็นผลเนื่องมาจากการหนืดจะแปรผันตรงกับอุณหภูมิจนถึง 60°C หลังจากนั้นเมื่ออุณหภูมิเพิ่มขึ้น ค่าเร่งตึงผิวและความหนืดจะลดลง เนื่องจากโปรตีนเกิดการรวมตัวกันที่อุณหภูมิประมาณ 60°C (Buccat, Gonzalez and Manalac, 1973)

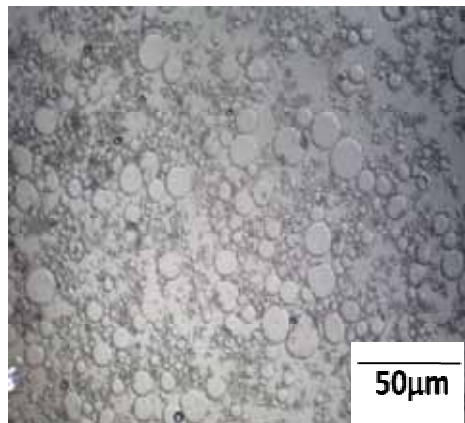


ภาพที่ 36 ขนาดอนุภาคของตัวอย่างกระถางที่ผ่านการให้ความร้อนที่อุณหภูมิต่างๆ

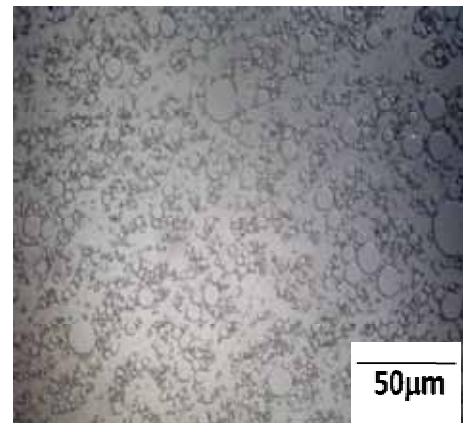
จากภาพที่ 36 จะพบว่าเส้นกราฟของกระถางที่ผ่านการให้ความร้อนที่ 90°C จะมีฐานของกราฟที่กว้างที่สุด ส่วนตัวอย่างกระถางที่ผ่านการให้ความร้อนที่ 70°C จะมีฐานของกราฟที่แคบที่สุด นั่นคืออนุภาคเม็ดขนาดที่สม่ำเสมอ กันมากกว่า เมื่อพิจารณาจากขนาดอนุภาคเนลี่ยตั้งแต่ในตารางที่ 7 จะพบว่าเมื่ออุณหภูมิที่ใช้ในการให้ความร้อนแก่ตัวอย่างกระถางที่มีค่าสูงขึ้น ขนาดอนุภาคเฉลี่ยจะมีค่าสูงขึ้นตามไปด้วย เมื่อนำตัวอย่างกระถางที่ไปส่องดูด้วยกล้องจุลทรรศน์ (ภาพที่ 37) จะให้ผลที่คล้ายกันคือเมื่ออุณหภูมิที่ให้แก่กระถางที่มีค่าสูงขึ้นขนาดของคริอปเลิฟจะมีขนาดใหญ่ขึ้น ตัวอย่างกระถางที่ผ่านการให้ความร้อนที่ 90°C คริอปเลิฟจะมีขนาดใหญ่ (ภาพที่ 37 (ง)) ในขณะที่การให้ความร้อนที่ 70°C (ภาพที่ 37 (ข)) คริอปเลิฟจะมีขนาดเล็กที่สุด เนื่องจากอุณหภูมิที่เพิ่มสูงขึ้นนำไปสู่การเพิ่มการเคลื่อนที่เข้าหากันแบบบรรวนเนียน และมีแนวโน้มที่จะเพิ่มอัตราการเกาะกลุ่มกันมากขึ้น ทำให้คริอปเลิฟมีแนวโน้มที่จะเกิดการหลอมรวมตัวกันเป็นคริอปเลิฟที่มีขนาดใหญ่ขึ้น (มัลทานา ภาณุมาภรณ์, 2552)

เมื่อพิจารณาผลของการถ่วงจำเพาะ (ตารางที่ 7) จะพบว่าเมื่ออุณหภูมิในการให้ความร้อนเพิ่มสูงขึ้นจะทำให้ค่าความถ่วงจำเพาะในส่วนของวัสดุกาน้ำหนักลง และค่าความถ่วงจำเพาะในส่วนของวัสดุกาน้ำหนักเพิ่มขึ้น เพราะการให้ความร้อนจะทำให้โอกาสที่จะเกิดการรวมกลุ่มและเกิดการหลอมรวมตัวกันของอนุภาคเพิ่มมากขึ้น เมื่อนำตัวอย่างไปแช่แข็งจะทำให้วัสดุของน้ำแข็งส่วนใหญ่เป็นน้ำแข็ง ไปกดเม็ดน้ำแข็ง ทำให้มีเด่นน้ำแข็งแตกแยกออกมาน้ำแข็ง (มัลทานา ภาณุมาภรณ์,

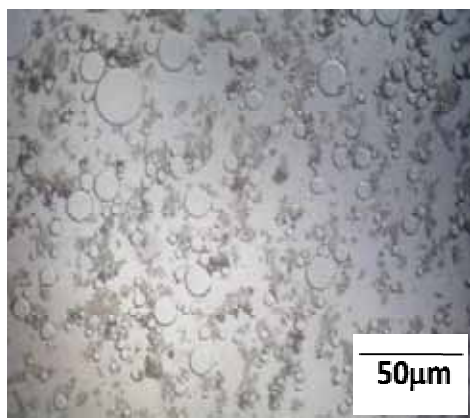
2552) หลังจากผ่านการละลายตัวอย่างที่ผ่านการให้ความร้อนที่อุณหภูมิสูงค่าความถ่วงจำเพาะในส่วนของวัสดุภาชนะมันจึงมีค่าเพิ่มมากขึ้น



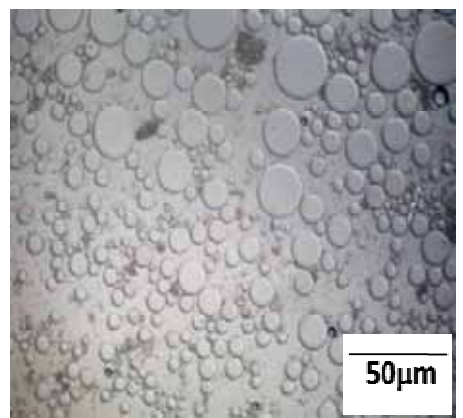
(ก)



(ข)



(ก)



(ก)

ภาพที่ 37 ภาพค่าจากกล้องจุลทรรศน์ (กำลังขยาย 40 เท่า) ของกะทิที่ผ่านการให้ความร้อนที่อุณหภูมิต่างๆ: (ก) ไม่ให้ความร้อน, (ข) 70°C , (ก) 80°C และ (ก) 90°C

ตารางที่ 7 ผลที่ได้จากการวิเคราะห์ตัวอย่างกะทิผ่านการให้ความร้อนที่ระดับอุณหภูมิต่างๆ

ตัวอย่างกะทิ ไข่น้ำ ^{18%v/v}	pH	creaming index ^w (%)	ความหนืด ^x (cP)	ขนาดอนุภาค เฉลี่ย ^y (μm)	ความถ่วงจำเพาะ ^z	
					วัฏภาคน้ำ ^{ชั้น}	วัฏภาค น้ำมัน ^{ชั้น}
ไม่ให้ความร้อน (control)	6.38	60.30	22.43	8.47	1.0192	0.9195
ให้ความร้อน 70°C	6.41	59.17	25.80	5.64	1.0176	0.9213
ให้ความร้อน 80°C	6.43	60.14	21.60	7.32	1.0174	0.9218
ให้ความร้อน 90°C		$\pm 5.03^{\text{a}}$	$\pm 0.49^{\text{acc}}$	$\pm 1.03^{\text{a}}$	$\pm 0.0001^{\text{a}}$	$\pm 0.0001^{\text{a}}$
		$\pm 5.84^{\text{a}}$	$\pm 2.12^{\text{ade}}$	$\pm 5.18^{\text{a}}$	$\pm 0.0002^{\text{a}}$	$\pm 0.0003^{\text{a}}$

หมายเหตุ : ^w เป็นค่าเฉลี่ยที่ได้จากการทดลอง 3 ครั้ง ครั้งละ 2 ชั่ว

^x เป็นค่าเฉลี่ยที่ได้จากการทดลอง 3 ครั้ง ครั้งละ 2 ชั่ว

^y เป็นค่าเฉลี่ยที่ได้จากการทดลอง 2 ครั้ง

^z เป็นค่าเฉลี่ยที่ได้จากการทดลอง 2 ครั้ง

จากผลที่ได้จากการทดลองที่ 7 พบว่าการให้ความร้อนเบื้องต้นแก่ตัวอย่างกะทิ จะทำให้กะทิ มีความคงตัวต่อการแช่แข็ง-ละลายมากขึ้น โดยการให้ความร้อนที่อุณหภูมิ 70°C จะทำให้ค่า %creaming index ซึ่งเป็นค่าที่แสดงถึงการเกิดการแยกชั้นครีมของกะทิที่มีค่าลดลงจาก 60.30% เป็น 59.17% ในขณะที่ค่าความหนืดของกะทิจะมีค่าเพิ่มขึ้นจาก 22.43 cP เป็น 25.80 cP และขนาดอนุภาคเฉลี่ยจะมีค่าลดลงจาก 8.47 μm เป็น 5.64 μm เมื่อพิจารณาจากลักษณะทางจุลภาคของครีปเลี้ยง (ภาพที่ 37) จะพบว่าครีปเลี้ยงมีขนาดเล็กลง และเมื่อพิจารณาผลของการความถ่วงจำเพาะจะพบว่า อุณหภูมิในการให้ความร้อนที่สูงขึ้นจะทำให้ค่าความถ่วงจำเพาะในส่วนของ วัฏภาคน้ำมันเพิ่มขึ้น เมื่อพิจารณาจากสมการของสโตกส์พบว่า อัตราเร็วในการแยกชั้นครีมจะแปรผกผันกับความหนืด Buccat, Gonzalez and Manalac (1973) ได้ศึกษาถึงผลของการแยกชั้นครีมของอุณหภูมิ ($10\text{-}80^{\circ}\text{C}$) ต่อคุณสมบัติทางเคมีกายภาพของน้ำกะทิ พบว่าความหนาแน่นและ pH ของน้ำกะทิจะแปรผกผันกับอุณหภูมิ ส่วนค่าแรงตึงผิว (surface tension) และความหนืดจะแปรผกผันตรงกับอุณหภูมิจนถึง 60°C หลังจากนั้นเมื่ออุณหภูมิเพิ่มขึ้น ค่าแรงตึงผิวและความหนืดจะลดลง เป็นผลเนื่องมาจากการปรัตีนเกิดการรวมตัวกันที่อุณหภูมิประมาณ 60°C อย่างไร

กีตาม โปรตีนของน้ำกะทิจะรวมตัวกันทั้งหมดเมื่ออุณหภูมิถึง 80°C โปรตีนของน้ำกะทิทั้งหมด เช่น อัลบูมิน โกลบูลิน โปรลามีน และกลูเตลิน จะรวมตัวกันโดยความร้อนอย่าง่ายดาย และ ตอกตะกอนที่ pH 4 ความร้อนจะช่วยทำให้การเคลื่อนที่แบบบรรวนเนียนของเม็ดอนุภาคเพิ่มขึ้น อัตราเร็วในการเกิดการรวมกลุ่มจะเพิ่มขึ้น การเคลื่อนที่แบบบรรวนเนียนจะมีส่วนเกี่ยวข้องกับความ คงตัวของอนุภาค เนื่องจากมีการประทับกันระหว่างอนุภาคของอิมัลชัน ทำให้อนุภาคที่ประทับกันนั้น จับกันเป็นก้อนที่ใหญ่ขึ้น นอกจากนี้ความร้อนยังช่วยทำให้ความหนืดของอิมัลชันลดลง ทำให้ อนุภาคมีโอกาสที่จะเดินทางเข้ามาใกล้กันได้มากขึ้น โอกาสที่จะเกิดการรวมกลุ่มและการหลอม รวมตัวกันของอนุภาคจึงเพิ่มมากขึ้น (มัณฑนา ภาณุมาภรณ์, 2552) โปรตีนที่มีในกะทิมีบทบาท สำคัญในการช่วยทำให้กะทิมีความคงตัว โดยโปรตีนนี้ทั้งส่วนที่กระจายตัวได้ดีในน้ำ และส่วนที่ ไม่ละลายนำซึ่งทำหน้าที่คล้ายอิมัลซิไฟเออร์ล้อมรอบที่บริเวณพื้นผิวของเม็ดไขมัน การสูญเสีย สภาพของโปรตีนจะเกิดขึ้นที่อุณหภูมิ 80°C การให้ความร้อนที่ $90\text{-}95^{\circ}\text{C}$ เป็นเวลา 2-3 นาที จะ สามารถทำลายโปรตีนได้เกือบหมด (Seow and Gwee, 1997) สอดคล้องกับข้อมูลที่ได้จากการวิจัย ชิ้นนี้ โดยจะพบว่าเมื่อให้ความร้อนแก่ตัวอย่างกะทิที่อุณหภูมิ 80 และ 90°C จะทำให้กะทิมีความ คงตัวต่อการแข็ง-ละลายลดลง ดังจะสังเกตได้จากค่า %creaming index ที่เพิ่มสูงขึ้น ค่าความ หนืดที่ลดลง และขนาดอนุภาคที่ใหญ่ขึ้น

บทที่ 5

สรุปผลการวิจัยและข้อเสนอแนะ

5.1 สรุปผลการวิจัย

5.1.1 ความเข้มข้นของน้ำตาลซูโครสที่เพิ่มมากขึ้นจะส่งผลให้กะทิมีความคงตัวต่อการแช่แข็ง-ละลายมากขึ้น โดยพบว่าการเติมน้ำตาลซูโครสความเข้มข้น 40%w/v ลงในตัวอย่างกะทิ จะทำให้กะทิมีค่า %creaming index ต่ำที่สุด มีความหนืดมากที่สุดและมีขนาดอนุภาคเฉลี่ยเล็กที่สุด

5.1.2 ความเข้มข้นของเกลือ โซเดียมคลอไรด์ที่เพิ่มมากขึ้นจะส่งผลให้กะทิมีความคงตัวต่อการแช่แข็ง-ละลายมากขึ้น โดยพบว่าการเติมเกลือ โซเดียมคลอไรด์ความเข้มข้น 4%w/v ลงในตัวอย่างกะทิ จะทำให้กะทิมีค่า %creaming index ต่ำที่สุด มีความหนืดมากที่สุดและมีขนาดอนุภาคเฉลี่ยเล็กที่สุด

5.1.3 ความเข้มข้นของอินมัลซิไฟโออร์ที่เพิ่มมากขึ้นจะส่งผลให้กะทิมีแนวโน้มที่จะมีความคงตัวต่อการแช่แข็ง-ละลายมากขึ้น โดยพบว่าการเติมโซเดียมเกซิเนทความเข้มข้น 0.5%w/v และ Tween 60 ความเข้มข้น 0.1%w/v ลงในตัวอย่างกะทิ จะทำให้ตัวอย่างกะทิมีค่า %creaming index ต่ำที่สุด มีความหนืดมากที่สุดและมีขนาดอนุภาคเฉลี่ยเล็กที่สุด

5.1.4 การให้ความร้อนเบื้องต้นแก่ตัวอย่างกะทิจะส่งผลต่อความคงตัวต่อการแช่แข็ง-ละลายของกะทิ โดยพบว่าการให้ความร้อนเบื้องต้นที่อุณหภูมิ 70°C แก่ตัวอย่างกะทิ จะทำให้กะทิมีค่า %creaming index ต่ำที่สุด มีความหนืดมากที่สุดและมีขนาดอนุภาคเฉลี่ยเล็กที่สุด

ผลที่ได้จากการศึกษาปัจจัยต่างๆเหล่านี้สามารถนำไปประยุกต์ใช้ในการปรับปรุงคุณสมบัติในด้านความคงตัวต่อการแช่แข็ง-ละลายของกะทิและอาหารที่มีกะทิเป็นองค์ประกอบได้

5.2 ข้อเสนอแนะ

เนื่องจากงานวิจัยนี้เป็นการศึกษาถึงปัจจัยที่มีผลต่อความคงตัวต่อการแช่แข็ง-ละลายของกะทิในมัน 18%v/v โดยทำการศึกษาที่ละปัจจัย ดังนั้นในงานวิจัยต่อไป จึงควรมีการศึกษาถึงผลของการใช้ปัจจัยต่างๆร่วมกันต่อความคงตัวต่อการแช่แข็ง-ละลายของกะทิ นอกจากนี้ควรที่จะทำการศึกษาความคงตัวต่อการแช่แข็ง-ละลายของกะทิที่ระดับไขมันต่างๆด้วย เนื่องจากปริมาณไขมันที่แตกต่างกัน จะส่งผลให้กะทิมีความคงตัวต่อการแช่แข็ง-ละลายแตกต่างกัน และควรมีการทดสอบในระบบผลิตภัณฑ์อาหารจริงด้วย

บรรณานุกรม

- ดวงพร กอละกัน และเยาวภา ไหวพริบ. “การแปลงไขมันบางส่วนในน้ำกะทิบรรจุกระป๋องด้วยน้ำมันรำข้าวและสารทดแทนไขมัน.” วารสารวิทยาศาสตร์นู้รพ. 8, 1 (2546): 47-56.
- เทวี โพธิ์ผล. การใช้วัตถุเจือปนอาหาร. กรุงเทพมหานคร: มหาวิทยาลัยสุโขทัยธรรมราชา, 2536.
- ธิตima เปี้ยมประสาทn. “ผลของปริมาณไขมันและการให้ความร้อนเบื้องต้นต่อความหนืดปราศจากไขมันน้ำกะทิหลังผ่านการโซโนเจลล์.” วิทยานิพนธ์ปริญญาวิศวกรรมศาสตร์มหาบัณฑิต สาขาวิชาชีววิศวกรรมอาหาร คณะวิศวกรรมศาสตร์ สถาบันเทคโนโลยีพระจอมเกล้าธนบุรี, 2547.
- ปรัชญา วงศ์ชัตนบัตร. “ผลของปัจจัยการแปรรูปค่าคุณภาพของน้ำกะทิอบแห้งแบบพ่นฟอย.” วิทยานิพนธ์ปริญญาวิศวกรรมศาสตร์มหาบัณฑิต สาขาวิชาชีววิศวกรรมอาหาร คณะวิศวกรรมศาสตร์ สถาบันเทคโนโลยีพระจอมเกล้าธนบุรี, 2543.
- ประจิตร วงศ์ประภาส. เคมีภysisภาพของอาหาร คอลloid อิมลชัน และเจล. กรุงเทพมหานคร: สำนักพิมพ์แห่งจุฬาลงกรณ์มหาวิทยาลัย, 2545.
- มัลพาดา ภาณุมาภรณ์. อิมลชันและยาเห็บ. สมุทรปราการ: โครงการสำนักพิมพ์มหาวิทยาลัยหัวเฉียวเฉลิมพระเกียรติ, 2552.
- รุ่งนภา พงศ์สวัสดิ์มานิต. วิศวกรรมแปรรูปอาหาร: การอนอมอาหาร. กรุงเทพมหานคร: สำนักพิมพ์โอเดียนสโตร์, 2535.
- Buccat, E.F., A.L., Gonzalez, and G.C., Manalac. “Production of proteins and other food products from coconut.” Laboratory phase NIST Project Report, 1973.
- Carvajal, P.A., G.A., MacDonald, and T.C., Lanier. “Cryostabilization mechanism of fish muscle proteins by maltodextrins.” Cryobiology. 38 (1999): 16-26.
- Cramp, G.L., A.M., Docking, S., Ghosh, and J.N., Coupland. “On the stability of oil-in-water emulsions to freezing.” Food Hydrocolloids. 18, 6 (2004): 899–905.
- Demetriades, K., J.N., Coupland, and D.J., McClements. “Physical properties of whey protein stabilized emulsions as related to pH and NaCl.” Journal of Food Science. 62 (1997): 342-347.

- Dickinson, E. An Introduction to Food Colloids. Oxford : Oxford University Press, 1992.
- _____. “Towards more natural emulsifiers.” Trends in Food Science and Technology. 4, 10 (1993): 330.
- _____. , and D.J., McClements. Advances in Food Colloids. London: Blackie Academic & Professional, 1995.
- _____. , and G., Stainsby. Colloids in Food. London: Applied Science Publishers, 1982.
- Ebel, C., H., Eisenberg, and R., Ghilando. “Probing protein-sugar interactions.” Biophysical Journal. 78 (2000): 385-393.
- Evans, D.F., and H., Wennerstrom. The Colloidal Domain: Where Physics, Chemistry, Biology and Technology Meet. New York: VCH Publisher, 1994.
- Fellows, P. Food Processing Technology: Principle and Practice. 2nd ed. Florida: CRC Press, 2000.
- Friberg, S. E. and K., Larsson. Food emulsions. New York: Marcel Dekker, 1997.
- Ghosh, S., G.L., Cramp, and J.N., Coupland. “Effect of aqueous composition on the freeze-thaw stability of emulsions.” Colloids and Surfaces A-Physicochemical and Engineering Aspects. 272, 1–2 (2006): 82–88.
- _____. , and J.N., Coupland. “Factors affecting the freeze-thaw stability of emulsions.” Food Hydrocolloids. 22, 1 (2008): 105–111.
- Gonzalez, O.N., S.Y., de Leon, and P.C., Sanchez. Coconut as Food. Philippines Coconut Research and Development Foundation Inc, 1990.
- Hartel, R.W. Crystallization in Foods. Gaithersburg: Aspen Publishers, 2001.
- Hillgren, A., J., Lindgren, and M., Alden. “Protection mechanism of Tween 80 during freeze-thawing of a model protein, LDH.” International Journal of Pharmaceutics. 237 (2000): 57-69.
- Huang, R.M., W.H., Chang, Y.H., Chang, and C.Y., Lii. “Phase transitions of rice starch and flour gels.” Cereal Chemistry. 71, 2 (1994): 202-207.
- Kim, H.J., E.A., Decker, and D.J., McClements. “Impact of protein surface denaturation on droplet flocculation in hexadecane oil-in-water emulsions stabilized by beta-lactoglobulin.” Journal of Agricultural and Food Chemistry. 50 (2002): 7131-7137.

- _____. "Influence of sucrose on droplet flocculation in hexadecane oil-in-water emulsions stabilized by beta-lactoglobulin." *Journal of Agricultural and Food Chemistry*. 51 (2003): 766-772.
- Komatsu, H., S., Okada, and T., Handa. "Suppressive effects of salts on droplet coalescence in a commercially available fat emulsion during freezing for storage." *Journal of Pharmaceutical Sciences*. 86, 4 (1997): 497-502.
- Le Meste, M., D., Simatos, and P., Gervais. "Interaction of Water with Food Components." In *Ingredient Interactions: Effect on Food Quality*, 85-129. Edited by Gaonkar, A.G. New York: Marcel Dekker, 1995.
- Lee, J.C. and S.N., Timasheff. "The stabilization of protein by sucrose." *Journal of Biological Chemistry*. 256 (1981): 7193-7201.
- Martin, S., M.L., Herrera, and R.W., Hartel. "Effect of cooling rate on nucleation behavior of milk fat-sunflower oil blends." *Journal of Agricultural and Food Chemistry*. 49 (2001): 3223-3229.
- McClements, D. J. *Food Emulsions Principles, Practice and Techniques*. Florida: CRC Press, 1999.
- _____. "Modulation of globular protein functionality by weakly interacting cosolvents." *Critical Reviews in Food Science and Nutrition*. 42 (2002): 417-471.
- Onsmaard, E., M., Vittayanont, S., Srivastava, and D.J., McClements. "Properties and stability of oil-in-water emulsions stabilized by coconut skim milk proteins." *Journal of Agricultural and Food Chemistry*. 53, 14 (2005): 5747-5753.
- Peamprasart, T. and N. Chiewchan. "Effect of fat content and preheat treatment on the apparent viscosity of coconut milk after homogenization." *Journal of Food Engineering*. 77 (2006): 653-658.
- Pongsawatmanit, R. and O., Miyawaki. "Measurement of temperature-dependent ice fraction in frozen foods." *Bioscience Biotechnology and Biochemistry*. 57 (1993): 1650-1654.
- Rao, M.A. and R.W., Hartel. *Phase/State Transitions in Foods: Chemical, Structural and Rheological Changes*. New York: Marcel Dekker, 1998.

- Rynne, N.M., T.P., Beresford, A.L., Kelly, and T.P., Guinee. "Effect of milk pasteurization temperature and in situ whey protein denaturation on the composition, texture and heat-induced functionality of half-fat Cheddar cheese." *International Dairy Journal*. 14, 11 (2004): 989-1001.
- Saito, H., A., Kawagishi, M., Tanaka, T., Tanimoto, S., Okada, H., Komatsu, and T., Handa. "Coalescence of lipid emulsions in floating and freeze-thawing processes: examination of the coalescence transition state theory." *Journal of Colloid and Interface Science*. 219, 1 (1999): 129–134.
- Seow, C.C. and C.N., Gwee. "Coconut milk: chemistry and technology." *International Journal of Food Science Technology*. 32, 3 (1997): 189–201.
- Shaker, R.R., R.Y., Jumah, and B., Abu-Jdayil. "Rheological properties of plain yogurt during coagulation process: impact of fat content and preheat treatment of milk." *Journal of Food Engineering*. 44, 3 (2000): 175-180.
- Stauffer, C.E. *Fats and oils*. Minnesota: Eagen Press, 1996.
- Strauss, G., and H., Hauser. "Stabilization of lipid bilayer vesicles by sucrose during freezing." *Proceedings of the National Academy of Sciences*. 83 (1986): 2422-2426.
- Tangsuphoom, N., and J.N., Coupland. "Effect of thermal treatments on the properties of coconut milk emulsions prepared with surface-active stabilizers." *Food Hydrocolloids*. 23, 7 (2009): 1792-1800.
- Thanasukarn, P., R., Pongsawatmanit, and D. J., McClements. "Impact of fat and water crystallization on the stability of hydrogenated palm oil-in-water emulsions stabilized by whey protein isolate." *Colloids and Surfaces A-Physicochemical and Engineering Aspects*. 246, 1–3 (2004a): 49–59.
- _____. "Influence of emulsifier type on freeze-thaw stability of hydrogenated palm oil-in-water emulsions." *Food Hydrocolloids*. 18, 6 (2004b): 1033–1043.
- _____. "Impact of fat and water crystallization on the stability of hydrogenated palm oil-in-water emulsions stabilized by a nonionic surfactant." *Journal of Agricultural and Food Chemistry*. 54, 10 (2006): 3591–3597.

- Vanapalli, S.A., J., Palanuwech, and J.N., Coupland. "Stability of emulsions to dispersed phase crystallization: effect of oil type, dispersed phase volume fraction, and cooling rate." *Colloids and Surfaces A-Physicochemical and Engineering Aspects.* 204, 1–3 (2000): 227–237.
- Walstra, P. *Physical Chemistry of Foods.* New York: Marcel Dekker, 2003.
- _____, T.J., Geurts, A., Noomen, A., Jellema, and M. A. J. S., Van Boekel. *Dairy technology: Principle of milk properties and process.* New York: Marcel Dekker, 1999.
- Walstra, S. "Dispersed systems: basic considerations." In *Food Chemistry*, 95-156. Edited by Fennema, O.R. New York: Marcel Dekker, 1996.
- Wang, Y., and J. Jane. "Correlation between glass transition temperature and starch retrogradation in the presence of sugars and maltodextrins." *Cereal Chemistry.* 71 (1994): 527-531.

ภาคผนวก

ภาคผนวก ก

วิธีการวิเคราะห์

ก.1 การวิเคราะห์หาเปอร์เซ็นต์ไขมันในกะทิ(Gerber Method)

หลักการ : Sulfuric acid จะแยกไขมันออกจากน้ำกะทิ เมื่อเติมกรดเข้าไป ชั่งจะเห็นชั้นไขสบong ไขมันได้ชัดเจน โดยการเติม amylalcohol และเข้าเครื่อง centrifuge ซึ่งปริมาณไขมันจะอ่านได้เป็นเปอร์เซ็นต์โดยตรงจาก scale บนหลอด butyrometer

เครื่องมือและอุปกรณ์

1. ปีเพต (pipette) 1 ml, 5 ml, 10 ml
2. จุกยาง (caoutchouc stoppers)
3. หลอด butyrometer-scale 0-50%
4. เครื่อง centrifuge ปรับอุณหภูมิได้

สารเคมีและวิธีการเตรียม

1. Sulfuric acid (H_2SO_4), d.1.816 \pm 0.003 g/ml, 90-91% เติม H_2SO_4 conc. 4 ส่วน ลงในน้ำ 1 ส่วน
2. Amylalcohol, d. 0.811 \pm 0.002 g/ml

วิธีวิเคราะห์

1. เติมกรด H_2SO_4 10 ml ลงในหลอด butyrometer
2. ใส่ตัวอย่างกะทิ 5 ml
3. เติมน้ำกลิ้น 5 ml
4. เติม Amylalcohol 1 ml ปิดจุกหลอด butyrometer ให้แน่น
5. เขย่าให้เข้ากัน นำไปให้หมุนในเครื่อง centrifuge ความเร็วรอบ 1,020 rpm และปิด heating อุณหภูมิประมาณ $45^{\circ}C$ เป็นเวลา 7 นาที
6. อ่านผลตามสเกลของมาเป็นเปอร์เซ็นต์โดยปริมาตร ไขมันของกะทิ

วิธีการคำนวณการปรับปริมาณไขมัน

ปริมาณไขมันในกะทิวัดได้ = A

ปริมาตร = V

ปริมาณไขมันในกะทิต้องการ = B

ปริมาตร = X + V

ปริมาณไขมันในกะทินำมาเติมเพิ่ม = C

ปริมาตร = X

เข้าสมการ

$$A(V) + CX = B(X+V)$$

สูตร

$$X = \underline{V(B-A)}$$

$$(C-B)$$

ตัวอย่างการคำนวณ

วัดไขมันในกะทิได้ = 17%

ปริมาตร = 200 ลิตร

ต้องการกะทิไขมัน = 20%

ปริมาตร = X + 200 ลิตร

กะทินำมาเติมไขมัน = 30%

ปริมาตร = X

$$X = \underline{200(20-17)}$$

$$(30-20)$$

$$X = 60 \text{ ลิตร}$$

ก.2 การวิเคราะห์ลักษณะจุลภาคของครีอปเลือกด้วยกล้องจุลทรรศน์

วิธีการวัด

1. หยดตัวอย่างกะทิลงบนสไลด์จำนวน 0.1 ml ปิดด้วย cover glass

2. นำแผ่นสไลด์ไปวางบนกล้องจุลทรรศน์เพื่อส่องดูลักษณะจุลภาคของครีอป

เลือก โดยใช้กำลังขยาย 40 เท่า ถ่ายภาพลักษณะของครีอปเลือกด้วยกล้องถ่ายภาพ (Olympus,

C-7070WZ)

ก.3 การวิเคราะห์ขนาดอนุภาค (particle size) โดยใช้เครื่องวัดการกระเจิงแสงเลเซอร์

หลักการ : เป็นการวัดขนาดอนุภาค โดยอาศัยหลักการกระเจิงแสงของลำแสงที่ความยาวคลื่น 750 nm โดยสามารถวัดขนาดของอนุภาคที่มีขนาดเส้นผ่าศูนย์กลางช่วง 0.375-948.2 μm

วิธีการวัด

1. เขย่าตัวอย่างให้เข้ากันด้วย Vortex
2. เจือจางตัวอย่าง โดยสูตรตัวอย่างจำนวน 0.2 ml (ประมาณ 4 หยด) ลงในน้ำกลั่นปริมาณ 20 ml เขย่าให้เข้ากัน
3. ตุ่มตัวอย่างที่เจือจางแล้วจำนวน 0.2 ml ลงใน chamber ใส่ตัวอย่างในเครื่องวัดที่มีน้ำกลั่นบรรจุอยู่ปริมาณ 250 ml จากนั้นเครื่องจะทำการวิเคราะห์และรายงานผลของ particle size ของตัวอย่าง โดยที่ความเข้มข้นของครีอปเลทันน้ำมันในการวิเคราะห์จะมีค่าประมาณร้อยละ 0.001 โดยปริมาตร

ก.4 %creaming index (Onsmaard et al., 2005)

- วิเคราะห์โดยการวัดส่วนสูงของชั้นน้ำและส่วนสูงของน้ำกะทิทึ้งหมด แล้วนำไปคำนวณตามสมการที่ 1 เพื่อตรวจสอบระดับการแยกชั้นครีมที่มีองหนึ่นได้

$$\text{โดยที่ } \% \text{creaming index} = \frac{\text{ความสูงของชั้นน้ำ}}{\text{ความสูงของน้ำกะทิทึ้งหมด}} \times 100 \quad (1)$$

ก.5 %oiling off index

- วิเคราะห์โดยการวัดส่วนสูงของชั้นน้ำมันและส่วนสูงของน้ำกะทิทึ้งหมด แล้วนำไปคำนวณตามสมการที่ 2 เพื่อตรวจสอบระดับการแยกชั้นน้ำมันของกะทิที่มีองหนึ่นได้

$$\text{โดยที่ } \% \text{oiling off index} = \frac{\text{ความสูงของชั้นน้ำมัน}}{\text{ความสูงของน้ำกะทิทึ้งหมด}} \times 100 \quad (2)$$

ก.6 การวิเคราะห์ความหนืดโดยใช้เครื่อง Brookfield model LVDV-I+

วิธีการวัด

ตวงกะทิปริมาตร 600 ml นำไปวัดความหนืดด้วยเครื่อง Brookfield โดยใช้หัวเข็มเบอร์ 1 ตั้งความเร็วรอบไว้ที่ 2.5 rpm อ่านค่าความหนืดที่วัดได้ทุกๆ 10 วินาที เป็นเวลา 1 นาที

ก.7 การวิเคราะห์ความหนาแน่นของวัฏภาคน้ำและน้ำมันโดยใช้ขวดหาความถ่วงจำเพาะ

วิธีการวัด

1. นำตัวอย่างกะทิใส่หลอดทดลอง จากนั้นนำไปให้วิ่งในเครื่อง centrifuge ความเร็วรอบ 1,020 rpm น้ำกะทิจะเกิดการแยกชั้นออกเป็น 2 ส่วน โดยมีส่วนไสอยู่ด้านล่างและส่วนที่เป็นครีมอยู่ด้านบนของหลอดทดลอง

2. ใช้ปีเปตดูดเอาส่วนไสออกมาใส่หลอดทดลอง จากนั้นนำไปให้วิ่งในเครื่อง centrifuge จนกว่าจะได้เฉพาะส่วนไสที่ไม่มีส่วนของครีมเจือปน เก็บตัวอย่างที่ได้ใส่ในขวดเก็บตัวอย่าง

3. ส่วนที่เป็นชั้นครีมน้ำไปเคี่ยวน้ำมันโดยการกวนในกะทะไฟฟ้า จนกระทั่งเกิดการแตกมัน ใช้หลอดหยดดูดเอาส่วนของน้ำมันที่ได้ใส่ในขวดเก็บตัวอย่าง

4. นำเอาส่วนของชั้นน้ำและชั้นน้ำมันที่ได้ไปแข็งในอ่างน้ำเพื่อทำให้ตัวอย่างมีอุณหภูมิเป็น 20 °C ก่อนที่จะนำไปใส่ในขวดหาความถ่วงจำเพาะ

5. ชั่งน้ำหนักขวดหาความถ่วงจำเพาะโดยใช้เครื่องชั่งแบบดิจิตอลศนย์บาน

4 คำแนะนำ

6. ทำการทวนสอบความเที่ยงตรงของขวดหาความถ่วงจำเพาะ โดยบรรจุน้ำกลั่นอุณหภูมิ 20 °C ลงในขวดหาความถ่วงจำเพาะ นำไปชั่งน้ำหนัก คำนวณค่าความหนาแน่นของน้ำกลั่นตามสมการที่ 3

$$\text{ความหนาแน่นของตัวอย่าง} = \frac{\text{น้ำหนักของตัวอย่างที่บรรจุในขวด (g)} - \text{น้ำหนักขวดเปล่า (g)}}{\text{ปริมาตรของขวด (ml)}} \quad (3)$$

โดยที่ขวดหาความถ่วงจำเพาะขนาด 10 ml มีปริมาตรเท่ากับ 0.9981 ml

พบว่าความหนาแน่นของน้ำที่คำนวณได้มีค่าเท่ากับ 0.9982 เมื่อนำไปเทียบกับตารางแสดงค่าความถ่วงจำเพาะของน้ำพบว่ามีค่าเท่ากัน เนื่องจากในกรณีของน้ำค่าความหนาแน่นและค่าความถ่วงจำเพาะคือค่าเดียวกัน

7. เทส่วนของชั้นน้ำหรือน้ำมันในขวดเก็บตัวอย่างที่ผ่านการทำให้เย็นจนมีอุณหภูมิ 20°C ลงในขวดหาความถ่วงจำเพาะ นำໄไปปั๊มน้ำหนัก คำนวณค่าความหนาแน่นของวัตถุภาคน้ำหรือน้ำมันตามสมการที่ 3 และคำนวณค่าความถ่วงจำเพาะของตัวอย่างตามสมการที่ 4

$$\text{ความถ่วงจำเพาะของตัวอย่าง} = \frac{\text{ความหนาแน่นของตัวอย่าง (ที่อุณหภูมิ } 20^{\circ}\text{C})}{\text{ความหนาแน่นของน้ำ (ที่อุณหภูมิ } 20^{\circ}\text{C})} \quad (4)$$

ภาคผนวก ๙

ผลการวิเคราะห์

ข.1.1 การศึกษาการแข็ง-ละลาย

ตารางที่ 8 ค่า %creaming index ของตัวอย่างกะทิที่ผ่านการแข็ง-แข็ง-ละลายที่จำนวนครั้งต่างๆ

ตัวอย่างกะทิ	creaming index ^w (%)					
	แข็ง-	แข็ง-	แข็ง-	แข็ง-	แข็ง-	แข็ง-
	ละลาย	ละลาย	ละลาย	ละลาย	ละลาย	ละลาย
	1 ครั้ง	2 ครั้ง	3 ครั้ง	4 ครั้ง	5 ครั้ง	6 ครั้ง
36%fat	52.38 ± 2.23	53.69 ± 1.30	55.77 ± 3.99	55.77 (กลิ่นเหม็น เปรี้ยว)		
18%fat	62.12 ± 3.16	67.24 (กลิ่นเหม็น เปรี้ยว)				
18%fat	42.14 ผ่านการพาส	45.10 ± 3.79	47.63 ± 3.03	48.76 ± 1.63	48.76 ± 1.67	48.76 ± 1.65
	เจอไรซ์					

หมายเหตุ : ^w เป็นค่าเฉลี่ยที่ได้จากการทดลอง 3 ครั้ง ครั้งละ 2 ช้อน

ข.1.2 การศึกษาเวลาที่ใช้ในการเก็บรักษาตัวอย่างกะทิ

ตารางที่ 9 ค่า %creaming index ของตัวอย่างกะทิที่ผ่านการเก็บรักษาที่เวลาต่างๆ

ตัวอย่าง	creaming index ^w (%)							
	กะทิ	2	4	6	8	10	12	14
		สับดาห์						
36%fat		45.10	45.10	45.98	46.31	48.90	49.19	54.89
		± 3.79	± 4.75	± 5.44	± 5.38	± 5.66	± 3.34	± 3.10
		(กลิ่นดี)	(กลิ่นดี)	(กลิ่นดี)	(กลิ่นดี)	(กลิ่น)	(กลิ่น)	(กลิ่น)
						เหม็น	เหม็น	เหม็น
						(เปรี้ยว)	(เปรี้ยว)	(เปรี้ยว)
18%fat		65.13	65.38	65.38	67.07	67.80	69.49	72.07
		± 2.87	± 5.01	± 2.49	± 3.13	± 5.53	± 4.98	± 4.11
		(กลิ่นดี)	(กลิ่นดี)	(กลิ่นดี)	(กลิ่น)	(กลิ่น)	(กลิ่น)	(กลิ่น)
						เหม็น	เหม็น	เหม็น
						(เปรี้ยว)	(เปรี้ยว)	(เปรี้ยว)
18%fat+		43.25	43.52	45.71	45.71	45.71	45.71	45.71
pasteurized		± 2.16	± 3.58	± 3.87	± 2.44	± 2.83	± 3.15	± 2.24
								± 2.96

หมายเหตุ : ^w เป็นค่าเฉลี่ยที่ได้จากการทดลอง 2 ครั้ง

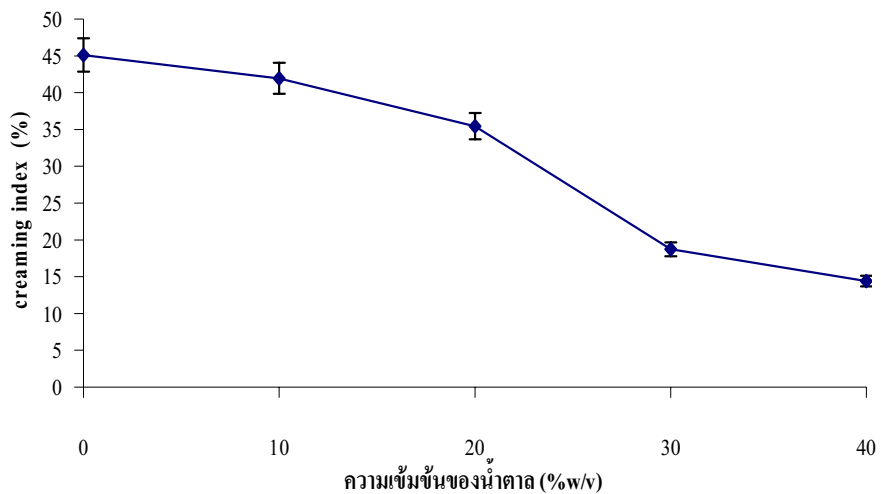
ข.1.3 การศึกษาเวลาที่เหมาะสมที่จะใช้ในการแช่แข็งตัวอย่างกะทิ

ตารางที่ 10 ค่า %creaming index ของตัวอย่างกะทิที่ผ่านการแช่แข็งที่เวลาต่างๆ

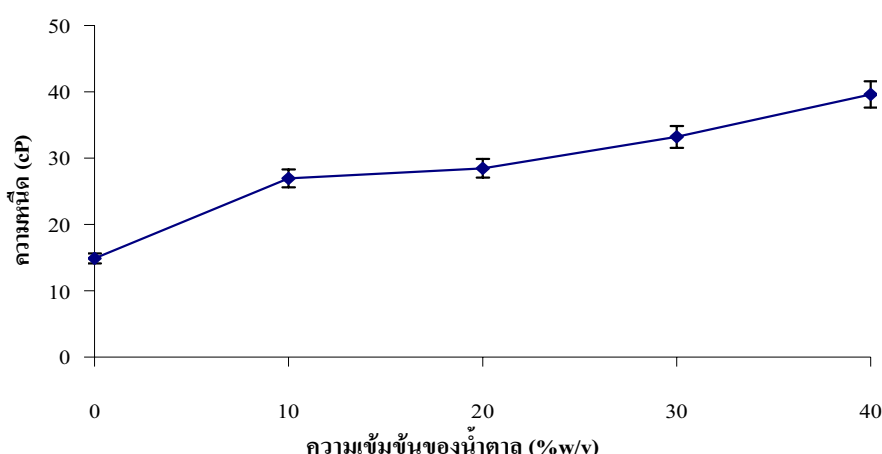
ตัวอย่าง	creaming index ^w (%)						
	กะทิ	แม่เบี้ยง	แม่เบี้ยง	แม่เบี้ยง	แม่เบี้ยง	แม่เบี้ยง	แม่เบี้ยง
		21	45	69	93	117	141
		ชั่วโมง	ชั่วโมง	ชั่วโมง	ชั่วโมง	ชั่วโมง	ชั่วโมง
18%fat		57.89	61.40	64.04	68.82	71.05	71.44
		± 3.62	± 2.77	± 2.53	± 1.04	± 2.27	± 3.02
		(กลิ่นดี)	(กลิ่นดี)	(กลิ่น)	(กลิ่น)	(กลิ่น)	(กลิ่น)
						เหม็น	เหม็น
						(เปรี้ยว)	(เปรี้ยว)
18%fat		42.98	44.74	44.73	44.74	44.74	44.74
ผ่านการพาสเจอร์ไซด์		± 2.22	± 3.11	± 2.02	± 1.56	± 2.31	± 2.40
							± 1.48

หมายเหตุ : ^w เป็นค่าเฉลี่ยที่ได้จากการทดลอง 3 ครั้ง ครั้งละ 2 ชั่วโมง

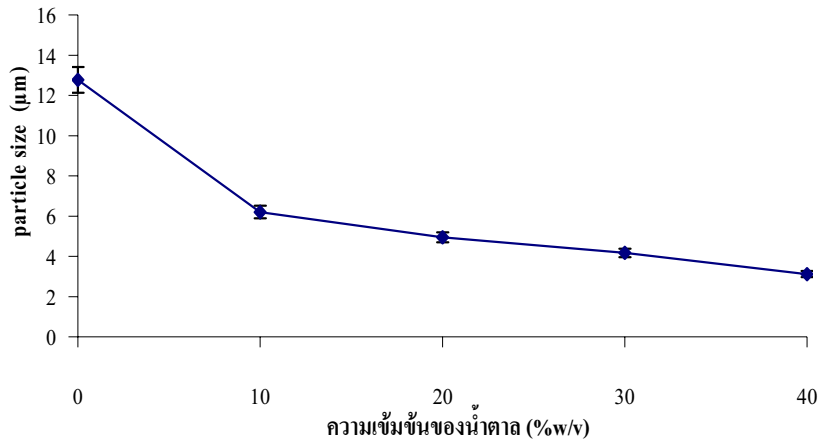
ข.2 การศึกษาความเข้มข้นของน้ำตาลชูโครสที่มีผลต่อความคงตัวต่อการแช่แข็ง-ละลายของกะทิ



ภาพที่ 38 ค่า %creaming index ของตัวอย่างกะทิที่ผ่านการเติมน้ำตาลชูโครสที่ระดับความเข้มข้นต่างๆ

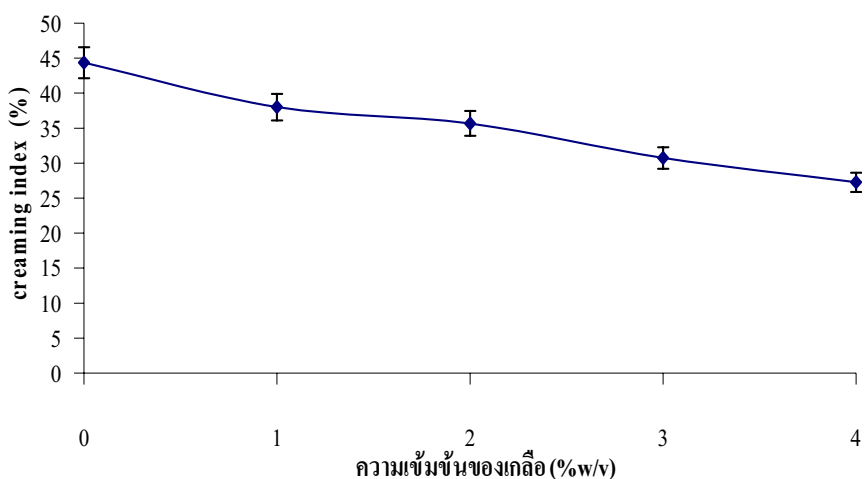


ภาพที่ 39 ค่าความหนืดเฉลี่ยของตัวอย่างกะทิที่ผ่านการเติมน้ำตาลชูโครสที่ระดับความเข้มข้นต่างๆ

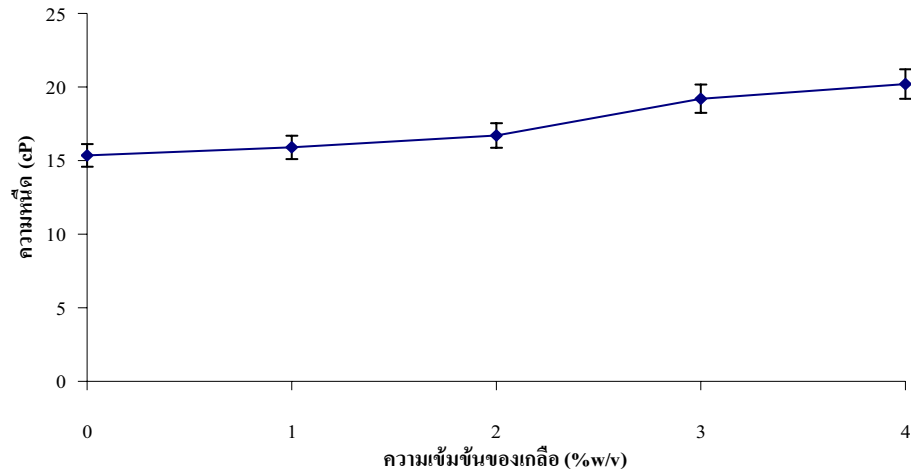


ภาพที่ 40 ขนาดอนุภาคเฉลี่ยของตัวอย่างกะทิที่ผ่านการเติมน้ำตาลชูไครส์ที่ระดับความเข้มข้นต่างๆ

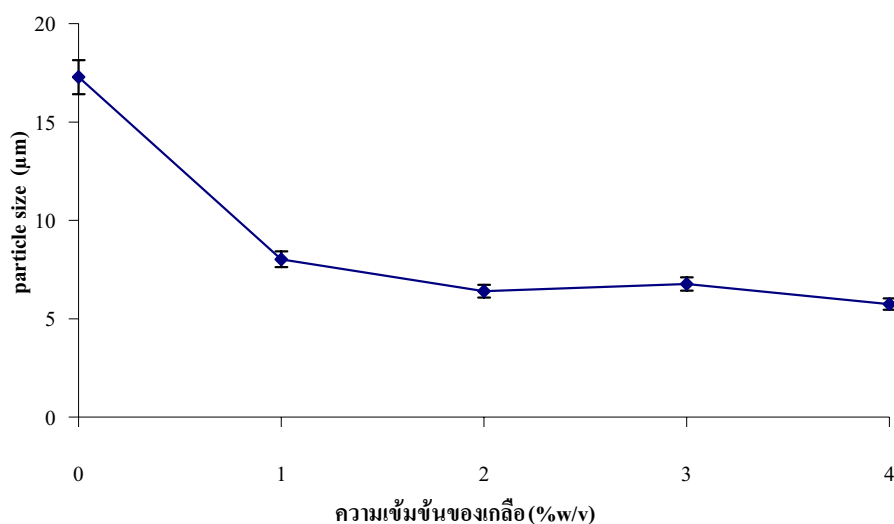
ข.3 การศึกษาความเข้มข้นของโซเดียมคลอไรด์ที่มีผลต่อความคงตัวต่อการแข็งแข็ง-ละลายของกะทิ



ภาพที่ 41 ค่า %creaming index ของตัวอย่างกะทิที่ผ่านการเติมเกลือโซเดียมคลอไรด์ที่ระดับความเข้มข้นต่างๆ

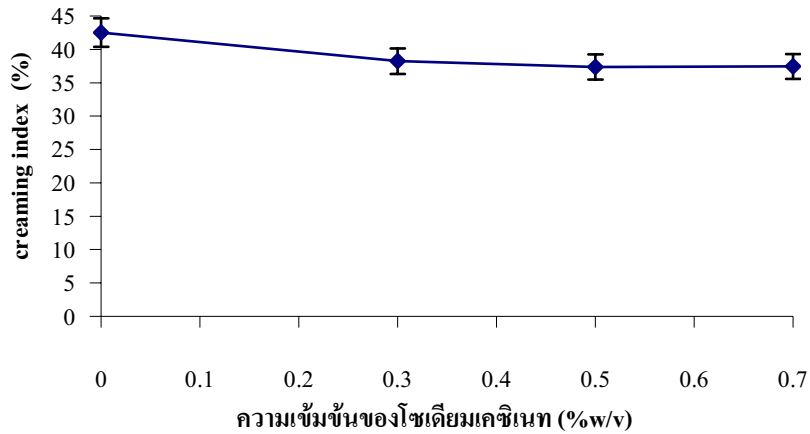


ภาพที่ 42 ค่าความหนืดเฉลี่ยของตัวอย่างกะทิที่ผ่านการเติมเกลือโซเดียมคลอไรด์ที่ระดับความเข้มข้นต่างๆ

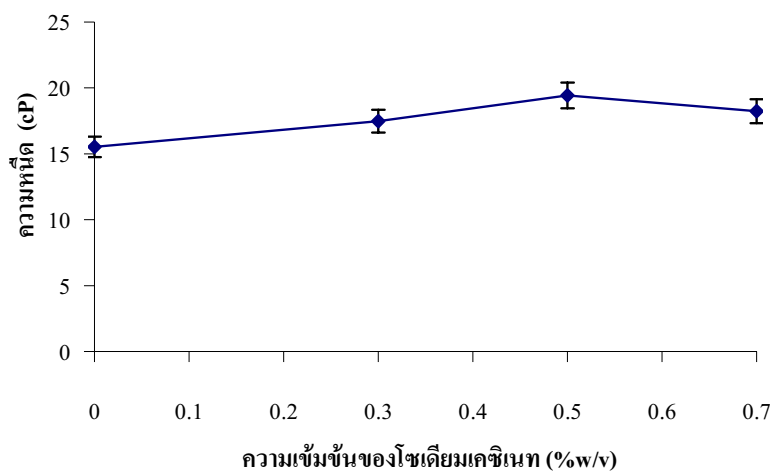


ภาพที่ 43 ขนาดอนุภาคเฉลี่ยของตัวอย่างกะทิที่ผ่านการเติมเกลือโซเดียมคลอไรด์ที่ระดับความเข้มข้นต่างๆ

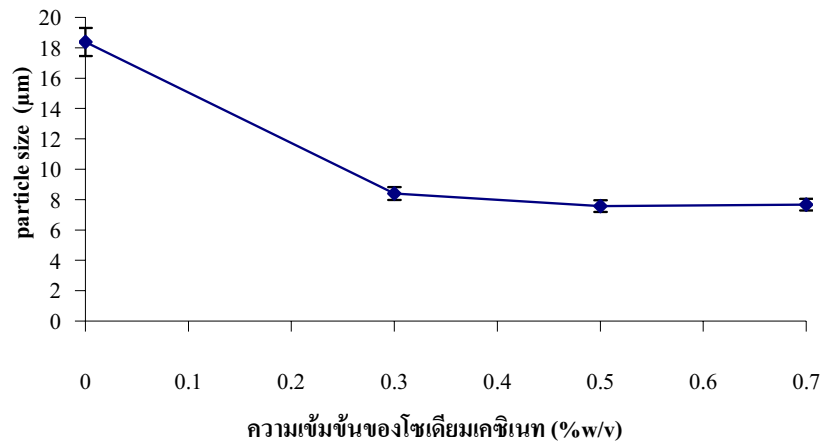
ข.4.1 การศึกษาความเข้มข้นของโซเดียม凯ซิเนทที่มีผลต่อความคงตัวต่อการแข็งเหลว-ละลายของ กะทิ



ภาพที่ 44 ค่า %creaming index ของตัวอย่างกะทิที่ผ่านการเติมโซเดียม凯ซิเนทที่ระดับความเข้มข้นต่างๆ

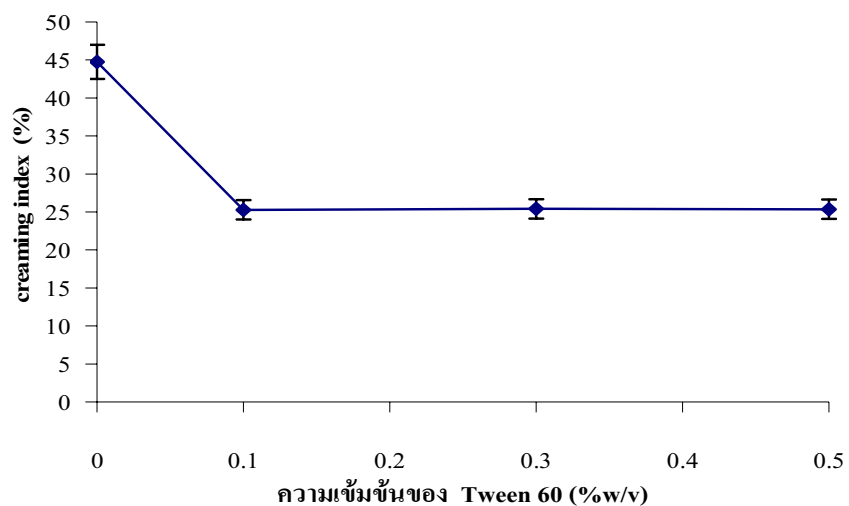


ภาพที่ 45 ค่าความหนืดเฉลี่ยของตัวอย่างกะทิที่ผ่านการเติมโซเดียม凯ซิเนทที่ระดับความเข้มข้นต่างๆ

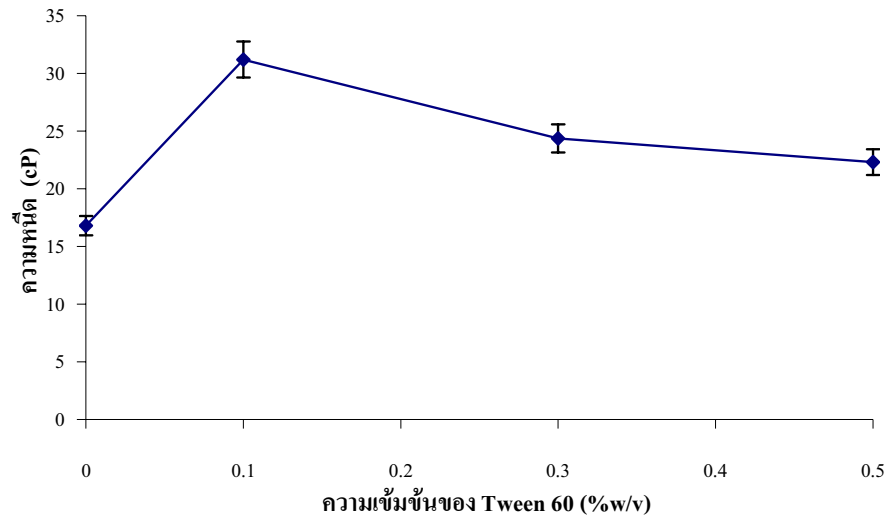


ภาพที่ 46 ขนาดอนุภาคเฉลี่ยของตัวอย่างกะทิที่ผ่านการเติมโซเดียมแคลเซียมที่ระดับความเข้มข้นต่างๆ

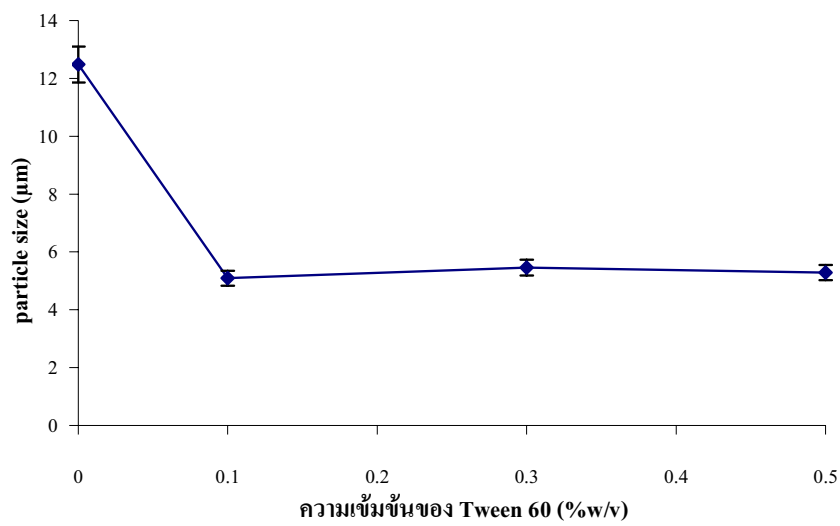
ข.4.2 การศึกษาความเข้มข้นของ Tween 60 ที่มีผลต่อกำลังคงตัวต่อการแยก-ละลายของกะทิ



ภาพที่ 47 ค่า %creaming index ของตัวอย่างกะทิที่ผ่านการเติม Tween 60 ที่ระดับความเข้มข้นต่างๆ

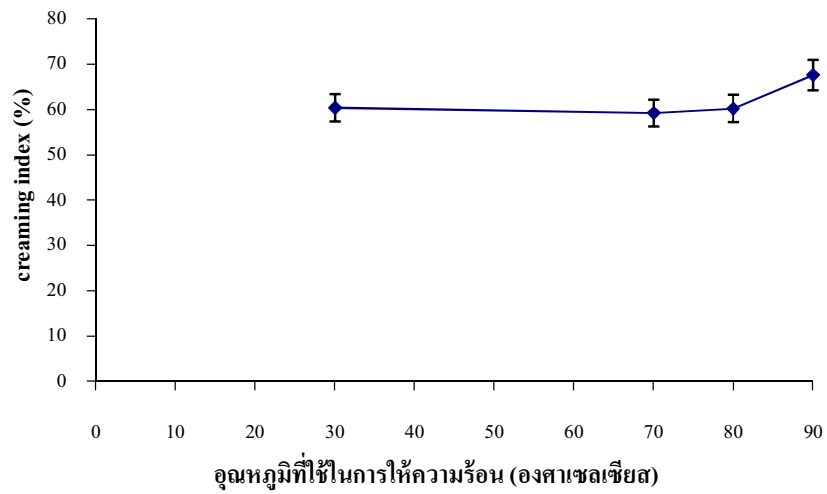


ภาพที่ 48 ค่าความหนืดเฉลี่ยของตัวอย่างกะทิที่ผ่านการเติม Tween 60 ที่ระดับความเข้มข้นต่างๆ

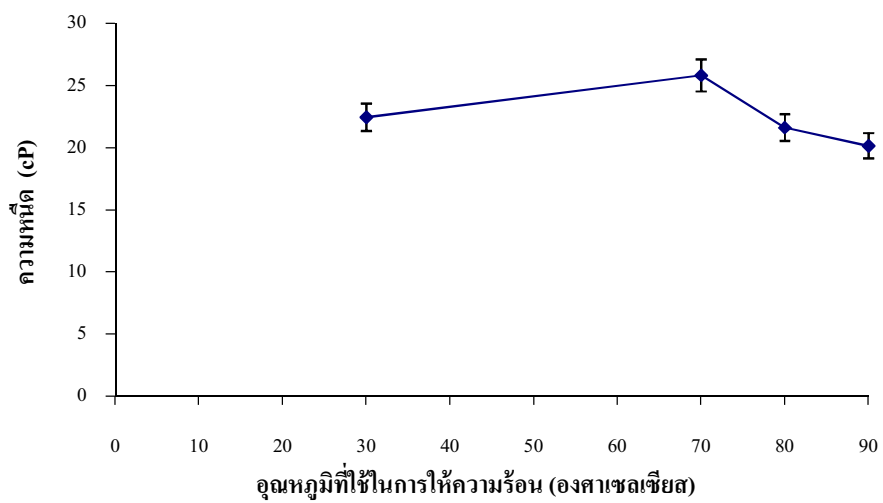


ภาพที่ 49 ขนาดอนุภาคเฉลี่ยของตัวอย่างกะทิที่ผ่านการเติม Tween 60 ที่ระดับความเข้มข้นต่างๆ

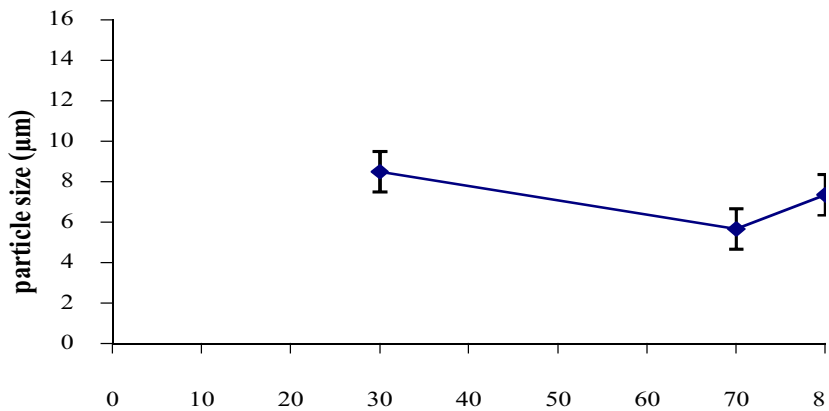
ข.5 การศึกษาผลของการให้ความร้อนเบื้องต้นที่มีผลต่อความคงตัวต่อการแข็ง-ละลายของกะทิ



ภาพที่ 50 ค่า %creaming index ของตัวอย่างกะทิที่ผ่านการให้ความร้อนที่อุณหภูมิต่างๆ



ภาพที่ 51 ค่าความหนืดเฉลี่ยของตัวอย่างกะทิที่ผ่านการให้ความร้อนที่อุณหภูมิต่างๆ



ภาพที่ 52 ขนาดอนุภาคเฉลี่ยของตัวอย่างกระทิกที่ผ่านการให้ความร้อนที่อุณหภูมิต่างๆ

ภาคผนวก ค

การทดลองการเติมเกลือลงในตัวอย่างกระถินที่ผ่านและไม่ผ่านการให้ความร้อน
ในระดับพาสเจอไรซ์

การทดลองการเติมเกลือลงในตัวอย่างกะทิที่ผ่านและไม่ผ่านการให้ความร้อนในระดับพาสเจอไรซ์

วิธีการทดลอง

1. เตรียมตัวอย่างกะทิไข่มัน 18%v/v จำนวน 2 ตัวอย่าง โดยตัวอย่างที่ 1 เป็นกะทิที่ไม่ผ่านการให้ความร้อนระดับพาสเจอไรซ์ (อุณหภูมิ 74°C) ส่วนตัวอย่างที่ 2 เป็นกะทิที่ผ่านการให้ความร้อนระดับพาสเจอไรซ์ในหม้อต้ม ไอน้ำสองชั้นที่อุณหภูมิ 74°C เป็นเวลา 15 วินาที

2. นำตัวอย่างทั้ง 2 ไปผ่านการโซโนจีโนซ์ด้วยเครื่องโซโนจีโนเซอร์แบบ

2 ขั้นตอนที่ความดัน 1500/500 psi

3. เติมเกลือโซเดียมคลอไรด์ความเข้มข้น 4%w/v ลงในตัวอย่างกะทิทั้ง

2 ตัวอย่าง

4. บรรจุตัวอย่างกะทิที่ได้ใส่ขวดพลาสติกขนาด 70 ml ตัวอย่างละ 2 ขวด โดยปริมาตรที่บรรจุในแต่ละขวดคือ 60 ml จากนั้นนำไปทำให้เย็นจนกระทั้งตัวอย่างกะทิมีอุณหภูมิ 20°C

5. นำตัวอย่างกะทิทั้งหมดใส่ช่องแช่แข็งในตู้เย็น(อุณหภูมิ -18°C) ทิ้งไว้ 45 ชั่วโมง นำมาระบายในอ่างน้ำ (อุณหภูมิ 40°C) เป็นเวลา 3 ชั่วโมง วัดค่า %creaming index, %oiling off index

ผลการทดลอง

จากผลที่ได้ในตารางที่ 11 และภาพที่ 53 พบว่าการเติมเกลือลงในตัวอย่างกะทิที่ไม่ผ่านการให้ความร้อนจะทำให้กะทิมีค่า %creaming index สูงกว่าและเกิดการแยกของชั้นน้ำมันที่สามารถมองเห็นได้ด้วยตาเปล่า ในขณะที่การเติมเกลือลงในตัวอย่างกะทิที่ผ่านการให้ความร้อนจะทำให้กะทิมีความคงตัวต่อการแช่แข็ง-ละลายมากกว่า และไม่พบการแยกของชั้นน้ำมันที่สามารถสังเกตเห็นได้ด้วยตาเปล่า

เมื่อพิจารณาในด้านสี กลิ่น และรสชาติของกะทิ จะพบว่าสีของตัวอย่างทั้งสองจะมีสีโภคแล้วกับกะทิสด มีรสเค็ม กะทิที่ไม่ผ่านการให้ความร้อนจะมีกลิ่นพื้น ในขณะที่กะทิที่ผ่านการให้ความร้อนจะยังคงมีกลิ่นของกะทิสดอยู่

ตารางที่ 11 ค่า %creaming index และ %oiling off index ของตัวอย่างกะทิหลังผ่านการแช่แข็ง-

คละลาย	creaming index (%)	oiling off index (%)
ตัวอย่างกะทิไขมัน 18%v/v ผ่านการให้ความร้อนระดับพาสเจอไรช์ก่อน เติมเกลือความเข้มข้น 4%w/v	32.03	0.00
ไม่ผ่านการให้ความร้อนระดับพาสเจอไรช์ ก่อนเติมเกลือความเข้มข้น 4%w/v	67.35	14.29



ภาพที่ 53 ตัวอย่างกะทิหลังผ่านการแช่แข็ง-คละลาย (ก) เติมเกลือลงในตัวอย่างกะทิที่ไม่ผ่านการให้ความร้อนระดับพาสเจอไรช์ (บ) เติมเกลือลงในตัวอย่างกะทิที่ผ่านการให้ความร้อนระดับพาสเจอไรช์

ประวัติผู้วิจัย

ชื่อ-สกุล
ที่อยู่
ที่ทำงาน

นางสาวกิตติมา ชาวรดิกุล
53/250 ถ. บางบอน 3 ตำบลบางบอน อำเภอบางบอน
จังหวัดกรุงเทพมหานคร
บริษัทเทพดุงพรமะพร้าว จำกัด 58-59 ถ.พุทธมณฑลสาย 4
ตำบลกระทุ่มศรี อำเภอสามพราน จังหวัดนนทบุรี

ประวัติการศึกษา

พ.ศ. 2545 สำเร็จการศึกษาปริญญาวิทยาศาสตรบัณฑิต สาขาวิทยาศาสตร์และเทคโนโลยีการอาหาร ภาควิชาจุลชีววิทยา จากมหาวิทยาลัยเทคโนโลยีพระจอมเกล้าธนบุรี กรุงเทพมหานคร

พ.ศ. 2551 ศึกษาต่อระดับปริญญาโท สาขาเคมี มหาวิทยาลัยเทคโนโลยีอาหาร คณะวิศวกรรมศาสตร์และเทคโนโลยีอุตสาหกรรม มหาวิทยาลัยศิลปากร

ประวัติการทำงาน

พ.ศ. 2545-ปัจจุบัน หัวหน้าแผนกประกันคุณภาพ บริษัทเทพดุงพรமะพร้าว จำกัด
จังหวัดนนทบุรี